



**HAL**  
open science

## Contribution à l'étude du Nummulitique entre Rouaine et le Dôme de Barrot (feuilles au 1/20000e, Entrevaux n° 7-8)

Simone Jardine

► **To cite this version:**

Simone Jardine. Contribution à l'étude du Nummulitique entre Rouaine et le Dôme de Barrot (feuilles au 1/20000e, Entrevaux n° 7-8). Stratigraphie. 1957. dumas-00986522

**HAL Id: dumas-00986522**

**<https://dumas.ccsd.cnrs.fr/dumas-00986522>**

Submitted on 2 May 2014

**HAL** is a multi-disciplinary open access archive for the deposit and dissemination of scientific research documents, whether they are published or not. The documents may come from teaching and research institutions in France or abroad, or from public or private research centers.

L'archive ouverte pluridisciplinaire **HAL**, est destinée au dépôt et à la diffusion de documents scientifiques de niveau recherche, publiés ou non, émanant des établissements d'enseignement et de recherche français ou étrangers, des laboratoires publics ou privés.

Diplôme d'Etudes Supérieures

CONTRIBUTION A L'ETUDE DU NUMMULITIQUE ENTRE ROUAINE ET LE DOME DE BARROT

( Feuilles au 1/20.000ème ENTREVAUX n°7-8 )



S. JARDINE, Promotion 1956 - 1957

Je tiens à exprimer ma profonde reconnaissance à Madame SURLER  
qui a inspiré et dirigé ce travail.

Je remercie Mademoiselle LAPTE, Messieurs de JEKOWSKI et  
VAUCOURTEAU qui ont bien voulu se charger des études de palynologie.

**CONTRIBUTION A L'ETUDE DU NUMMULITIQUE DE ROUAINNE AU DOME DE BARROT**



S. JARDINÉ

E.N.S.P.M. - 1957

TABLE DES MATIÈRES.

---

Chapitre I	GENERALITES .....	p- 1
Chapitre II	HISTORIQUE .....	p- 4
Chapitre III	Je tiens à exprimer ma profonde reconnaissance à Madame GUBLER qui a inspiré et dirigé ce travail. ....	p- 7 p- 11
Chapitre IV	Je remercie Mademoiselle LAUTZ, Messieurs de JECKOWSKI et TAUGOURDEAU qui ont bien voulu se charger des études de palynologie. Calamitales .....	p- 22 p- 25
Chapitre V	TECHNIQUE .....	p- 26
	1 - Mme Cottancé B. ....	p- 26
	2 - Mme Mammittigé W. ....	p- 29
	3 - Les Accidents .....	p- 37
CONCLUSION .....		p- 41



TABLE DES MATIERES

LOCALISATION GEOGRAPHIQUE

Chapitre I GENERALITES ..... p. 1

Chapitre II HISTORIQUE ..... p. 4

Chapitre III STRATIGRAPHIE ..... p. 5

Jurassique Crétacé ..... p. 5

Tertiaire ..... p. 11

Chapitre IV LE GRES D'ANNOT ..... p. 18

Coupe du Grès de Sauzeries ..... p. 20

Calcimétries ..... p. 22

Microplanctontes ..... p. 23

Chapitre V TECTONIQUE ..... p. 26

1 - Zone Crétacée S. .... p. 26

2 - Zone Nummulitique N. .... p. 29

3 - Les Accidents ..... p. 37

MET DU TRAVAIL - METHODES

CONCLUSION ..... p. 41

stratigraphie détaillée du Crétacé et du Tertiaire bas-alpins dans les synclinaux voisins :

Barres par	BOURLEPOUX, 1956
Argens	HARTE, 1955
Allons	Ph. RAGNIER, 1956
Allons-Joncas	J. CASSELLAIN, 1956
Payresq	J.P. CHAVARD, 1957

Sur problèmes de la paléogéographie du Nummulitique s'ajoute, à Annot, le problème de la sédimentation des falaises de grès dit oligocènes. Aussi mon travail s'est-il porté sur trois points :

- un lever cartographique au 1/20.000 s'appuyant sur une étude relativement sommaire de la série stratigraphique du Crétacé et plus détaillée de la série tertiaire.
- l'interprétation tectonique de la région
- l'étude plus particulière du grès d'Annot.

GENERALITESLOCALISATION GEOGRAPHIQUE

Annot, Rouaine et Entrevaux, bourgades limites de la région sur laquelle a porté l'étude exposée ci-dessous, sont situées dans le département des Basses-Alpes. Elles sont bâties sur les hautes vallées du Var et de ses affluents, Coulomp, Vaire, rivières qui descendent des hautes cimes de la Cayolle et du Grand Coyer du Nord.

L'unité hydrographique du Var est séparée du réseau du Verdon par les montagnes d'Allons et de la Colle St.Michel.

La région d'Annot est une zone de moyenne montagne où la douceur du climat méditerranéen s'ajoute à la pureté de l'atmosphère montagnarde. Les masses de grès, prodigieux réservoir d'eau contribuent à donner un cachet particulier et à en faire une enclave de verdure dans les paysages arides des Basses-Alpes.

BUT DU TRAVAIL - METHODES

Plusieurs diplômes d'Etudes Supérieures ont permis de jeter les bases d'une stratigraphie détaillée du Crétacé et du Tertiaire bas-alpins dans les synclinaux voisins :

Barrême	par	BONNAFOUX, 1956
Argens	:	RABATÉ, 1955
Allons	:	Ph. MAGNIER, 1956
Allons-Rouaine	:	J. CASTELLAIN, 1956
Peyresq	:	J.F. CHAVAND, 1957

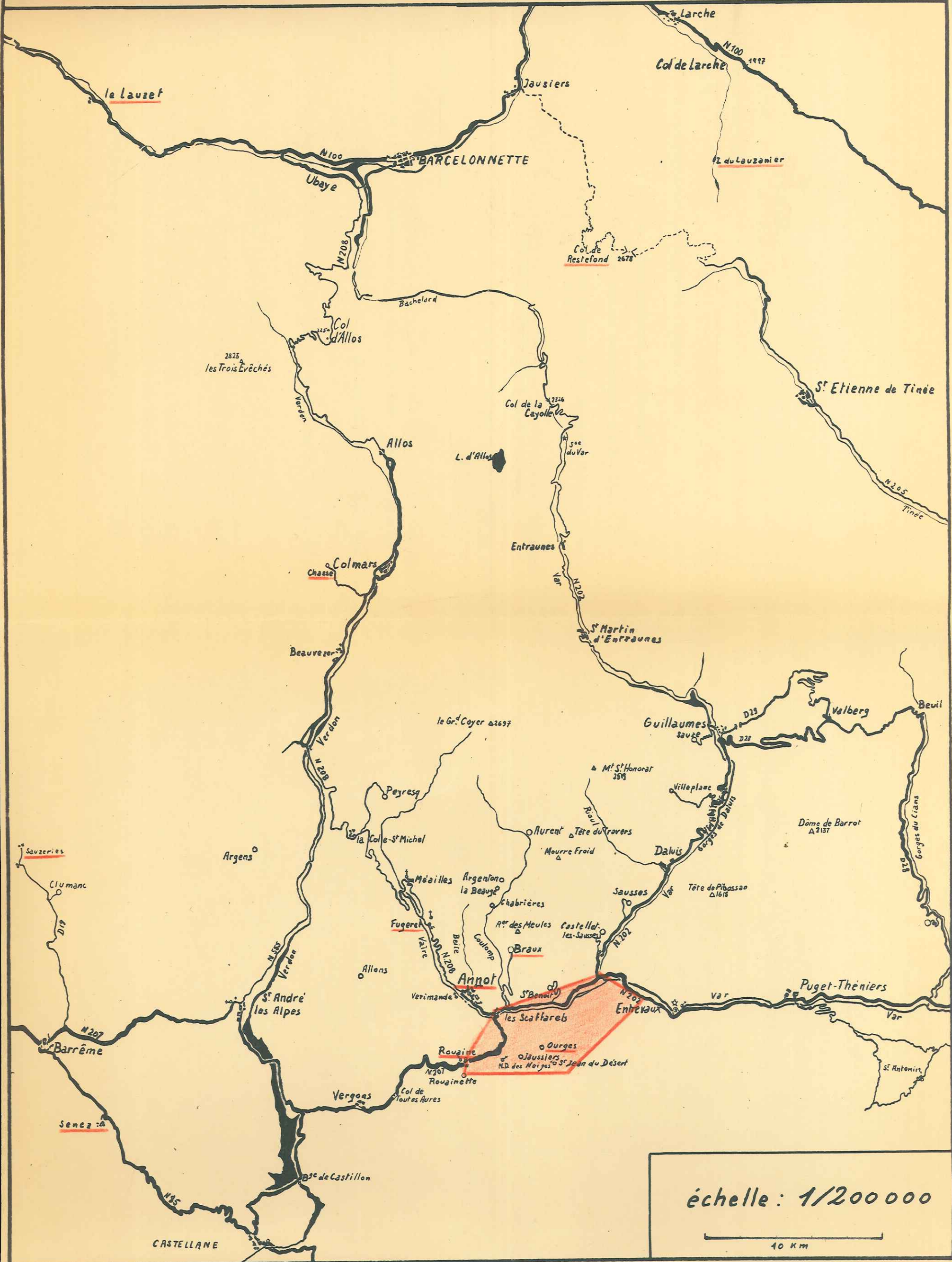
Aux problèmes de la paléogéographie du Nummulitique s'ajoute, à Annot, le problème de la sédimentation des falaises de grès dit oligocène. Aussi mon travail a-t-il porté sur trois points :

- un lever cartographique au 1/20.000 s'appuyant sur une étude relativement sommaire de la série stratigraphique du Crétacé et plus détaillée de la série tertiaire.
- l'interprétation tectonique de la région
- l'étude plus particulière du grès d'Annot.

.... / ....



# LOCALISATION GEOGRAPHIQUE





Cette dernière étude fait partie d'un travail d'ensemble réalisé par plusieurs étudiants chargés de poser un certain nombre de jalons, de mettre en évidence des problèmes-clés et de définir l'orientation de recherches futures.

Ainsi, à un lever de terrain sous-tendu par un échantillonnage, s'est ajouté une étude au laboratoire des éléments crétacés et mummulitiques. De même les échantillons de grès prélevés dans certaines coupes types ont-ils été étudiés sous des angles divers.

### RESULTATS

La présente étude me permet de présenter :

- un lever cartographique au 1/20.000<sup>e</sup>
- une étude du crétacé accompagnée d'une coupe
- une étude comparée des calcaires mummulitiques dans des coupes variées.
- une étude du grès prélevé sur le périmètre et dans des localités différentes des Basses-Alpes.
- une étude de la tectonique résumée par une série de coupes.

### PRESENTATION GEOGRAPHIQUE

Le lever cartographique et l'étude de terrain ont porté sur une bande montagneuse de 11 km. de long, sur 3 km. de large (N-S). Elle est limitée :

- Au Nord par le cours E-W du Var et de ses affluents, le Coulomp puis la Vaire,
- A l'Ouest par le cours de la Galauge (S-N) et de la Bernarde (SN puis EW).
- Au Sud par une zone montagneuse, le Bois des Contents.
- A l'Est par le Var dont le lit W-SE s'étale en une petite plaine alluviale.

Le périmètre est situé sur les feuilles au 1/20.000<sup>e</sup> d'Entrevaux 7 et 8. A ces frontières naturelles correspond une unité géographique bien définie :

- l'orientation des zones montagneuses est toujours W S W - N E E.
- le bassin de réception du réseau hydrographique est constitué par le cours du Var et de ses affluents. Le drainage s'effectue par

...../.....



trois ravins principaux : le ravin de St. Jean (E-W) qui cascade en une gorge taillée dans le Tithonique, puis sépare le haut plateau d'Educh des Crêtes de la Pène et de Notre-Dame des Neiges avant de se jeter dans la Galange au Pont St. Joseph.

le ruisseau de Courleveras (S-N) qui se jette dans le Coulomp à Pont-St. Benoit.

le réseau du Plan d'Entrevaux (W-E) qui mène à la plaine d'épandage du Var par deux ravins, le Chaus-silier et le Champ Long. Tous ces ruisseaux divergent vers l'Ouest, le Nord et l'Est à partir du Coteau de Malherbe.

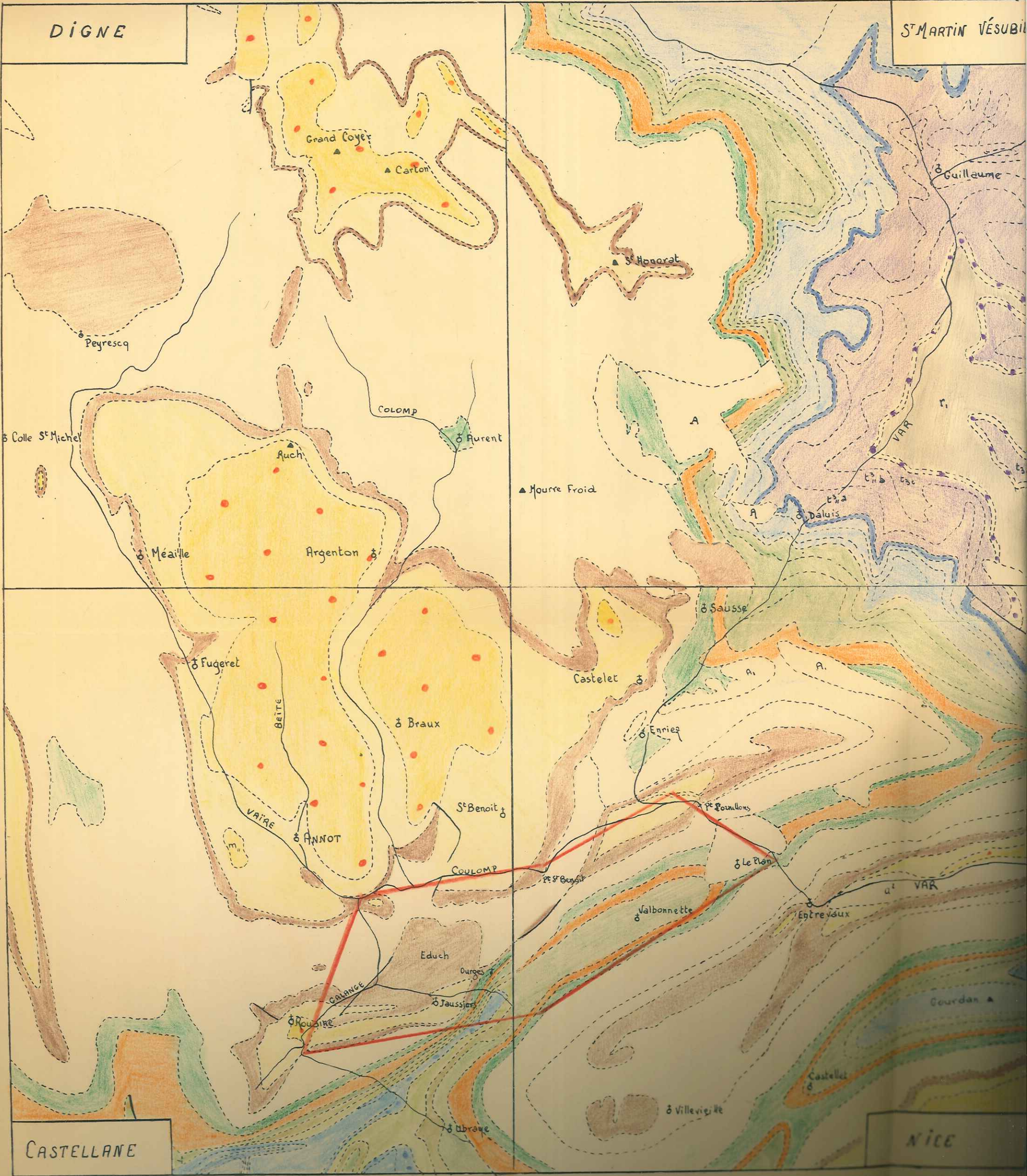
- le contact du munitique calcaire fracturé et du crétacé marneux ou marnocalcaire constitue un plan de sources, de même que les marnes du Crétacé inférieur moyen.
- si les croupes sénoniennes et plus généralement tous les flancs méridionaux sont arides, couverts d'éboulis anguleux de calcaires gélifs, la végétation n'en est pas moins vivace sur l'ensemble du secteur. Un tapis d'herbe rase pousse sur les collines et les vallons où affleure le Crétacé marneux (le Plan d'Entrevaux). Une forêt de chênes végète sur le plateau d'Educh tandis que tous les flancs Nord des montagnes sont couverts de hêtraies extrêmement denses (Forêt de Chantebranne - Bois de la Fubio).
- la vie est rendue difficile par l'aridité du sol; mis à part les bourgs construits sur les cours d'eau, l'habitat reste limité à la région du Plan d'Entrevaux où prospèrent quelques exploitations agricoles. Ailleurs, les hameaux accrochés à la montagne dont les ressources étaient le mouton et la lavande, sont pratiquement abandonnés.

#### APERCU GEOLOGIQUE

Le lever géologique du 1/80.000<sup>e</sup> de la région de Rouaine-Entrevaux est porté sur les feuilles de Castellane et de Nice. Cette région qui s'inscrit dans le bassin tertiaire bas-alpin, fait partie de la couverture sédimentaire méridionale du Dôme de Barrot. Elle est marquée par le brusque passage de l'orientation NS. des axes structuraux à la direction SW-NE. Ce changement de direction des axes est souligné par celui des cours de la Vaire, du Coulomp et du Var.

Les terrains affleurant sont compris dans la série Tithonique - Grès d'Annot. .... / ....





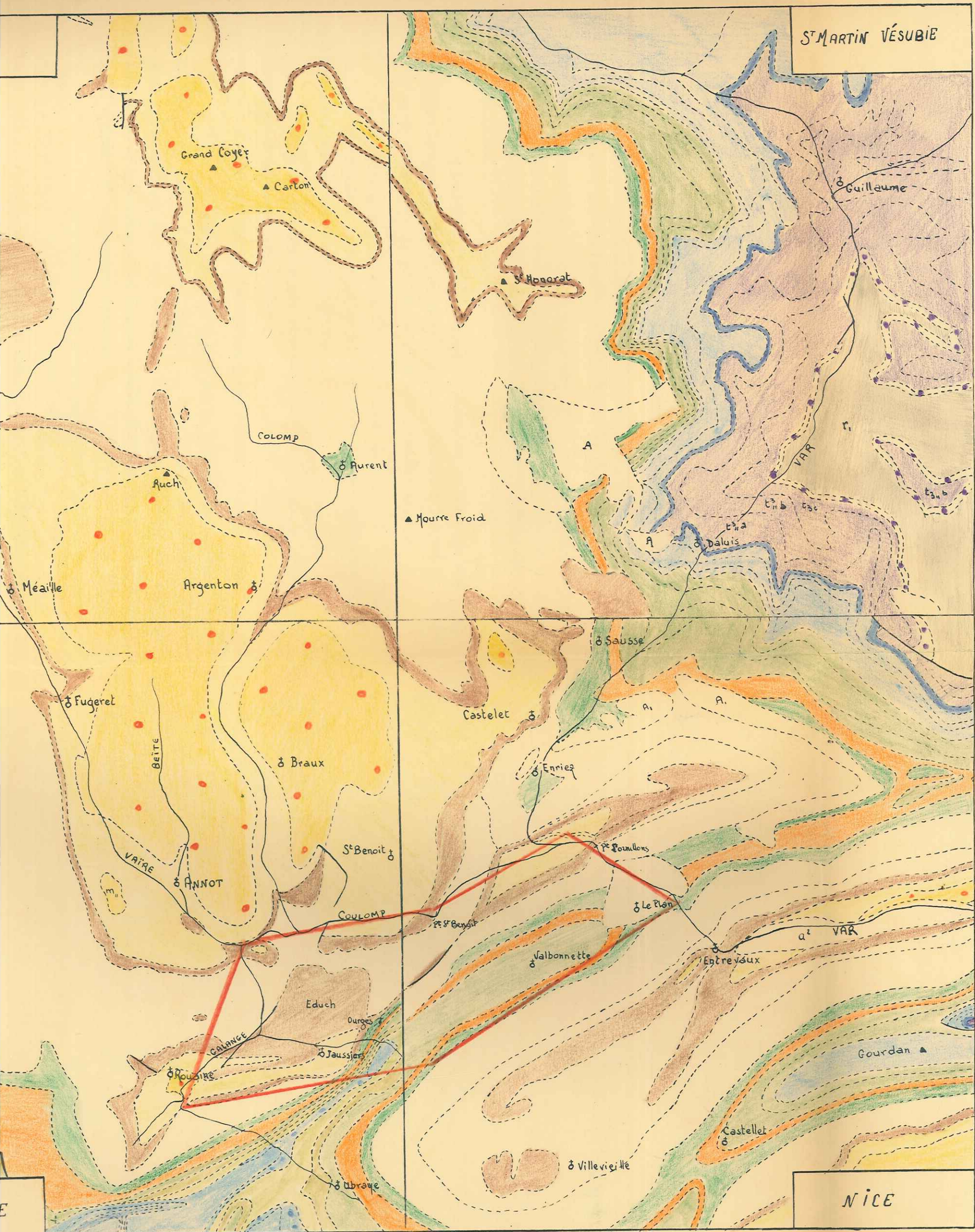
DIGNE

ST MARTIN VÉSUBI

CASTELLANE

NICE





ST MARTIN VÉSUBIE

NICE

- Grès d'Annol
- marnes bleues
- Calc. priabon.
- Turon. Senon.
- Cenomanien
- Marnes noires
- Barremien
- Hauterivien
- Berrias-Yalarg
- Tithonique
- Callovo-oxfordien
- Dogger
- Sinemurien
- Trias
- Permien



CHAPITRE II

HISTORIQUE - BIBLIOGRAPHIE

Les levés au 1/80.000<sup>e</sup> ont été effectués par L. BERTRAND (Nice), et sous la direction de ZURCHER, par J. GOGUEL et A.F. de LAPPARENT (Castellane).

Le Crétacé a été étudié par ces auteurs. En 1956, J. CASTELLAIN (D.E.S.) en a précisé avec bonheur la stratigraphie à l'ouest de Rouaine.

J. BOUSSAC, en 1912, met en évidence la transgression nummulitique. Il décrit deux golfes auversiens, l'un au Nord du Mercantour, l'autre au Sud, atteignant Puget-Théniers et Entrevaux. Le Friabonien transgressif dépasse vers l'Ouest l'Auversien.

A. de LAPPARENT (1938) attribue au Bartonien le calcaire inférieur et au Ludien les marnes bleues, ce jusqu'à Pont-St. Benoit. A l'Ouest de Pont-St. Benoit, le calcaire et les marnes seraient ludiennes (Scaffarels).

Dans une note publiée en 1952, Y. GUBLER, J. SIGAL, J. FLANDRIN datent la série d'Annot dans la coupe type des Scaffarels : - les calcaires inférieurs sont auversien et les marnes ludiennes.

L'âge du grès qui repose en concordance sur les marnes bleues a été déduit des conclusions précédentes :

- Il est latorrien selon BOUSSAC

- MORET (1936) s'appuie sur la présence de Nummulites et Orthophragmines pour en faire de l'Eocène supérieur, âge confirmé par les observations de FRANCHI qui voit dans le grès un équivalent occidental du "Macigno" italien par l'intermédiaire du Flaysch à Helminthoïdes. Cette dernière hypothèse a été infirmée par des travaux récents.

- MAINGUY (1937) ne nie pas ce fait mais admet que d'éocène à l'Est, le grès devient Oligocène à l'Ouest (Annot).

- A. de LAPPARENT attribue enfin au latorrien le grès de Scaffarels. Cette interprétation logique est confirmée par Y. GUBLER, J. SIGAL, J. FLANDRIN.



## BIBLIOGRAPHIE

- L. BERTRAND - 1896 - Etude géologique du Nord des Alpes maritimes.  
Thèse Bull. Carte Géol. Fr., t IX
- L. BERTRAND - - Carte géologique au 1/80.000<sup>e</sup> Nice.
- B. BIJU-DUVAL - 1956 - La Montagne de Gourdan et le Synclinal de Puget-Théniers.  
D.E.S. - Institut Catholique, Paris.
- J. BOUSSAC - 1912 - Etude stratigraphique sur le Mammulitique alpin.  
Bull. Serv. Carte Géol. Fr., vol. 1
- J. GOGUEL - 1936 - Description tectonique de la bordure des Alpes de la Bléone au Var.  
Mem. Cart. Géol. Fr.
- A.F. de LAPPARENT - 1938 - Etude géologique dans la région provençale et alpine  
entre le Var et la Durance.  
Bull. Carte Géol. Fr., N° 198
- MAINGUY - 1937 - Transgression mammulitique à l'W. de Mercantour  
Bull. Soc. Géol. Fr., VII, p. 401
- Y. GUBLER, J. SIGAL & J. FLANDRIN - 1952 - Sur l'âge du grès d'Annot dans sa localité type.  
C.R.S. Acad. Sciences, t 234, p. 1299
- Carte au 1/80.000<sup>e</sup> - Castellane (2ème édition).

CHAPITRE III

STRATIGRAPHIE

L'étude de la série Tithonique-Grès d'Annot a été effectuée dans un esprit différent suivant les étages et les buts poursuivis (voir chapitre I).

I - JURASSIQUE - CRETACE

Les terrains jurassique supérieur - crétacé affleurent dans une bande allongée SW-NE correspondant à un repli anticlinal se poursuivant de Ubraye à Entrevaux.

1. Tithonique

(Gorge de St. Jean :  
x = 952  
y = 191,7

C'est le terme inférieur de toute la série. Seule en affleure la partie terminale formée de gros bancs de calcaires gris clair compacts, fins à Calpionelles (5 à 10 m.). Localement, les derniers bancs contiennent des lits de silex.

2. Néocomien

(Coupe de St. Jean du Désert de  
x = 952      x = 952  
à  
y = 191,4      y = 190,9

a) Berriasien - 20 m. Aux bancs épais du Jurassique succèdent une vingtaine de mètres de calcaires également clairs et compacts en plus petits bancs (50 cm à 1 m.) intercalés de rares délités marneux.

Ammonites

Calpionelles

b) Valanginien - 60 m.

- Marnes et calcaires marneux gris bleus.
- Marnes brunes ou rousses en passées de 1 à 8 m., à fossiles pyriteux intercalés de minces bancs de calcaires marneux à patine rousse ( 10 à 20 cm).

Belemnites

Ammonites.

.....  
  
...../.....



c) Hauterivien - 80 m. Alternance de marnes bleues et de calcaires

marneux gris bleus durs. L'épaisseur des bancs de marnes diminue à mesure qu'on s'élève dans la série; toutefois, l'alternance et l'équilibre des épaisseurs (marnes : 40 cm - calcaires : 35 cm) demeurent.

Nombreuses Ammonites - Néocomites

- Crioceras

Duvalia - Ammonites pyriteuses.

La distinction faite entre Valanginien et Hauterivien est assez arbitraire et répond aux besoins de la cartographie. Je n'ai pas cherché de fossile caractéristique mais placé la base de l'Hauterivien à la petite falaise due à l'apparition des calcaires durs.

3. Barrémien - 40 à 50 cm

- alternance de bancs de calcaires marneux gris et de lits de marnes grises dont l'épaisseur ne dépasse pas 40 cm.

- la série devient de plus en plus calcaire vers le sommet, les interlits disparaissent totalement dans les 15 derniers mètres de la série représentée par des calcaires gris foncés, très fins à nombreuses ammonites déroulées; en plaque mince, c'est un calcaire marneux à radiolaires. Certains bancs contiennent des silex.

- la surface du dernier banc dur est tarodée, brunie en un hard-ground (Oratoire St. Jean).

La limite inférieure est souvent imprécise lorsque l'Hauterivien est très calcaire; on repère toutefois aisément la falaise barrémienne dans la topographie. Les marnes intercalaires, plus réduites, perdent alors leur couleur bleue pour devenir gris foncé.

L'épaisseur du Barrémien est variable. Elle semble se réduire considérablement vers l'Est (Valbonnette).

...../.....



4. Aptien Albien - Cenomanien inf. = Marnes noires (Pl. 1)

Le hard ground marque la fin de la sédimentation calcaire franche et le début d'une sédimentation détritique fine représentée par une série de marnes noires ou bleutées. J'ai utilisé la base des marnes comme limite cartographique entre le Barrémien et l'Aptien. En réalité, l'étude de la microfaune contenue dans un échantillon de marnes inférieures a prouvé qu'elle ne correspond pas tout à fait à la limite chronostratigraphique. La coupe des marnes noires est la suivante :

- 20 m. marnes gris-bleu coupées de passées plus calcaires et plus dures à la base. A Valhonette (x = 954,3 y = 193,2) j'ai trouvé les faunes suivantes dans les marnes intercalaires à 5046 m. au-dessus du hard ground.

5. Cenomanien - Ammonites pyriteuses (Coupe de Chantelaine)

- Belemnites
- Globigerina infracretacea
- Gavelinella barremiana
- Schakofina sp.
- Valvulineria sp. etc...

- 30 m. marnes noires à miches, fossiles pyriteux. Au sommet, elles se chargent de bancs calcaires gréseux et glauconnieux roux, les marnes elles-mêmes gréseuses et glauconnieuses ont fourni une microfaune assez pauvre (Pont Vieux) en individus.

A part des Inoceramus quelques ammonites :

- Thalmaninella sp.
- Globigerina cf. infracretacea
- Globigerina planispira

- 30 m. marnes plus claires.

Monsieur SIGAL qui a déterminé ces deux microfaunes les a datées respectivement :

- barrémien terminal - passage à l'Aptien
- vraconien ou passage Albien - Cénomanién.

Il ressort de ces observations que :

- 1 - la limite stratigraphique barrémien aptien est placée à 5 à 10 m. au-dessus du hard ground.

..../....



2 - la limite albien - cénonanien correspond, au moins à l'endroit où cette coupe a été décrite, à la limite supérieure des passées calcaréogréseuses dont les marnes noires sont coupées.

3 - l'Aptien, s'il existe est extrêmement réduit par rapport à la série des marnes noires : R. JOYS cite une faune de l'Albien moyen dans les marnes noires du deuxième terme (Castellet).

MAGNIER (D.E.S., 1956) n'a pu séparer une microfaune albienne et une microfaune aptienne typiques; je n'ai malheureusement pas échantillonné suffisamment la série marneuse pour y assurer ou infirmer la présence de l'Aptien nécessairement très réduit.

5. Cénonanien sup. calcaire - Turonien (Coupe de Chantebranne)

Les marnes cénonaniennes se chargent peu à peu de passées plus calcaires; sur 20 m., les bancs de calcaires marneux gris foncé à *Inoceramus* croissent en nombre et en épaisseur (5 à 20 cm); après une nouvelle passée marneuse franche, on retrouve une alternance de marnes bleues et de bancs de calcaires marneux de plus en plus importants vers le haut. Sur 15 m., la série est ensuite pratiquement calcaire, puis un banc de calcaire gréseux et glauconnieux roux intercalé dans des calcaires marneux marque le passage à une formation franchement calcaire (coupe du Bois des Contents).

A part des *Inoceramus*, j'ai récolté quelques ammonites :

- Acanthoceras à 30 m. en dessous de la falaise calcaire.
- Parapachydiscus à 20 m " "

La formation calcaréomarneuse intercalée entre les marnes noires et la falaise de calcaires est donc cénonanoturonienne.

6. Sénonien

Nous admettons à priori que la base de la falaise de calcaire à patine blanche, compacts marque le passage du Turonien au Sénonien, suivant en cela l'étude faite par J. CASTELLAIN.

Le type de l'épaisse série sénonienne peut être pris dans la falaise Sud de Chantebranne; les faciès y sont variés, mais généralement assez localisés latéralement.

*ces calcaires  
+ Turonien à Turonien  
et  
Eubourgeois*

.... / ....

a) Sénonien calcaire

- Série de petits bancs de calcaires marneux mouchetés, gris formant falaise. Inoceramus.
- Bancs plus épais de calcaires gris à passées de silex.
- Calcaires gréseux et glauconneux dont les éléments remaniés ont pu être repris à l'Albien.
- Alternance de calcaires et de marnes.
- Calcaires fins à Spongiaires.

Tous les calcaires de cette série sont fins, marneux et contiennent spécules, radiolaires et des foraminifères pélagiques (globotruncana - Globigérines).

b) Sénonien marneux

Un faciès marneux constitue le terme ultime de la série sénonienne. Il fait suite (Pont St. Benoit) aux calcaires à silex et à spongiaires; il comprend 20 à 30 m. de marnes bleutées intercalées de bancs de calcaires très marneux.

- Spongiaires
- Cursins : Echinocorys sp.
- Microfaune : Globotruncana linnei de Lappar  
" marginata  
" coronata Bolli  
" aff. area Cush.  
Globelina sp.

Ces formes indiquent que la série marneuse ne dépasse pas le Santonien (Sénonien moyen), terme ultime des formations crétacées.

La présence de grandes quantités de galets et graviers sénoniens repris par le mammalitique sous forme de conglomérats de base et de calcaire détritique et l'absence d'éléments campaniens et maestrichtiens placent la régression immédiatement après le dépôt de Sénonien moyen.

.....  
...../.....



Régression port-santonienne - transgression nummulitique

Au Sénonien moyen marin succède une série tertiaire marine bien datée, si l'on excepte certaines couches de base. La Campanien et le Maestrichtien sont donc toujours absents.

Dans le cadre du périmètre étudié, la transgression nummulitique s'est faite sur des termes différents du crétacé, prouvant une érosion différenciée, c'est-à-dire la présence de zones basses et de zones hautes érodées, donc de mouvements post-sénoniens et anténummulitiques :

- J. FERRAT a montré (levé cartogr. St. Benoit) que la faille Enriez-Condaminès-Ourges met en contact du sénonien marneux et du sénonien calcaire recouverts uniformément par le calcaire nummulitique.

- la barre nummulitique repose presque toujours en discordance angulaire sur le Crétacé.

- Il semble qu'on puisse d'ailleurs mettre en évidence une zone anticlinale anténummulitique se poursuivant de Daluis à Rouaine. (R. JOYS, D.E.S., 1957) délimite un synclinal et un anticlinal anténummulitique à Sausses. A Pont-St. Benoit, le nummulitique repose sur 20 m. de sénonien marneux. A Comleversas, aux Scaffarels, à l'Est d'Educh, dans les Cluses de Rouaine, sur du sénonien calcaire à Spongiaires; à ND. des Neiges sur du Sénonien (Parapachydiscus).

La structure paraît avoir eu une direction d'allongement SW - NE.

L'absence du Crétacé terminal participe donc certainement de deux causes liées à une surrection anténummulitique proche ou plus lointaine :

- arrêt de sédimentation
- érosion poussée.

La présence de grandes quantités de galets et graviers sénoniens repris par le nummulitique sous forme de conglomérats de base et de calcaire détritique et l'absence d'éléments Campaniens et Maestrichtiens placent la régression immédiatement après le dépôt du Sénonien moyen.

...../.....



II - TERTIAIRE

La série tertiaire comprend trois ensembles :

- 1 - Un terme calcaire formant une falaise précédée ou non d'une série de base.
- 2 - Un terme marneux franc séparé du calcaire inférieur par des calcaires marneux.
- 3 - Un terme détritique grossier équivalent de la formation type du grès d'Annot.

Le tertiaire affleure dans la partie NW du secteur entre Rouaine et le Pont des Cornillons; son étude est rendue malaisée par la violence des mouvements tectoniques et la présence d'accidents importants.

Le contact Crétacé - Tertiaire

Les calcaires mmmulitiques discordants sur le substratum ne reposent généralement pas directement sur le Crétacé; sauf aux Scaffarels, ils en sont séparés par une série détritique.

- 1 - Couches marnogréseuses : (Grand Ravin x = 191,8  
y = 952,6

Au pied de la falaise verticale E du Grand Ravin (ainsi ai-je nommé le ravin S.W. qui naît au pt. 1221 et gagne le Pont-St. Benoit), on trouve un affleurement de marnes grisâtres (coupe planche 2).

De bas en haut :

- Calcaires à Spongiaires sénoniens, verticaux.
- Lit de poudingues (80 cm) à éléments crétacés arrondis peu cimentés.
- 40 cm. de grès friable jaune se débitant en plaquettes. Le litage est mis en évidence par de fines passées ligniteuses-noires.
- Marnes gréseuses bleutées (20 cm) (704).
- Marnes gréseuses grises (1 m.) intercalées de lits de graviers et de petits galets ( N° 705). Elles deviennent plus marneuses et bleutées vers le haut (705).
- Marnes bleues ligniteuses, lumachelliques (1,20 m)(706)

...../.....  
...../.....



Cette passée est extrêmement fossilifère et comporte une riche faune de lamellibranches et de Gasteropodes.

Meretrix villanova Deshayes : Priabonien alpin.

- Falaise de calcaire nummulitique débutant par une alternance de calcarénite et de calcaires marneux. (707).

Des lavages effectués sur les fractions marneuses ont fourni les micro-faunes suivantes :

- Ech. 704 - Globotruncana linnei de Lapparent  
           "          lapparenti Brotzen  
           "          bulloides = Sénonien moyen  
           "          fermicata Plummer
- Operculina sp. = Nummulitique
- Ech. 705 - Cibicides sp.  
           Globotruncana cf. marginata = Sénonien moyen  
           Globorotalites aff. Micheliana d'Orbigny
- Ech. 706 - Notalia sp.  
           Discorbis  
           Quinqueloculina = Faune tertiaire  
           Alabamina en mauvais état
- Ech. 707 - Nombreuses Operculines

Les individus sont toujours très mal conservés et ne permettent pas de parler de remaniement caractérisé. Toutefois, la coexistence de formes typiquement sénoniennes et de formes nummulitiques prouve que les globotruncana, globorotalites ont été repris au substratum crétacé par des formations nummulitiques.

La continuité de la série marneuse de base exclut la possibilité d'une coupure stratigraphique entre le poudingue et les marnes lumachelliques; la série marnogréseuse est donc, ici, nettement séparée du Sénonien et liée à la falaise nummulitique. Les formes d'Operculina mal conservées présentent des analogies certaines avec des espèces reconnues dans la calcarénite nummulitique sus-jacente. Certainement tertiaires, les couches de base semblent de ce fait intimement liées à la transgression nummulitique. La détermination de Meretrix villanova Deshayes (Priabonien) en fait un équivalent des couches à Cerithes des Alpes. Des observations semblables ont été faites par BOUSSAC, en 1912 (couches marneuses ligniteuses à Cerithium diaboli d'Allons), A.F. de LAPPARENT (Félines, 2 km SE de Pont de Gueydan).

.... / ....







- Sénonien calcaire à silex
- un lit mince et discontinu de poudingue à galets perforés.
- plusieurs lits de galets crétacés répartis sur 4 à 5 cm. à la base du calcaire nummulitique.

Le conglomérat disparaît vers le Sud.

Les fossiles, d'une part, les récurrences d'éléments semblables dans la barre nummulitique formée, nous le verrons, d'une calcarénite semblable à son ciment le rattachent au calcaire nummulitique inférieur. Dans le lever au 1/20.000<sup>e</sup>, j'ai admis un figuré spécial pour les passées de galets et le poudingue; en fait, les deux formations sont identiques mais doivent leur cachet particulier à des régimes de sédimentation différents.

Calcaire Nummulitique inférieur

Il forme une falaise rousse d'épaisseur variable.

Dans une zone E.W. le long du Coulomp, il semble qu'elle ne dépasse jamais 30 m. (17 m. à Scaffarels  $\begin{cases} x = 949,5 \\ y = 192,8 \end{cases}$  - 25 m. à Pt-St. Benoit -

25 à 30 m. au Pont des Cornillons  $\begin{cases} x = 955,5 \\ y = 195,5 \end{cases}$ ). Vers le Sud, elle atteint et dépasse 60 m. à Rouaine et à l'Ouest du Plateau d'Educh où l'appréciation est rendue délicate par l'existence de phénomènes de réajustement tectonique.

Coupe de Pont St. Nenoit :

- 1 - Poudingue de base.
- 2 - Micropoudingue dont les éléments anguleux sont semblables à ceux du conglomérat sous-jacent; ciment de calcarénite. Nombreuses nummulites.

Les gravelles qui le composent deviennent plus fines et progressivement apparaît la calcarénite fine typique.

- 3 - Barre de Calcarénite. Massive, fossilifère, dans laquelle LAPPARENT cite :

- N. Striatus Brug.
- A la base      - Asterigerina  
                         Nummulites  
                         débris de Discocyclus  
                         débris de Lithotamniées
- puis                      Fabiania  
                         Lithotamnium  
                         Nombreuses Nummulites  
                         Milliolidae

..../....

- Raréfaction des Mammillites  
Chapmanina

4 - Petits bancs de Calcarénite dans lesquels on note une éclosion de :

- Discocyclines nombreuses
- Grands Mammillites
- Assilines

On n'y trouve pas de Chapmanina.

5 - Petits bancs de calcaires marneux.

Les lithotamniées sont fragmentées; l'origine de ces débris doit être recherchée plus à l'Est; au Pont des Cornillons, dans la barre nummulitique se développe une sorte de récif à polypiers, à Algues filamenteuses et Lithotamniées. Malgré l'effilochage de la barre nummulitique, on suit cette formation le long de la Forêt de Chantebranne jusque dans les barres de Comleversas. Le calcaire fin, blanc provient de la diagénèse d'une boue calcaire déposée en eau calme; la faune est récifale (Lamellibranche - Milliolidae ..).

Au contraire, la fragmentation des algues, l'abondance des gravelles roulées à tous les niveaux de la barre indique une zone d'eau agitée vers l'Ouest.

J. BOUSSAC a décrit la coupe du Pont des Cornillons que j'ai moi-même reprise (planche 2).

- Calcaire compact à Millioles
- Calcaire détritique à Millioles : } (Nummulites Fabiani Pr.  
N. Striatus Brug.)
- Calcaire compact en gros bancs à Lithotamnium et N. Fabiani
- Calcaire bleu à Discocyclines.

Les affleurements sont rares et discontinus; ils ne s'est guère permis d'établir une échelle. Les marneuses blanches, comme aux Saffarats tout en elles ont été étudiées initialement (Y. GUERIN, J. SUDAN, J. FLANDRIN) sont tendres, composées de bancs plus durs, plus calcaires.

Les fossiles sont rares, limités au passage calcaire intermédiaire - marneuses blanches :

- Discocyclines rares
- Asterocyclines
- Operculines
- La faune de l'affleurement blanchâtre.



### Calcaire Nummulitique Intermédiaire

Aux petits bancs de calcarénite succèdent de petits bancs de calcaires marneux et fossilifères :

- Discocyclines
- Lamellibranches
- Dalles à polypiers (décrits par A. VINSON : D.E.S., Paris)

A mesure que l'on gagne des couches plus récentes, les calcaires deviennent desquameux, plus bleutés et marneux. Le passage aux marnes bleues est progressif; le critère de différenciation réside dans le brusque épanouissement des faunes.

Vers Rocherousse, toutefois, la série intermédiaire entre la calcarénite et les marnes s'épaissit et se complique  $\left\{ \begin{array}{l} x = 191,6 \\ y = 948,9 \end{array} \right.$  :

- Calcarénite inférieure
- Calcaire marneux peu consolidé à polypiers. D. Sella
- Petite barre de calcarénite (3 m.)
- 12 m. passées de calcaires marneux à polypiers - lamellibranches.
- Marnes calcaires bleutées.

On y a cité (LAPPARENT - 1938, p. 70). Nummulites Chevannesi de la Haye  
" incrassatus "  
" Fabiani "

### Marnes bleues

Les affleurements sont rares et discontinus; ils ne m'ont guère permis d'établir une échelle. Les marnes bleues, comme aux Scaffarels Annot où elles ont été datées ludiennes (Y. GUBLER, J. SIGAL, J. FLANDRIN) sont tendres, coupées de bancs plus durs, plus calcaires.

Les fossiles sont rares, limités au passage calcaire intermédiaire - marnes bleues :

- Discocyclines rares
- Asterocyclines
- Operculines
- La gen. dae de taille anormalement élevée.



Conclusion

I - L'étude stratigraphique m'a permis de mettre en évidence :

- 1 - la réduction extrême de l'Aptien mal individualisé de l'Albien
- 2 - la présence de fossiles turoniens dans les formations marno-calcaires attribuées au Cénomanién.
- 3 - la variété des faciès du Sénonien calcaire, en particulier, la présence de bancs gréseux-glaucconieux - et l'âge de la limite supérieure du Sénonien marneux = Santonien.
- 4 - la présence d'un affleurement très limité de couches marno-gréseuses à cerithes tertiaires et la localisation du poudingue de base mammulitique.

II - Limites cartographiques utilisées

- 1 - Tithonique berriaisien jusqu'au toit des calcaires fins.
- 2 - Valanginien - limite inférieure : marnes
- 3 - Hauterivien : limite inférieure : bancs de calc. compacts.
- 4 - Barrémien : base : falaise due à la réduction des marnes intercalaires plus grises.  
Limite supérieure : hard ground du dernier banc de calcaire fin.
- 5 - Aptien-Albien-Cénomanién inférieur = marnes noires
- 6 - Cénomanién-supérieur - Turonien -  
limite inférieure : premiers bancs de calcaires à Inocerames  
limite supérieure : dernière alternance de calcaires marneux et de marnes.
- 7 - Sénonien - limite inférieure : base de la falaise débutant par petits bancs de calcaire à patine blanche.
- 8 - Calcaire intermédiaire :  
base : premiers bancs marneux à lamellibranches polypiers.  
limite supérieure : début des passées franchement marneuses bleues.



CHAPITRE IV

LE GRÈS d'ANNOT

I - LE GRÈS DU SECTEUR ROUAINE-ENTREVAUX

Le terme supérieur de la série stratigraphique subsiste dans quelques affleurements limités dans le secteur Rouaine - Pont de Gueyden :

- coupe type de Rouaine le long de la Bernarde - base  $\left\{ \begin{array}{l} x = 191,4 \\ y = 947,5 \end{array} \right.$
- Sommet  $\left\{ \begin{array}{l} y = 191 \\ x = 947,6 \end{array} \right.$

- un petit affleurement au NE de Ourges ( $y = 192,5 - x = 952$ ), et à un km. au SE, un arrachement sur les marnes bleues du Grand Ravin  $y = 193,3 - x = 952,7$

- falaise de la Cascade de Courleveras -  $y = 194,3 - x = 953,5$

- un petit arrachement sous la falaise munitique qui domine la station de Pont de Gueyden (rive droite du Coulomp)  $y = 195,1 - x = 954$

Ces affleurements sont répartis dans le synclinal faillé Rouaine-Pont de Gueyden; le comportement des grès y est totalement différent du comportement des hautes falaises qui dominent Annot; alors que le grès d'Annot compact, épais s'est faillé en touches de piano ou glissé en masse, le grès dit de Rouaine est étiré, laminé, découpé par l'érosion.

La différence des styles structuraux tient soit à des propriétés mécaniques différentes, soit à des effets tectoniques dissemblables. Nous essayerons de conclure après les exposés stratigraphique et tectonique.

Le Grès de Rouaine. La coupe type a été étudiée par A.F. de LAPPARENT (Thèse 1938, p. 70), CASTELLAIN (1956), N. SADOUM (1957). Je rappellerai seulement que le grès est blanchâtre, peu consolidé; il se présente en bancs de 50 cm à 2 et 3 m. à graviers, galets, en particulier galets de marnes, séparés par des interlits marneux, ligniteux et micacés.

La partie supérieure est formée de grès moyen, friable, entrecoupé de passées lenticulaires de graviers (quartzite - granite - silex) et de marnes. L'érosion le façonne en boules.

...../.....



Grès d'Ourges. A 300 m. au NE d'Ourges, le grès pincé dans un synclinal chevauché, est réduit à une épaisseur de 2 ou 3 m. On distingue un grès blanc à galets (quartzite - granite), et un grès fin, sableux.

Courleveras. La coupe est plus complète quoique le synclinal tertiaire soit faillé sur ses deux flancs. On distingue deux séries nettement différentes; de bas en haut :

- 30 m. grès blanc, fin, friable, parsemé de passées plus dures, de lits de graviers lenticulaires. Erosion en boule.
- 30 m. grès dur, grisâtre formé d'une alternance régulière de lits de marnes micacées et de petits bancs de grès fin, micacé, bien lité à empreintes. Plaque mince : éléments de 0,4 mm à quartz anguleux ou plus ou moins arrondis (extinction roulante - inclusions). Feldspaths, plagioclases altérés, muscovite, biolite, chlorite, gravelles de roches éruptives.

Pont de Gueydan. Affleurement de quelques bancs de grès roux, fin, en plaquettes dont le litage est souligné de passées sombres.

95 % de quartz bien classés, anguleux - micas - plagioclases.

L'aspect du Grès de Rouaine est différent de celui du grès d'Annot; M. SADOUN a déterminé les cortèges de minéraux lourds et remarqué une variation dans leurs proportions seulement : Staurotide - Disthène - Grenat - Chlorite - Rutile - Micas - Zircon - Tourmaline - Apatite.

Mais entre les grès du synclinal de Rouaine - Pont de Gueydan, un certain nombre de faits prouvent une homogénéité :

- l'aspect extérieur rapproche les grès de Rouaine-Ourges-Courleveras (série inférieure)
- N. GOVOROFF (D.E.S., 1957) prouve l'identité absolue des courbes granulométriques cumulatives, sauf celle qui correspond à un échantillon prélevé dans la série supérieure de Courleveras.
- ce fait est confirmé par les résultats des études de minéraux lourds menées par M. SADOUN; les pourcentages du cortège restent constants.
- le grès est toujours un peu calcaire.

..../....



La série de Rouaine pourrait être incomplète, compte tenu de la faible épaisseur de la coupe, l'érosion poussée du grès tendre, le fait que sa conservation soit due surtout au recouvrement d'éboulis (Brèche du Clet Disson). La partie supérieure du grès de Courleveras étant, seule, différente des autres formations du synclinal, il semble logique qu'elle puisse occuper une position stratigraphiquement supérieure à la série de Rouaine. Ce qui permettrait d'avancer l'hypothèse d'une série gréseuse formée de deux termes conservés à Courleveras le terme supérieur étant érodé à Rouaine.

II - CONTRIBUTION A L'ETUDE GENERALE DU "GRES OLIGOCENE"

L'étude générale du grès a été effectuée par une équipe d'étudiants, chacun opérant sur des échantillons prélevés dans des secteurs différents. Dans leurs compte-rendus, plusieurs coupes de terrains sont décrites, ainsi que les résultats d'études de labo obtenus par des techniques différentes :

- Minéraux lourds, par Max SADOUC
- Granulométrie, par N. GOVOROFF
- Foraminifères, par François DOILLON
- Eléments grossiers, par Raymond JOYS
- Phénomènes de Sédimentologie, par Jean FERRAT
- Microplanctones
- Calcinétries, par Serge JARDINÉ

Coupe du Grès de SAUZERIES x = 199,8  
y = 923

Au Nord de Barrême, le grès dit de ville affleure dans le synclinal de Clumanc, le flanc ouest ( Est 10° ) coupé par le ravin de Sauzeris, affluent de la rive droite de l'Asse offre une coupe de la série tertiaire reposant en discordance sur l'Aptien. J'ai échantillonné et décrit le grès compris entre la série de marnes bleues et le conglomérat par lequel débute la mollasse rouge.

1 - Marnes bleues - Sous la falaise de grès, les marnes contiennent une microfaune oligocène abondante :

- bulimina sculptilis Cushman
- bolivina aff. beyrichi Reuss

..../....



2 - Falaise de Grès -

a) - Alternance de marnes et de grès

Les marnes bleues se chargent progressivement de petits lits (5 cm) de grès jaunes fin et micacé; ces plaquettes correspondent à un grès fin, extrêmement calcaire dont le ciment microcristallin emprisonne des quartz anguleux et de petites gravelles de calcaire marneux probablement crétacé.

- microfaune oligocène dans les marnes :

bulimina schischkinshye Samoilova

Uvigerina aff. tenuistriata Reuss

b) - Barre dure

Alternance marnes-grès, les bancs de grès prenant beaucoup plus d'importance (10 à 50 cm); d'ailleurs, il vaudrait mieux parler de calcaire gréseux, le ciment marnocalcaire microcristallin et les gravelles de calcaire prenant une place prépondérante.

Quartz anguleux à extinction roulante - plagioclases frais.

Dans le dernier banc, galets de marnes.

Microfaune oligocène benthique.

L'étude du microplancton a permis d'isoler une flore très pauvre et une faune pélagique de haute mer (voir chapitre suivant).

c) - 3 m. - Alternance de marnes (50 cm) et de calcaire gréseux en plaquettes, micacés et ligniteux.

Quartz anguleux

Gravelles de calcaire marneux

Microgranite

Foraminifères parfois ferruginisés

débris d'algue.

3 - 15 m - Trois barres de grès ligniteux, en plaquettes intercalées de marnes gréseuses à Hystrichosphères et forams.

Globigerina cf. onachitensis

Cibicides sp.

4 - 25 m - Zône plus tendre : Alternance de marnes et de petits bancs de calcaire gréseux semblable au grès décrit plus bas; la taille des éléments

..../....



diminue tandis que la proportion du ciment calcaré marneux croît.

- Bolivina aff. bevrichi Reuss
- Globigerina cf. ouachitensis
- Cassidulina sp.
- Bulimina sculptilis Cushman. Bul. Schis (Samoïb)

5 - 10 m - Barre de grès ou calcaire gréseux fin. Micacé en banc (10 à 50 cm) à ciment calcaire abondant, quartz anguleux à extinction roulante, plagioclases altérés. Surface gaufrée sur un banc.

6 - Zône de marnes légèrement gréseuses à microfaune riche et marquant un certain renouvellement des espèces quoiqu'on retrouve des formes citées plus bas.

- Planulina costata Hautken
- Uvigerina tenuistriata Reuss
- Cassidulina Subglobosa
- Cibicides mexicanus Nuttal
- Cibicides perlucidus Cush.

7 - Poudingue irrégulièrement sédimenté

La barre de grès semble n'être qu'un épisode détritique grossier dans la série marneuse. Le ciment en est toujours calcaire au marnocalcaire; vers le haut de la coupe, il est très abondant et les plaques minces présentent une grande analogie avec les plaques faites dans la calcarénite gréseuse du mummulitique : Gravelle calcaire - petits quartz anguleux, débris d'algues .....

CALCIMÉTRIES - tableau

L'échantillonnage du grès est fragmentaire, aussi les résultats n'ont-ils qu'une valeur relative; liés aux caractères pétrographiques, ils peuvent apporter toutefois une idée sur la sédimentation.

1 - Technique

- sélection des échantillons effervescents par CCH
- traitement de 25 g. de roche broyée par CCH à 50 % à froid
- rinçage, pesée du résidu - les pourcentages en Cog Ca déduits sont portés dans le tableau ci-dessous.

2 - Résultats.

Notons :

- a) - les grands écarts entre les diverses coupes ainsi que les variations au sein d'une même série.
- b) - les grès des coupes situées au SW (Sauzeris-Senez) montrent des proportions élevées en Cog Ca
- les coupes Nord (Restefond - Lauzannier) sont plus pauvres.



# Répartition des pourcentages en $\text{CO}_3\text{Ca}$

base

sommet

<u>SAUZERIE</u>	+ ○ + ○ + ○ + ○ + ○ + ○	934	935	937	939	943	947	951	953	+ grès très consolidé ○ grès fin, classé - présence ou proximité d'intercalations marneuses ou schisteuses						
		25	45	30	15	25	20	15	10							
<u>SENEZ</u>	+ ○ + ○ + ○ + ○ + ○ + ○	957	959	960	961	962	964									
		50	55	55	55	55	60									
<u>ROUAINÉ</u>		901	902	904	905	909	910	911	912	914	915	917	918	919	920	921
		0	10	5	5	10	0	10	25	5	0	10	10	0	15	5
<u>OURGES</u>		717	720	<u>COURLEVERAS</u>				925	926	927	929	<u>Pt DE GUEYDAN</u>		980		
		0	10					5	15	10	15			10		
<u>ST ANTONIN</u>	+ ○ +	524	523	522	521	516	512									
		40	20	0	0	20	15									
<u>FUCERET</u>		869	870	885	872	880										
		0	0	5	5	0										
<u>COULOMP</u>		624	621	620	619	618	617	616	615	614	613	612	610			
		0	5	0	5	15	0	0	5	10	5	0	0			
<u>BRAUX</u>	+ ○ + ○	601	602	603	604	606	607	608								
		15	15	10	10	10	5	15								
<u>LAUZET</u>	+ ○ + ○	842	845	849	853											
		10	10	10	10											
<u>RESTEFOND</u>	+ ○ + ○	814	815	817	818	833	823	827	831							
		5	0	0	0	5	5	0	15							
<u>LAUZANNIER</u>	+ ○ +	301	302	303	304	305	306	307	308	310	312	314	316	317		
		30	0	0	0	0	5	0	0	0	5	0	0	0		



c) - le ciment primaire du grès est toujours calcaire ou calcaréo-marneux. Les variations de la teneur en Cog Ca sont liées :

aux variations de la proportion du ciment

à la granulométrie, les éléments grossier diminuant la part du ciment. En général, les grès grossiers sont peu calcaires; les grès fins sont plus riches en carbonates.

au voisinage d'intercalations marneuses ou schisteuses dans les grès fins; aussi les plus forts pourcentages en Cog Ca se situent-ils dans la zone de transition marnes-grès, à la base du grès.

Exemple : Sauzeries - Grès en plaquettes de Restefond - Schistes calcaires du Lauzanier, du Lauzet. Ainsi s'explique aussi la forte différence constatée entre les coupes du Coulomp et de Braux : à Braux le grès est intercalé de marnes tandis qu'au Coulomp la base est déjà formée de grès massif.

Remarque : L'évolution du pourcentage en Cog Ca n'est pas toujours parallèle à celle de la proportion du ciment constatée en plaque mince; S. DEB a déjà signalé que des grès calcaires ne font pas toujours effervescence. Le lessivage du grès peut être aussi responsable de certaines anomalies.

### Etude sommaire des MICROPLANCTONES

Les marnes intercalées dans le grès sont fréquentes; elles ont permis de déterminer des microfaunes de foraminifères intéressantes. Toutefois, certaines falaises de grès s'étant montrées azoïques, la possibilité de variations latérales ou de biseautages ne peut-être prouvée. La présence de passées marno-ligniteuses nous a poussé à tenter une étude palynologique.

Mademoiselle LANTZ, MM. de JECKOWSKI et TAUGOURDEAU ont eu la gentillesse de traiter 16 échantillons de marnes prélevés à Sauzeries, Colmars (coupe de Chasse) Le Lauzet.

..../....



## 1 - Technique

- broyage du sédiment - on traite 10 g. de roche tamisée ( 1 mm)
- attaque des carbonates et oxydation de la matière organique dans 100<sup>cc</sup> de NO<sub>3</sub>H à 40 % et 150<sup>cc</sup> d'eau.
- oxydation de la matière organique - attaque de la silice et des silicates par 140<sup>cc</sup> d'acide fluorhydrique à 70 %.
- remise en solution des fluorures et silicofluorures par NO<sub>3</sub>H à 40 %.
- tamisage et séparation d'une suspension < 100 μ
- rinçage de la portion fine à la centrifugeuse (pH 5). Mise en suspension dans un mélange de glycérine (70 %), alcool (15 %), eau distillée et traces de phénol.
- décantation - suspension - montage entre lame et lamelle.

Insi sont éliminés : les carbonates, les argiles et la pyrite. Il subsiste le quartz, des minéraux lourds, de la matière charbonneuse et les microplanctontes.

## 2 - Résultats

Les échantillons de Chasse et du Lauzet n'ont fourni ni microflore, ni microfaune.

Par contre, il existe un microplanctonte abondant dans les marnes intercalaires du grès de Sauzeries :

a) - quelques pollens mal conservés (936) de podocarpacées :  
dissaccites - polysaccites (photo I - a).

b) - de rares pérédiniens : Peridinium cf. saleatum  
Lej. Carp. (936 - photo I- c.d.)

c) - riche faune d'Hystrichosphères dans les échantillons 932, 936, 938, 940, représentée par 7 à 8 formes dont la plus caractéristique est  
Hystrichosphaeridium cf. hystrichodinium Defl. (932 - photo II - b - 936 - photo II a)

Hystrichosphaeridium cf. maleoferum White (936 - photo II. c) représenté par quelques individus mal conservés.

Autres formes banales : Hystrichosphaeridium cf. furcatum Ehr.  
Hystr. tubiferum Ehr.

..../....



L'abondance d'Hystrichosphères à processus ramifiés caractéristiques des formes pélagiques est l'indice d'une faune marine planctonique homogène dans tous les échantillons traités. La rareté des pollens indique d'ailleurs une mer franchement ouverte tandis que la présence du genre *Peridium* caractérise une mer chaude.

A Sauzeries, la faible évolution verticale des microplanctontes nécessiterait, pour leur utilisation stratigraphique, une étude fondée sur un échantillonnage serré. La présence de formes nombreuses, sinon très variées permet de penser qu'une étude palynologique fine des grès fournirait d'intéressantes indications sur les variations latérales à l'échelle du bassin tertiaire.

### CONCLUSION

1 - Le lever au 1/20.000<sup>e</sup> m'a permis de placer les affleurements du grès entre Rouaine et Pont de Gueydan; l'étude stratigraphique a montré une parenté absolue entre eux et la possibilité de l'absence d'un terme supérieur dans la série de Rouaine.

2 - Les études de calcimétrie ont prouvé l'abondance ou la rareté d'un ciment calcaire toujours présent et lié à la granulométrie, à la présence de marnes qui explique la plus forte teneur en Coz Ca de la base des coupes du grès et à une certaine répartition paléogéographique.

3 - Les microplanctontes abondantes à Sauzeries ont précisé cette paléogéographie du grès d'origine nettement pélagique; leur présence rend intéressante une étude palynologique plus fine du grès.

4 - Une microfaune de foraminifères abondante prouve indéniablement son âge oligocène à Sauzeries.

#### 1 - Archéozoïque

##### a) - Tithonien-Jurassien

Le Tithonien, cœur anticlinal sur cet affecté de plis et de cassures locales n'affectant pas l'ampleur et la régularité de son mouvement.



CHAPITRE V

TECTONIQUE

Cette région montagneuse reflète une tectonique mouvementée définie par :

1 - le voisinage de deux secteurs distincts :

- une zone Nord où affleurent les terrains munitiques
- une zone Sud où affleurent exclusivement les étages crétaés.

2 - la différence des propriétés mécaniques du Crétacé et du Tertiaire déterminant un style structural particulier à chacun des deux territoires où ils affleurent.

3 - l'orientation SW-NE des axes structuraux (voir carte des structures)

- Anticlinal de Garcière - Valbonnette
- Synclinal de Rouaine-Curges-Pont de Gueydan
- Anticlinal d'Educh.

4 - le passage de trois grands accidents tectoniques SW-NE qui coupent les axes structuraux et décrochent latéralement les divers compartiments qu'ils délimitent.

Aussi exposerons nous tour à tour les lignes structurales de chacune des deux zones citées, en définissant le comportement des failles qui les traversent.

I - TECTONIQUE DES REGIONS CRÉTACEES

La partie supérieure des calcaires tithoniques et la série du crétacé affleurent à la faveur d'une remontée anticlinale d'orientation SW-NE; l'axe de cette structure qui s'étend de Ubraye au Plan d'Entrevaux correspond grossièrement à une ligne joignant le Côteau de Garcière à Valbonnette et Roussine.

1 - Morphotectonique

a) - Tithonique-Berriasien

Le Tithonique, coeur anticlinal dur est affecté de plis et de cassures locaux n'affectant pas l'ampleur et la régularité de son mouvement.

....//....



b) - Néocomien

Formé d'une alternance de marnes et de calcaires marneux, il est plastique et joue le rôle de tampon entre le Jurassique supérieur et le Barrémien.

c) - Barrémien

Il forme une barre dure qui semble flotter sur le complexe marneux Valanginien-Hauterivien. Aux plis simples à grand rayon du Tithonique, le Néocomien répond par des plissements plus souples, tandis que le Barrémien est affecté de multiples plissements fantaisistes et disharmoniques. On note parfois cinq replis locaux sur 10 mètres (oratoire St. Joseph); le Barrémien est rarement faillé.

d) - Aptien - Albion - Cénomaniien

Les biseautages stratigraphiques expliquent dans une certaine mesure les variations d'épaisseur des marnes noires; les arguments structuraux sont beaucoup plus éloquents et montrent le rôle de tampon qu'elles jouent entre le Barrémien et l'épaisse falaise sénonienne. Très plastiques, tantôt elles sont comprimées (Ourges-la Colle), tantôt elles s'étalent largement en se dépliant (au pied de Chantebranne), elles subissent même quelques replis (seuil) ou s'étirent et se renversent sous le poids du Barrémien "glissant" sur le Néocomien (Courleveras).

e) - Turonien Sénonien

Les marnes noires amortissant les plissements du Crétacé inférieur, le Sénonien forme une falaise tranquille. Pourtant, au voisinage des grandes zones de fractures, il est extrêmement plissé et faillé, les cassures n'ont toutefois qu'une faible importance.

2 - L'Anticlinal de Garcière-Valbonnette. Pl. IV - V - VI

a) - Jaussier - Coupe 9.10 pl. IV

L'anticlinal débute à l'Ouest par une boutonnière de Tithonique Berriasien allongée SN-SW-E-NE. Il est très dissymétrique :

- le flanc Sud ( S 20°) comprend une série crétacé tranquille (600 m. au Bois des Contents); par contre, l'épaisseur de la série constituant le flanc Nord vertical, est fort réduite. Bien que le passage de la faille F<sub>2</sub> ait élimé ce flanc, des témoins datés de chaque étage subsistant (ravin de Licoune x = 951 - y = 191 - ravin de St. Jean x = 951,4 - y = 192).

..../....



- Sur la rive gauche du ravin de St. Jean, la série se renverse et chevauche légèrement le synclinal de Ourges.

b) - Ourges - Valbonnette - Coupes II à 15

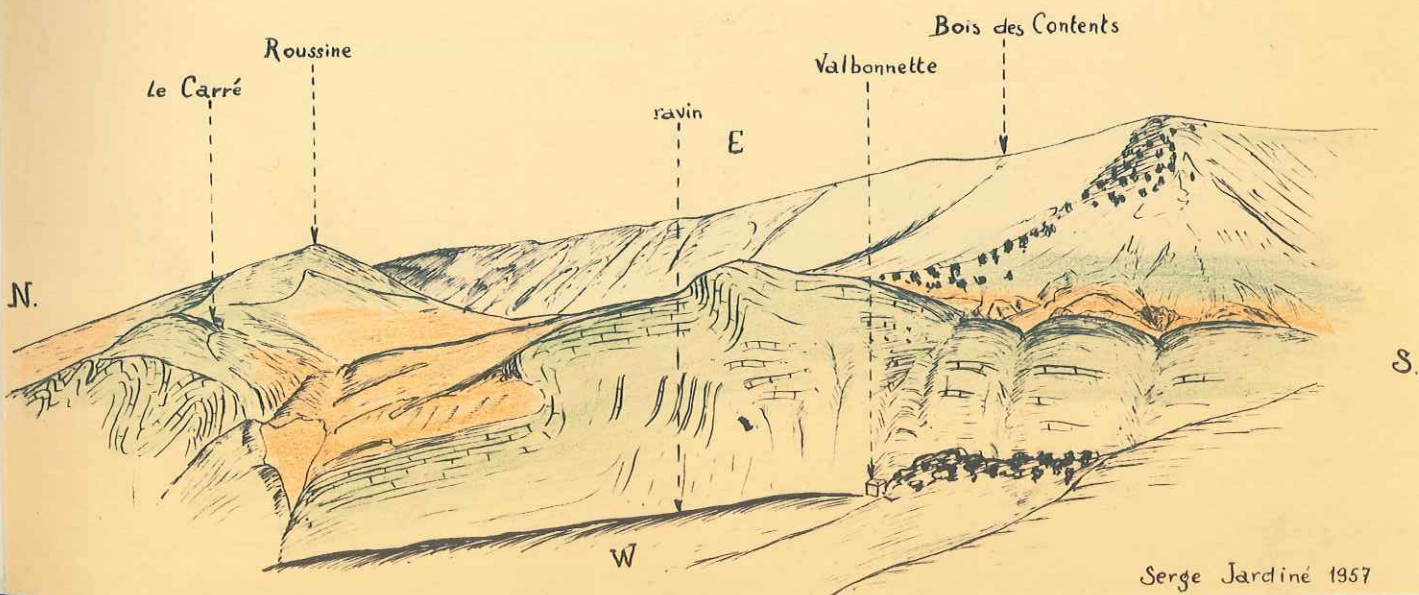
Au niveau de Ourges, l'Anticlinal s'ouvre dans le Néocomien, puis dans le Barrémien jusqu'au Plan d'Entrevaux.

L'Hauterivien affleure à l'Est du Côteau de Malherbe à la faveur d'une sorte d'éclatement du flanc Nord. A 300 m. au Nord, on trouve un segment de la faille  $F_3$  ( $y = 193,5 - x = 953,1$ ); elle se perd rapidement vers le Sud, mais semble liée à l'étirement du Cénomaniens et au glissement du Barrémien vertical sur le Néocomien (coupes 12 - 14). On peut se demander si  $F_3$  est responsable de l'éclatement du flanc Nord ou si elle en résulte. Le décalage vers le Nord de l'axe du Sénonien de Chantebranne par rapport au Senonien de Courleveras permet de penser à l'antériorité de  $F_3$  qui aurait décroché le flanc Nord, étiré le Crétacé, provoqué le renversement et l'écoulement du Barrémien sur le Cénomaniens inf. et du Cénomaniens inf. Albien sur le Cénomaniens-Turonien par gravité (photo 6 b.). Il s'est formé là un réseau de ravins qui ont profondément entaillé le Crétacé inférieur avant de gagner le Coulomp au Pont-St. Benoit; des loupes de glissement marneuses emballent des bancs bien conservés de terrains divers, au milieu de masses d'éboule.

c) - Valbonnette - Le Plan. Coupes 17-18

Plus à l'Est, le ravin de Valbonnette offre une coupe naturelle de l'Hauterivien et du Barrémien intensément plissé; l'axe anticlinal se dédouble vers la Rente et emprisonne momentanément de petits synclinaux de marnes aptiennes (pano. N° 4).

Vue panoramique du cœur de l'anticlinal de Valbonnette





Le Crétacé supérieur des flancs Nord (Chantebranne) et Sud (Bois des Contents) n'est pas tectonisé; les marnes noires y ont absorbé les efforts du Barrémien dont le pendage est souvent inversé par gravité au contact de l'Aptien (seuil - coupe 15).

Au Plan d'Entrevaux s'accroît l'abaissement périantoclinal de l'axe barrémien relayé par les marnes albaeptiennes dont l'importance croît vers l'Est; elles forment le coeur de l'anticlinal d'Entrevaux sur la rive gauche du Var.

### T e c t o n i q u e d e l a r é g i o n N u m m u l i t i q u e

Au relief mou et à la souplesse de la tectonique du Crétacé relativement calme s'opposent les hautes falaises et la tectonique cassante du Mammulitique. Les calcaires priaboniens seuls donnent son cachet à cette zone, les marnes bleues et le grès étant à peu près inexistantes. Si la barre de calcaire dur a épousé les plis à grand rayon de courbure du Sénonien, elle n'a pas suivi ses inflexions brutales; elle s'est alors cassée en touches de piano, ou a glissé puis s'est redoublée sur les pentes les plus raides.

1 - Synclinal de Rouaine-Ourses-Fant de Gueydan (pl. IV, coupe I - Pl. V - Bloc diagr. pl. III)

a) - Cuvette de Rouaine (Coupes 1 à 4, pl. V)

Sous le village de Rouaine affleurent les marnes bleues et le grès oligocène en un synclinal largement ouvert.

Vers l'Est, la surrection locale de l'Anticlinal aigu de Roche Rousse divise la cuvette en deux synclinaux E-W parallèles. L'extrémité périclinal W de Roche Rousse coïncide avec le passage d'un accident important  $F_1$  exprimé par plusieurs segments et miroirs de faille décalés mais de direction constante N. 30° E.

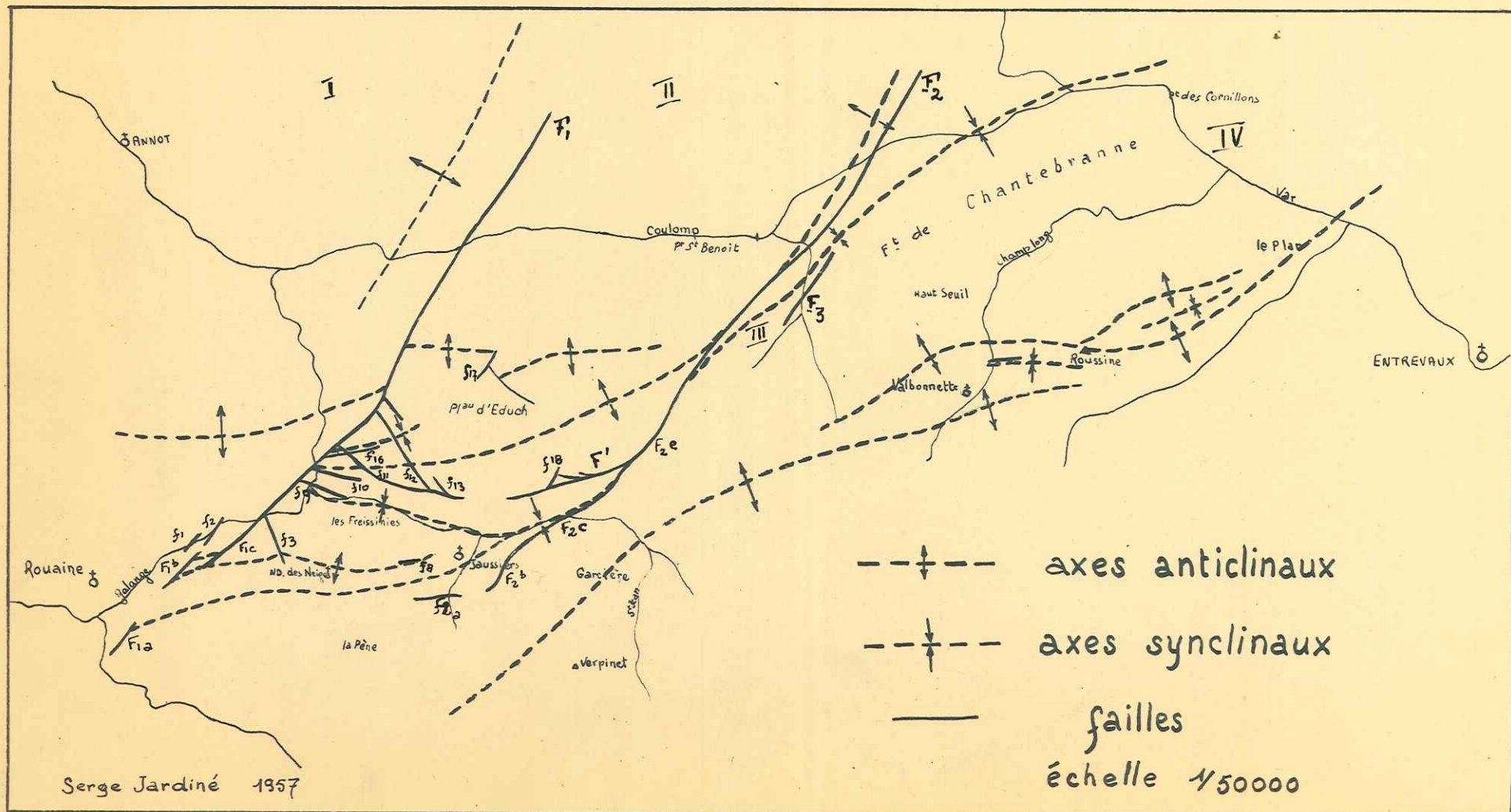
$F_{1a}$  (Route d'Ubraye  $x = 947,7 - y = 190,8$ ) met en contact le grès de Rouaine rebroussé vers le Nord et la base de la barre mammulitique.  $F_{1a}$  se perd sous un ébouli; la brèche de Clot Disson permet de situer son passage.

$F_{1b}$  Ce miroir coupe l'extrémité NW de l'anticlinal de Roche Rousse et fait affleurer le calcaire inférieur. La trace de  $F_{1b}$  se perd rapidement dans les marnes bleues verticales constituant le flanc Nord de l'anticlinal.

..../....



# CARTE DES STRUCTURES





F<sub>1c</sub> Décalée vers l'Est par rapport à F<sub>1b</sub> garde pourtant la même direction : N 30° E; elle met en contact l'anticlinal sénonien (calcaires à spongiaires) de la Jarjatte et le synclinal de marnes bleues de Rouaine Nord sous l'éboulis important qui couvre les pentes dominant la Bernarde. Avant d'atteindre le ravin, F<sub>1c</sub> sépare une barre mummulitique de pendage Sud 15° (flanc Nord du Synclinal de Rouaine) et une barre de pendage Nord 65° (flanc Nord de l'Anticlinal de la Jarjatte).

F<sub>1c</sub>, jalonnée par des débris de calcaires mummulitiques traverse la Bernarde et gagne le Pont St. Joseph en se ramifiant.

Le long des Clues de Rouaine, un certain nombre de failles verticales de faible amplitude verticale et latérale décalent la barre mummulitique (f1, f2).

b) - Zône de Roche Rousse-Jaussiers. (Pl. IV, 5 à 9)

Elle forme le compartiment Est du Synclinal complexe comprenant, du Sud au Nord :

- l'Anticlinal de la Pène
- le Synclinal de la Lanterne
- l'Anticlinal de Roche Rousse
- le Synclinal des Freyssinis

Les flancs Nord des structures anticlinales sont verticaux, les flancs Sud plus tranquilles.

1 - Anticlinal de Roche Rousse - ND. des Neiges

Le Sénonien calcaire (Jarjatte) et le Turonien marno-calcaire (ND. des Neiges) en constituent le coeur.

Aigu et très dissymétrique, il semble être déversé vers le Nord; le flanc Nord, accidenté est subvertical, tandis que le flanc Sud garde un pendage faible (30 à 35°) sauf au niveau du cours SN de la Jarjatte où il devient vertical, étiré par suite de l'abaissement d'axe brutal de l'Anticlinal, abaissement d'axe lié à la faille S.N F<sub>3</sub>.

La falaise mummulitique couvrant le flanc N. soumise à un violent effort, au lieu de se replier sur elle-même, s'est cassée sous son propre poids; il s'est formé plusieurs écailles empilées séparées par des contacts anormaux qui atteignent peu ou pas le Crétacé sous-jacent.

...../.....



Les efforts tectoniques sont soulignés par :

- la faille S.N  $F_3$
- le redoublement de la falaise ( $x = 949,3 - y = 191,8$ ) : un poudingue de base, la calcarénite séparée d'un second poudingue recouvrant un crochon de faille  $F_5$
- les failles S.N  $F_6$  et  $F_7$ , inclinées à  $45^\circ$  qui mettent en contact les compartiments de calcaire nummulitique dominant les Clues de Rouaine; elles expliquent l'épaisseur anormale et la disharmonie apparente de la série tertiaire par un redoublement et un empilement des falaises (ph. 1, pl. III).
- le contact tectonique Turonien-Nummulitique au N. de ND. des Neiges.
- la disparition de ce Nummulitique plus à l'Est ainsi que la faille  $F_8$  parallèle à l'axe anticlinal dont elle a éliminé le flanc Nord.

Au fond du ravin de St. Jean, la calcarénite nummulitique est faillée, broyée en une zone de brèche formée de blocs énormes. Le calcaire intermédiaire par contre a peu souffert. Il forme une sorte de bombement sous ND. des Neiges comme si tout le flanc Nord de Roche Rousse avait glissé en broyant les couches inférieures. La photo 1 explique ces phénomènes de glissement du nummulitique sur le Crétacé ; sur la rive gauche de la Bernarde, la falaise de calcaire des Rochers a glissé sur elle-même.

2 - Le ravin de St. Jean correspond à l'axe du Synclinal des Freyssinies dissymétrique lui aussi; son flanc Nord se relève brutalement et se casse au contact du plateau d'Educh.

c) - Jaussiers-Corges (pl. IV, coupes 9-10)

La fermeture périclinale de Roche Rousse-ND. des Neiges reconstitue le Synclinal simple de Rouaine. Celui-ci est d'abord comprimé entre le plateau d'Educh et l'Anticlinal de Garcière dont il est séparé par l'accident  $F_2$ . Dans le ravin des Combes ( $x = 950,3 - y = 191,1$ ), on note la série, du Nord au Sud :

- marnes bleues-calcaires intermédiaires (5 m) calcaire inf. (1 m) verticaux.

- Senonien (1 m)

- Marnes bleues - Calcaires intermédiaires pris en écharpe par une faille qui le sépare du Crétacé de la Pène.

Ce contact anormal est le témoin méridional de la faille  $F_2$

..../....



Sur la rive gauche du ravin de St. Jean, le Sénonien horizontal chevauche un complexe de marnes bleues et de calcaires intermédiaires écrasés verticaux ( $F_{2b}$ ) dans lequel quelques rochers de calcaire inf. jalonnent  $F_2$ .

Au pied d'Ourges ( $x = 951,6 - y = 191,9$ ),  $F_{2c}$  verticale met en contact des calcaires sénoniens verticaux et des marnes bleues verticales; on note un autre contact anormal avec friction ( $F_{2d}$ ) SW - NE à Ourges même entre Turonien et calcaire intermédiaire.

d) - Ourges - Courleveras

Le Synclinal est serré entre l'Anticlinal de Garcière et l'Anticlinal chevauchant d'Educh. Entre Ourges et la Colle ( $x = 952 - y = 192,1$ ), on observe la coupe suivante (N° 11) : du N au S :

- Sénonien plissé couché sur
- Une barre Mammulitique (4 m)
- une bouillie de calcaire int. marnes bleues (2 m)
- du grès blanc (3 à 4 m)
- marnes et calcaires marneux du Turonien. Cenom

Du Synclinal de Rouaine, seul subsiste le paquet de Tertiaire renversé et couché sur le Cénomaniens de l'Anticlinal de Garcière; il en représente le flanc Nord,  $F_{2e}$  en ayant fait disparaître le flanc Sud et le Sénonien du flanc Nord de Garcière.

De Ourges à la tête du "Grand Ravin" (pl. 1221  $x = 951,8 - y = 193,1$ ), un alignement discontinu de rochers mammulitiques sépare des calcaires sénoniens au Nord, de calcaires turoniens puis sénoniens au Sud. ( $F_{2e}$ ).

Au fond du ravin important, certainement mis en place dans la zone de friction de  $F_2$ , l'accident joue en marches d'escaliers: le Mammulitique est réduit à des débris de falaises cassés et décalés latéralement. Ils sont plus ou moins chevauchés par les calcaires sénoniens écrasés d'Educh à l'W. A l'Est, après une fugace reconstitution du flanc Sud (1221), le Mammulitique est en contact anormal avec le Sénonien de Courleveras (coupe 12).

e) - Courleveras - Condamine (Pl. IV - 13, photo 6 b - pl. V)

Au 1/3 du ravin ( $x = 952,1 - y = 193,3$ ) apparaît brusquement vers l'Est une falaise verticale E-W; elle repose sur le Sénonien calcaire de Courleveras (N 80°). Cette falaise représente le flanc Sud du Synclinal de Rouaine-Ourges. La série du flanc Nord se reconstitue au-dessus de Condamine; à la faveur de  $F_{2g}$  le mammulitique chevauche alors le Crétacé de l'Anticlinal d'Educh (coupe 13).

...../.....



En remontant les ravins depuis Pont St. Benoit, on voit la série crétacé se redresser à la verticale, puis se renverser nettement sous le mummulitique laminé. La présence sous le contact anormal de marnes noires et calciteuses, attribuées au Sénonien sup. a conduit J. GOGUEL à donner une interprétation tectonique différente certainement inexacte. En effet, les marnes tectonisées ont fourni une microfaune cénonomienne typique prouvant l'hypothèse du renversement. F<sub>2</sub> quitte le Synclinal pour casser l'axe Anticlinal suivant; elle se perd sous les éboulis du plateau de Condamines; vers le Nord toutefois, quelques bancs de calcaires marneux conservés dans les éboulis permettent de situer son passage (x = 952,7 - y = 193,8).

J'y ai récolté des fossiles barrémiens et Néocomiens (Duvalia - Crioceras) situant l'axe faillé de l'anticlinal Nord dont F<sub>2</sub> accentue la remontée (coupe 14).

L'Est du plateau de Condamine correspond au Synclinal de Rouaine - Pont de Gueydan limité au NW par F<sub>2</sub> et au SE par F<sub>3</sub> (photo 6 b).

f) - Condamine - Pont de Gueydan (coupes 15-16-17)

A la Cascade de Courleveras (x = 952,9 - y = 193,2) une coupe SE-NW le long du ravin montre :

- le Sénonien vertical de Chantebranne
- 1 m de calcaire mummulitique
- falaise de grès (T S. 45°).
- 2 à 3 m de marnes bleues calc. interméd.
- quelques mètres de calcaire mummulitique inférieur
- calcaires Sénoniens écrasés réduits à 20 m
- marnes et calc. marneux cénonomiens hachés (30 m)
- retombée N. = Sénonien calcaire vertical.

Le Synclinal tient dans une série réduite au Sud par F<sub>3</sub> et au Nord par F<sub>2</sub>; il convient mieux de parler d'une zone broyée que d'une faille. Vers l'Est, F<sub>3</sub> s'amortit sur le flanc Nord de Chantebranne où deux alignements de falaises mummulitiques discontinues marquent la reconstitution du Synclinal.

D'abord pincé, aigu, celui-ci s'élargit lorsque la falaise Nord traverse le Coulomp à Rocher Pointu.

Son axe correspond alors au large lit ensablé du Var. A Pont de Gueydan affleurent les marnes bleues et le grès.

Le Synclinal Rouaine-Pont de Gueydan se poursuit vers le N-E par le Synclinal d'Agnières.

.... / ....



2 - Anticlinal d'Educh

La structure prolonge l'axe anticlinal des Rochers. W-E jusqu'à Ourges, la direction de son axe s'infléchit vers le N-E à partir de la Colle.

a) - Clues de la Galange (pl. IV - N° 7, pl. V - 2)

Au Font St. Joseph, la faille  $F_1$  ramifiée et décalée par de petites failles perpendiculaires  $f_9 - f_{10}$  sépare le haut plateau d'Educh à l'Est de la retombée périanticlinale des Rochers. Dans les Clues ( $x = 949,4 - y = 192,4$ ), le Sénonien est plissé, au contact de  $F_1$ . Le rebroussement des couches montre que le plateau d'Educh doit être considéré comme le compartiment surélevé (II).

A l'extrémité NE du plateau, le rejet est inversé;  $F_1$  a remonté des esquilles de crétacé ou de nummulitique coincés entre les lèvres de la faille.

Aux Scaffarels, la barre nummulitique marque la retombée Nord de l'Anticlinal des Rochers; la faille en infléchit l'axe vers le N.E (Plan de Coulomp).

b) - Plateau d'Educh - Entablement nummulitique.

Il est ceinturé à l'W., au N. et au S. de hautes falaises. Si l'épaississement stratigraphique de la barre nummulitique noté à Rouaine est ici maximum (70 à 80 m), on doit attribuer à des causes tectoniques leur épaisseur anormale, d'autant plus qu'aux Scaffarels, la calcarénite nummulitique est fort réduite stratigraphiquement :

- ) Flanc W. le crochon de la faille  $F_1$  a déterminé un étirement et un coffrage secondaire de la falaise.
- ) Flanc N. A l'W. de  $F_{17}$ , le Nummulitique forme une falaise de 130 m. L'épaisse nappe d'éboulis qui couvre les pentes de la Fubio et l'action modelante de l'érosion ne m'ont pas permis d'expliquer avec certitude cette anomalie.

Toutefois : - le fort pendage Sud du calcaire inf. et la disharmonie du calcaire intermédiaire qui paraît avoir glissé,

- la présence à mi-falaise d'un plan de friction horizontal indiquent un écaillage et un redoublement de la barre.

La proximité de l'axe anticlinal visible dans la Sénonien du ravin d'Educh exclut aussi la verticalité de la falaise ainsi que la possibilité d'un genou.

..../....



Le plateau nummulitique est cassé par des failles superficielles secondaires :

- faille  $F_{17}$  déduite d'un décalage des bancs calcaires
- gouttière synclinale très locale, faillée ( $F_{16}$ ) prolongeant ( $F_1$ )
- réseau de failles SE - NW perpendiculaires à  $F_1$  le découpant en compartiments. Elles infléchissent  $F_1$  à l'W et provoquent le brusque affaissement du flanc S. au niveau de Jeussiers ( $F_{10} - F_{11} - F_{12} - F_{13}$ ).

). Flanc S. L'épaisseur de la falaise S. est due à un coffrage. L'extrémité E. du plateau (photo 2) montre le brusque passage à la verticale de la barre calcaire; celle-ci est éliminée et le coffrage s'est exagéré en pli faillé.  $F_{10} - F_{11} - F_{12} - F_{13}$  mettent en contact le calcaire int. du synclinal des Freyssinies brusquement relevé (S) et le calcaire inférieur étiré du flanc d'Educh (pl. IV).

). Falaise E. Très mince, elle a épousé sans se casser le bombement du Crétacé.

Sur le plateau, la surface structurale indique un fort pendage W. accidenté localement d'un repli faillé ( $F_{14}$ ).

c) - Anticlinal crétacé (pl. IV)

A l'Est d'Educh, l'anticlinal s'ouvre dans le Sénonien. Le coffrage du flanc S. provoque l'élimage du Nummulitique, et par plusieurs décrochements sa disparition ( $F'$ ).

Plus à l'E., l'Anticlinal chevauche vers le S. le Synclinal d'Ourges;  $F'$  provoque à cet endroit l'inflexion de la faille  $F_{2e}$  = faille en Y. Vers l'E., l'Anticlinal est cassé à partir du Grand Ravin; son flanc S. disparaît et seul subsiste le flanc N. réduit au quart de son épaisseur.  $F_2$  infléchit la direction de l'Anticlinal vers le NE.

..../....



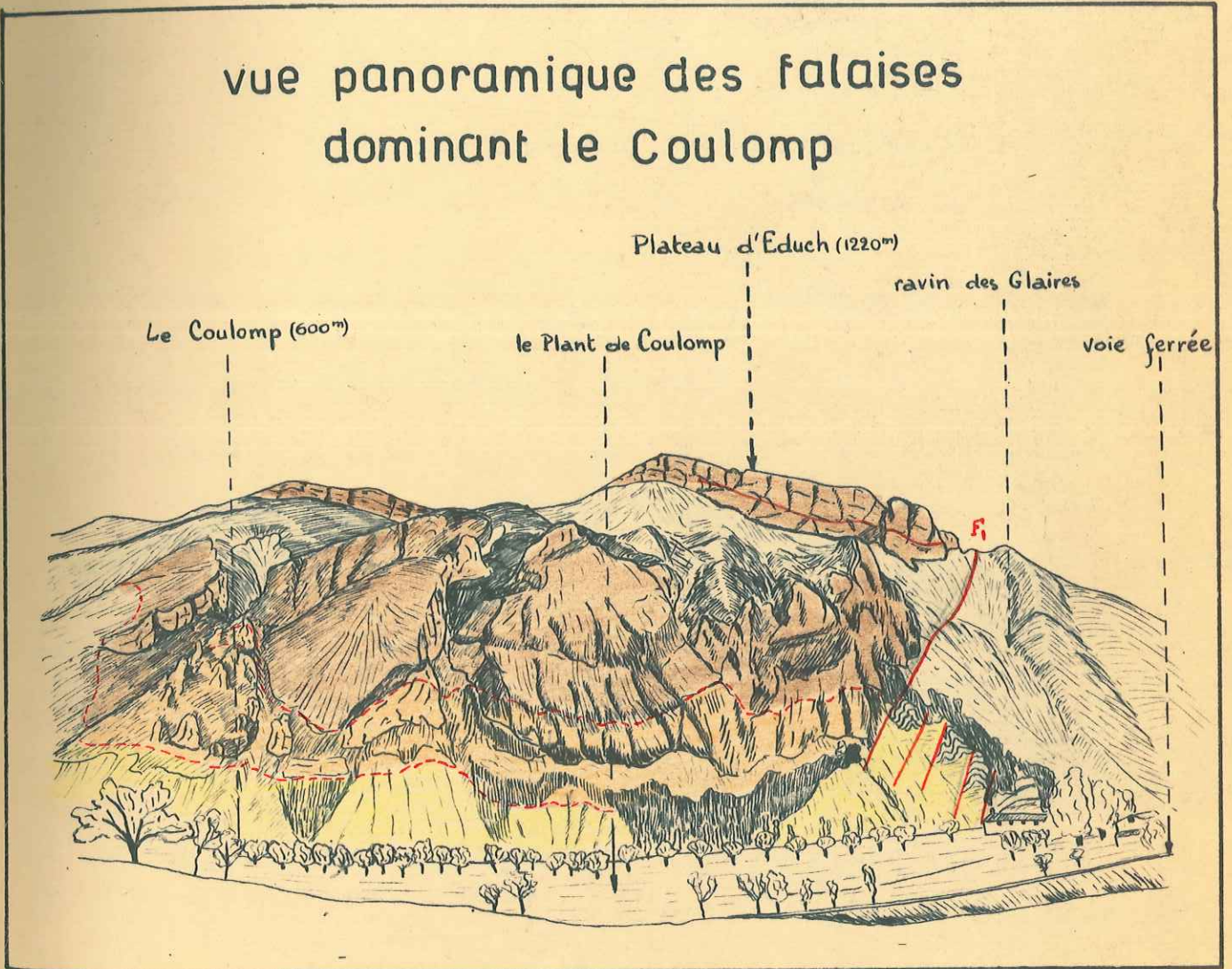
III - La retombée N. subverticale est tranquille (falaise du Coulomp). Elle est brusquement interrompue à l'W. au Plant de Coulomp où  $F_1$  met en contact les marnes bleues et le Sénonien des Rochers.

Il s'agit des structures d'un terrain de relief de type les failles qui les caractérisent. Toutes n'ont pas une égale importance : ainsi les failles de la lettre F sont principales, réservant la lettre f aux failles superficielles.

a) - Extension des systèmes

1. 2. 3. 4. 5. 6. 7. 8. 9. 10. 11. 12. 13. 14. 15. 16. 17. 18. 19. 20. 21. 22. 23. 24. 25. 26. 27. 28. 29. 30. 31. 32. 33. 34. 35. 36. 37. 38. 39. 40. 41. 42. 43. 44. 45. 46. 47. 48. 49. 50. 51. 52. 53. 54. 55. 56. 57. 58. 59. 60. 61. 62. 63. 64. 65. 66. 67. 68. 69. 70. 71. 72. 73. 74. 75. 76. 77. 78. 79. 80. 81. 82. 83. 84. 85. 86. 87. 88. 89. 90. 91. 92. 93. 94. 95. 96. 97. 98. 99. 100.

### vue panoramique des falaises dominant le Coulomp



Reuses) et Plant de Coulomp de rochers apparemment importants s'étendent trop rapidement pour que l'importance de  $F_1$  puisse être comparée à celle de  $F_2$ .

...../.....



### III - LES ACCIDENTS TECTONIQUES

#### 1- Les grandes failles $F_1 - F_2 - F_3$

L'exposé des structures m'a permis de définir en même temps les failles qui les accidentent. Toutes n'ont pas une égale importance : aussi ai-je donné la lettre F aux principales, réservant la lettre f aux failles superficielles.

##### a) - Extension des accidents

$F_1, F_2, F_3$  grossièrement parallèles et de direction SW - NE délimitent 4 compartiments.

-  $F_3$  est limitée.

-  $F_1$  se poursuit de Rouainette à Plant de Coulomp au Nord; elle gagne ensuite la cuvette de St. Benoit où elle a été décrite par J. FERRAT.

A Rouaine elle se présente sous forme de segments discontinus parallèles visibles au niveau des falaises calcaires. La constance de la direction des miroirs (N 30° E) prouve qu'il se produit une atténuation au niveau des zones marneuses puis relais par des segments de faille décalés. Au Plant d'Entrevaux,  $F_1$  est représenté par plusieurs contacts anormaux jouant en marches d'escaliers dans une zone broyée.

-  $F_2$ . On suit  $F_2$  du ravin des Combes à Ourges, Condamine et Enriez. Elle n'est pas rectiligne mais semble modelée sur les axes structuraux qu'elle suit avant de les couper.

##### b) - Les rejets verticaux

-  $F_2$  met en contact des termes très divers; les rejets verticaux sont toujours importants (Grès - Cénomaniens) mais croissent vers le Nord.

-  $F_1$  les rejets de  $F_1$  s'estompent aussi vers le Sud, mais leur irrégularité, les variations brusques de leur sens lui confèrent un autre style. Les contacts grès-calcaires nummulitiques (Rouainette), marnes bleues - Sénonien (Roche Rousse) et Plant de Coulomp de rejets apparemment importants s'atténuent trop rapidement pour que l'importance de  $F_1$  puisse être comparée à celle de  $F_2$ .

..../....



c) - Décrochements latéraux

- L'explication de l'irrégularité du jeu vertical de  $F_1$  doit être cherchée dans la constance des décrochements latéraux :

- 1 - à Rouainette le grès (W - I) est rebroussé vers le Nord, le Mammilitique (E - II) est étiré vers le Sud.
- 2 -  $F_1$  sépare ensuite un Anticlinal (Roche Rousse) d'un Synclinal (W) décalé vers le Sud (photo 1); elle étire ensuite vers le Nord l'axe de l'Anticlinal des Rochers (W) contre le Synclinal de St. Benoit.

- De même le broyage des flancs mammilitiques jalonné par des pointements discontinus indiquent un étirement latéral par  $F_2$ . L'abaissement et le changement de direction de l'axe de Pont St. Benoit vers le N., de même que le décalage vers le N. de la falaise Sénonienne de Chantebranne sont les indices d'un effort tangentiel horizontal.

d) - Verticalité des plans de faille

- les miroirs visibles de  $F_1$  et  $F_3$  sont toujours verticaux.
- au contraire, les contacts anormaux qui jalonnent  $F_2$  sont le plus souvent inclinés; j'ai déjà décrit :

- 1 - le chevauchement vers le N. de Garcière sur le Synclinal de Ourges.
- 2 - le chevauchement vers le S. de l'Anticlinal d'Educh (à la Colle).
- 3 - le renversement vers le N. du Sénonien sous le Mammilitique à Condamine.

L'irrégularité du plan de  $F_2$  montre avec quelle prudence on peut parler de chevauchement dans cette région.

Il est plus vraisemblable que la Faille  $F_2$  soit verticale; le chevauchement apparent est dû à un réajustement postérieur à sa mise en place, l'écoulement par gravité étant facilité par l'incompétence des terrains et la plasticité du Crétacé.

- Le déversement vers le N. des anticlinaux de Garcière, la Pisse ...../.....  
Ségon s'explique d'ailleurs par l'existence de structures antérieures aux pliements et ayant forcé l'air vers le Sud.



e) - Le style des accidents

F<sub>2</sub> suit toujours les axes structuraux avant de la prendre en écharpe; ce fait confirme le jeu anténummulitique de cette faille, jeu prouvé par J. FERRAT au Nord du Coulomp. D'autre part, quoique important vers le Nord, le rejet est souvent réduit à un élimage des séries; il est possible que cette faille ait joué en plusieurs temps. F<sub>2</sub> est l'accident majeur de la région; sa mise en place a déterminé deux fractures importantes, F<sub>1</sub> et F<sub>3</sub> de rejet et d'extension plus faibles.

Ces trois accidents parallèles ont délimité des compartiments décalés latéralement les uns par rapport aux autres, le compartiment occidental étant toujours décroché vers le S. par rapport à son voisin Est. (On doit au décrochement vers le N. de Chantebranne par F<sub>2</sub> ET F<sub>3</sub>, le brusque changement de direction du cours du Coulomp).

La mise en place des cassures est, bien entendu, contemporaine du jeu latéral des compartiments.

L'atténuation des accidents vers le S. tend à prouver que ces phénomènes sont dus à la surrection d'un massif situé au N-E. Sa montée s'est accompagnée du glissement généralisé de la couverture en compartiments séparés par des fractures.

2 - Les failles superficielles

Le glissement de la couverture est complété par des glissements des termes supérieurs durs sur des formations plus plastiques. On leur doit les multiples fractures des calcaires nummulitiques, les plis et petites failles du Sénonien, tous accidents superficiels intéressant un seul terrain et s'atténuant très vite en profondeur. Ces petites failles sont très souvent perpendiculaires aux grands accidents (voir pl. I : f<sub>3</sub> résulte du jeu de F<sub>1</sub>).

IV - AGE DES ACCIDENTS TECTONIQUES

- Toute la série Tithonique - Grès d'Annot est affectée par des glissements post-oligocènes.

- La discordance du Nummulitique sur des termes différents du Crétacé, le jeu anténummulitique de F<sub>2</sub>, le démantèlement du Sénonien indiquent en outre des plissements post-sénonien et anténummulitiques.

- Le déversement vers le N. des anticlinaux de Garcière, la Pène, ND des Neiges s'explique d'ailleurs par l'existence de structures antérieures aux plissements et ayant formé butoir vers le Sud.

...../.....



V - CARTE STRUCTURALE (Pl. VI)

Les observations sont résumées par une carte des structures (in texte) et une carte structurale (pl. VI) établie au mur du Mammulitique. Elle met en évidence le déversement vers le S. de l'Anticlinal d'Educh, l'emplacement de cette structure (dans le Sénonien), l'orientation des axes et des accidents ainsi que la dissymétrie des structures.

VI - CONCLUSIONS

- 1 - Les axes structuraux ont une orientation W-SW - E-NE
- 2 - Les grands accidents qui les recoupent ont une direction NE-SW différente.
- 3 - Donc, ces grandes failles ont joué postérieurement à la mise en place des structures, en délimitant des compartiments décrochés latéralement (glissement de la couverture du dôme de Barrot).
- 4 - Pourtant, l'accident principal (F<sub>2</sub>) semble bien avoir joué aussi avant le mammulitique; sa mise en place s'est effectuée en plusieurs temps, sa dernière manifestation étant post-oligocène.

2 - STRATIGRAPHIE

- La réduction de l'Aptien (au niveau 700, la marne à Phylloceras, Puzosia, Retegonites indique déjà un niveau avoué de l'Aptien). Cette réduction doit être liée à la présence du Nord Grand barréon, signe d'un arrêt de sédimentation; ce qui ne laisse en rien préjuger d'une érosion, les courants sous-marins empêchant parfois la sédimentation au niveau des hauts-fonds (BILJA-BOVAL signale un haut-fond à Sardin).

- la présence de Turonien dans les calcaires marneux dite Sénoniens; le Turonien doit se poursuivre dans la falaise "Sénonienne" (Inoceramus labiatus).

- la variété des faunes du Sénonien.

- la présence de couches marne-gréseuses de base mammulitique, l'épaississement rapide du calcaire inf. à Roussin.

3 - LE GRÈS

- j'ai précisé, à Roussin : l'âge du grès (oligocène), sa granulométrie, l'abondance du ciment calcaire, la présence de gravilles de calcaires rompus et celle de microplanchton pélagique de haute mer.

- par contre la réduction du grès blanc de Roussin-Puy de Gaudon ne permet pas de fournir d'utiles renseignements; son dépôt est dû à sa faible consolidation et à la violence des accidents tectoniques.



## CONCLUSION

Cette étude suggère quelques remarques :

### I - LEVER CARTOGRAPHIQUE - MODIFICATIONS A APPORTER AU 1/80.000<sup>e</sup>

Le lever au 1/80.000<sup>e</sup>, s'il a le mérite de refléter la stratigraphie et l'orientation des structures ne met pas en évidence les grandes fractures régionales

Je propose :

- de compléter vers le N. et le S. le tracé de la faille dite F<sub>1</sub> ébauché dans la Galange.
- de mettre en place le très important accident F<sub>2</sub> continu de Daluis à Jausiers.
- de réduire l'affleurement tertiaire de Chantebranne à la petite falaise qui domine le Coulomp puis le Var, le Sénonien formant la majeure partie de la croupe.
- d'indiquer les affleurements de grès qui marquent l'axe du Synclinal étiré et faillé (Courleveras).

### 2 - STRATIGRAPHIE. J'ai précisé :

- la réduction de l'Aptien (au niveau 709, la macrofaune à Phylloceras, Puzosia, Tetragonites indique déjà un niveau avancé de l'Aptien). Cette réduction doit être liée à la présence du Hard Ground barrémien, signe d'un arrêt de sédimentation; ce qui ne laisse en rien préjuger d'une émergence, les courants sous-marins empêchant parfois la sédimentation au niveau des hauts-fonds (BIJA-DUVAL signale un haut-fond à Gourdan).

- la présence de Turonien dans les calcaires marneux dits Cénomaniens; le Turonien doit se poursuivre dans la falaise "Sénonienne" (Inoceramus labiatus).

- la variété des faciès du Sénonien.

- la présence de couches marno-gréseuses de base nummulitique, l'épaississement rapide du calcaire inf. à Rouaine.

### 3 - LE GRES

- j'ai précisé, à Sauzeries : l'âge du grès (oligocène), sa granulométrie, l'abondance du ciment calcaire, la présence de gravelles de calcaires remaniés et celle de microplanctones pélagiques de haute mer.

- par contre la réduction du grès blanc de Rouaine-Pont de Gueydan ne permet pas de fournir d'utiles renseignements; son érosion est due à sa faible consolidation et à la violence des accidents tectoniques.

..../....



-la présence de microplanctones laisse présager la réussite d'une étude palynologique poussée.

4 - TECTONIQUE

Les structures d'orientation NE-SW sont coupées par de grandes failles parallèles SSW-NNE.

Ces failles, sont des plans d'étirement séparant des compartiments décalés latéralement (glissement de couverture); ils ont pu jouer en plusieurs temps.

L'incompétence des divers termes stratigraphiques et la plasticité du crétacé ont provoqué des réajustements superficiels.

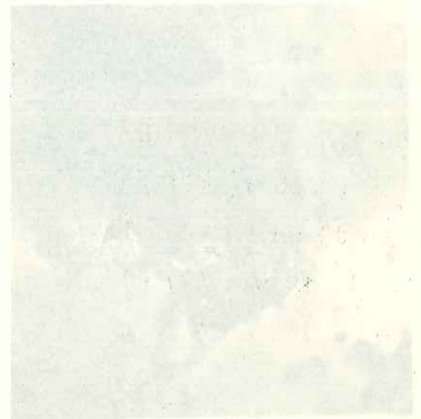
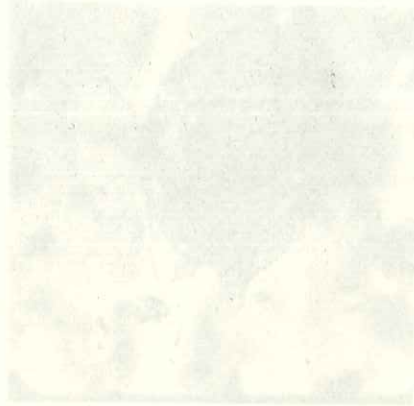
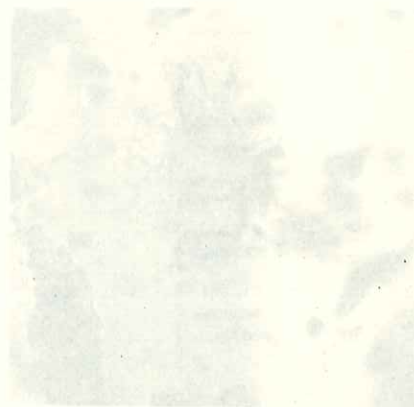


Fig. 451 *Buccella* cf. *fulcata* (Coop.)  
by Coop.

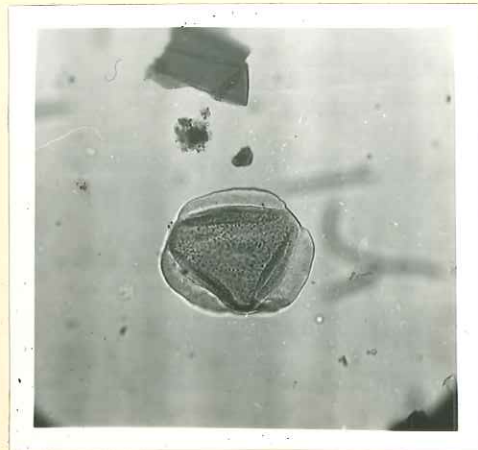
Fig. 452 *Buccella* cf. *fulcata* by Coop.



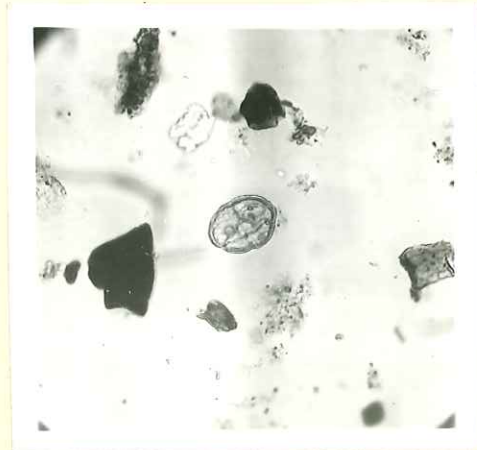
e 325 *Hydrichus* sp.

f 326 *Hydrichus* sp.

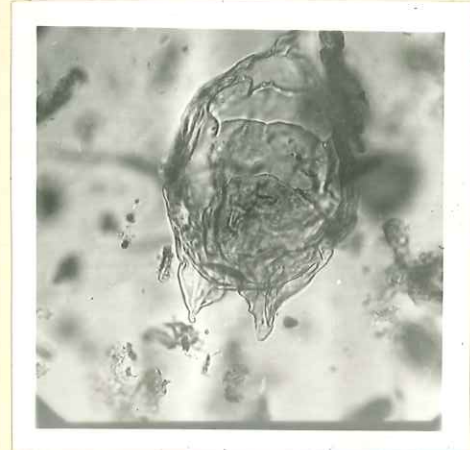




a 936. spore de podocarpacee



b 936 Spore en division  
10µ



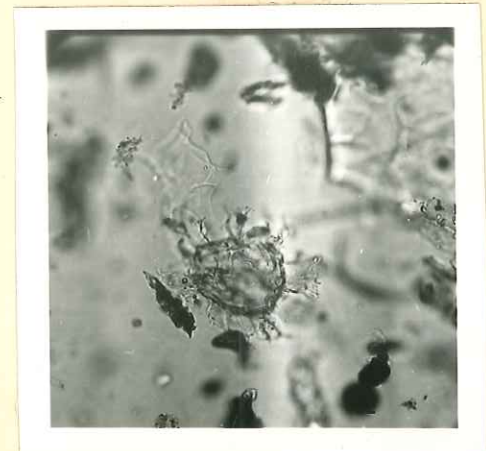
c 936 - Peridinium cf. galeatum (100µ)  
Lej. Carp.



d 932 - Peridinium cf. galeatum Lej. Carp.

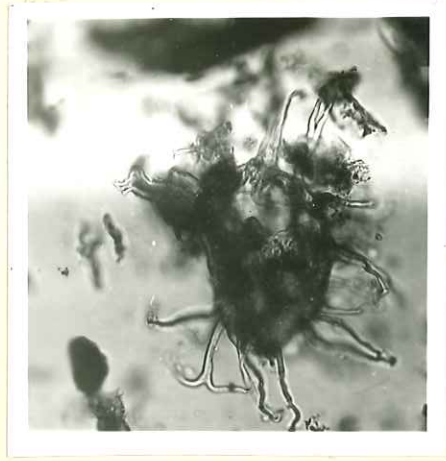


e 936 Hystrichosph<sup>h</sup>ere



f 936 Hystrichosphère

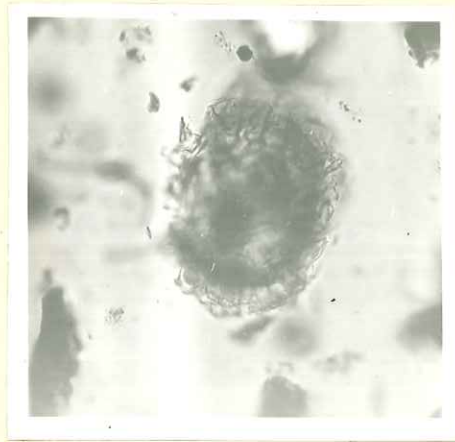




a. 936. VI *Hystrichosphaeridium*  
cf. *hystrichodinium* Desf.



b. 932. II *Hystrichosphaeridium*  
cf. *hystrichodinium* Desf.



c. 936. III *Hystrichosphaeridium*  
cf. *malleoferum* White.



d. 932. *Hystrichosphère*



e. 932. *Hystrichosphère*



f. 936. *Hystrichosphère*



Roche Rousse

Rouaine



Cuvette de Rouaine vue d'Eduech SW.

- faille Fic
- failles de réajustement  $f_3, f_6, f_7$  liées à  $F_1$
- redoublement des falaises nummulitiques



Extrémité SE

- coffrage du flanc S. de l'anticlinal d'Edueh
- faille F' en marquant l'élimage -
- chevauchement F<sub>2e</sub>



Oorges



Plateau d'Edueh détails

Extrémité SW

Décrochement complexe F<sub>10</sub>, S<sub>11</sub> séparant le synclinal des Freyssinies et l'anticlinal d'Edueh.



la Pène

ND. des Neiges

Freyssinies

Galange

Jaussiers

ravin de St Jean



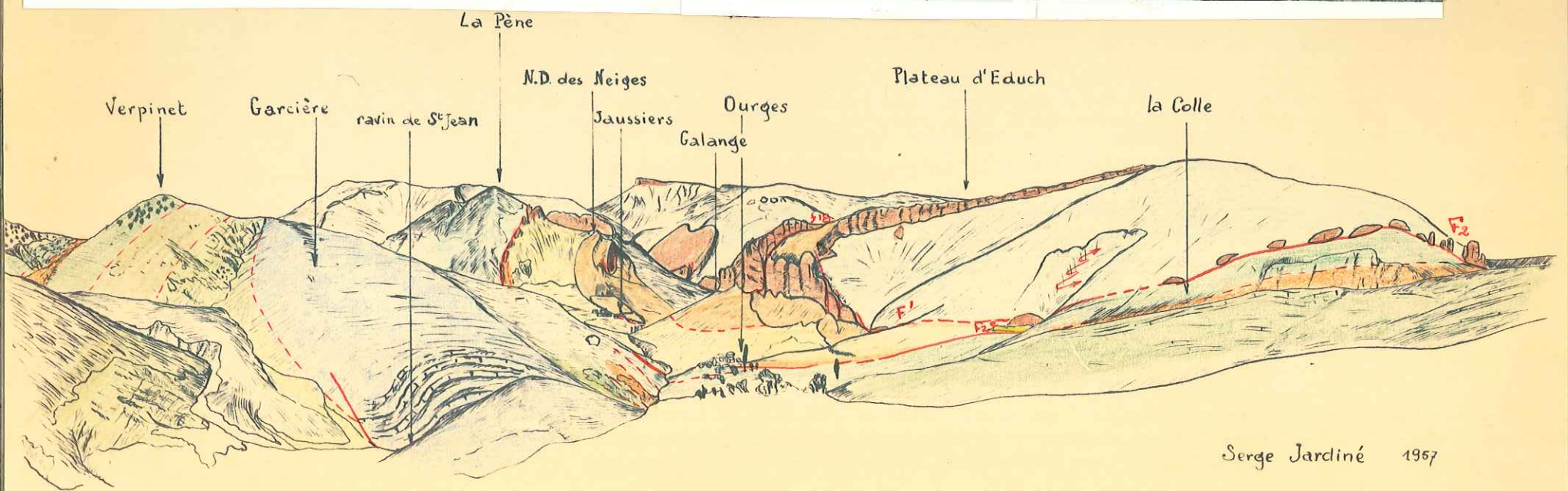
F2a

Panorama Ecluch - ND des Neiges

vu de garcière

décrochement SW. F'





Serge Jardiné 1957



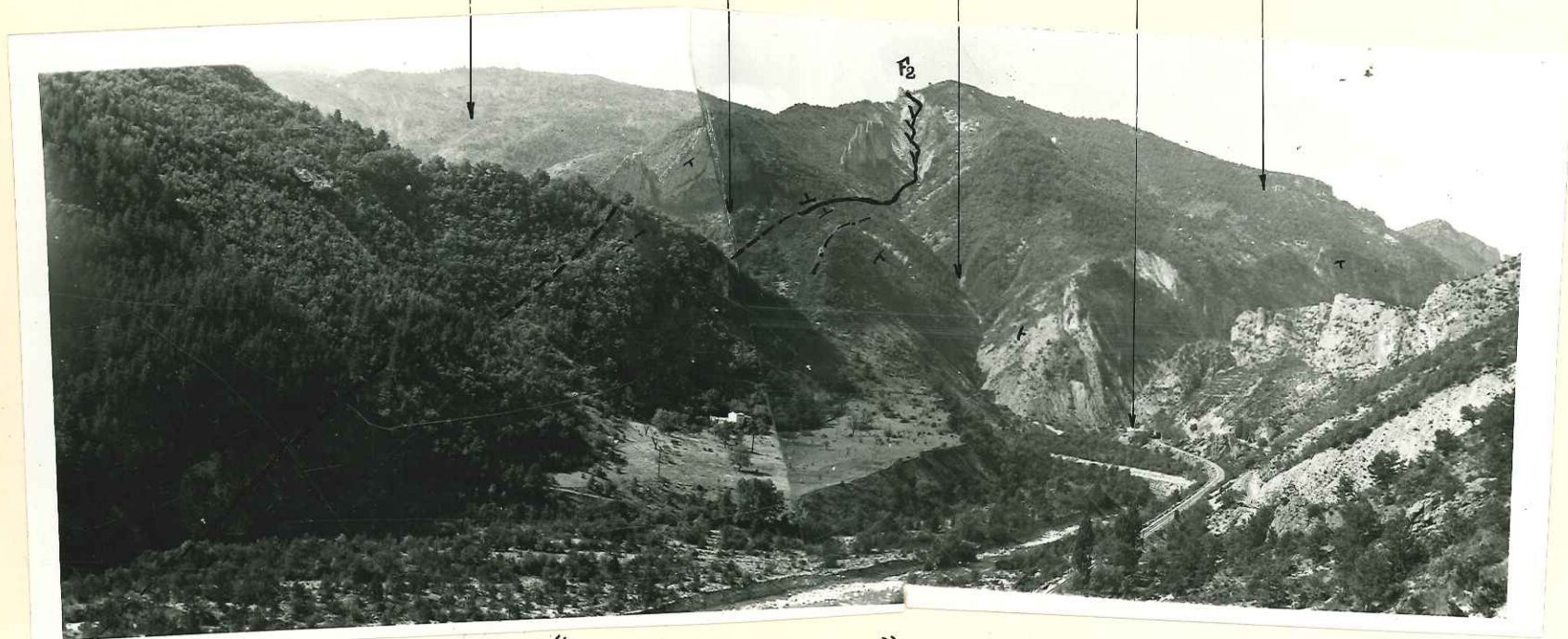
anticlinal "éclaté"  
de Valbonnette

Synclinal de Rousine  
Condamine

grand  
ravin

Pont St Benoit

anticlinal d'Educh



F<sub>2</sub>

le "grand Ravin" - Pont St Benoit

vus de la rive gauche du Coutomp

la faille F<sub>2</sub> accidente le flanc Nord du Synclinal de Rousine (Condamine) -







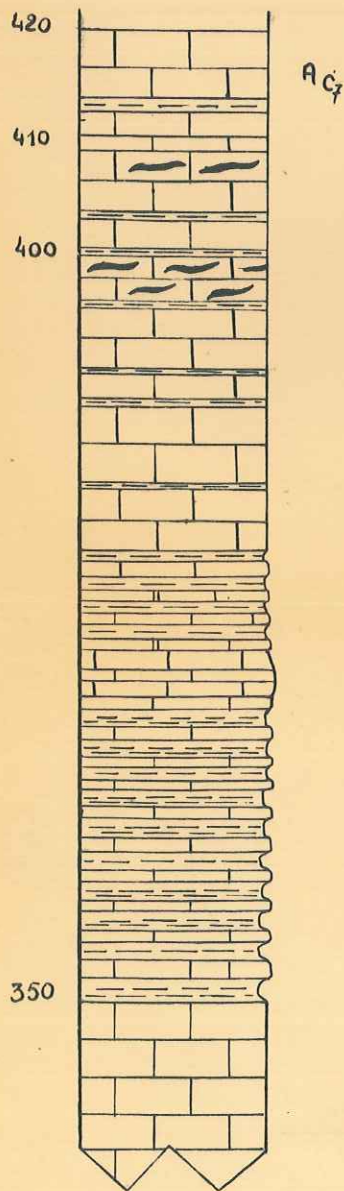
# CRETACE SUPERIEUR

log strati.

1/500

## LE PLAN D'ENTREVAUX

PONT S<sup>T</sup> BENOIT Sénon



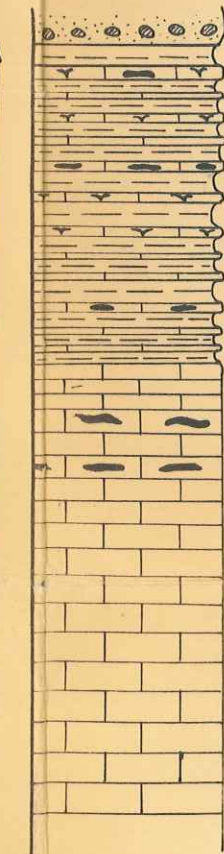
Ac

Calcaires à silice

calcaire microcristallin à spicules,  
Globotruncana  
Heterohelicidae

Gros bancs de calcaires fins

Alternance de marnes grises et de petits  
bancs de calcaires fins



Alternance de lits de marnes bleues  
et de bancs de calcaires fins à  
silice et spongieux

cephalopodes  
oursins

Epaisse série de calcaires à patine  
pâte fine, gris moucheté  
en bancs de 40cm à 80cm  
spongieux - silice

702

Intercalations marneuses

EN



SUPERIEUR

log strati.

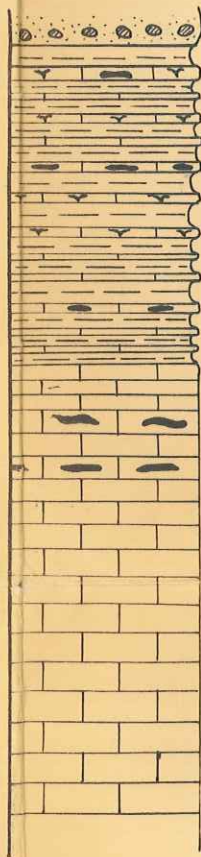
1/500

D'ENTREVAUX

PONT S<sup>T</sup> BENOIT

Sénonien marneux

calcaire microcristallin à spicules,  
Globotruncana  
Heterohelicidae



Alternance de lits de marnes bleues  
et de bancs de calcaires fins à  
silex et spongiaires

cephalopodes  
oursins

Epaisse série de calcaires à patine rousse  
pâte fine, gris moucheté  
en bancs de 40cm à 80cm  
spongiaires - silex

|                      |                           |
|----------------------|---------------------------|
| Globotruncana linnei | } S <sup>T</sup> ANTONIEN |
| " marginata          |                           |
| " coronata           |                           |
| " aff. arca          |                           |
| Gümbelina            |                           |

702

Intercalations marneuses

Globotruncana angusticarinata

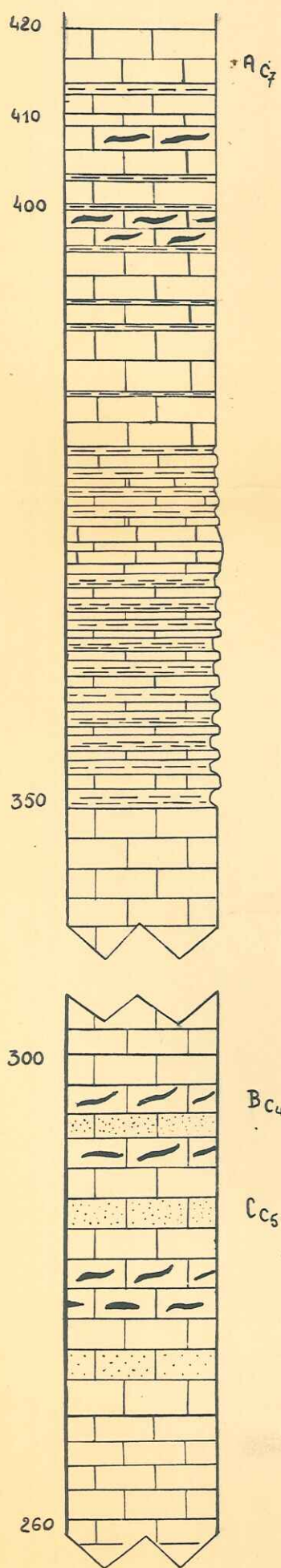
EN



# CRETACE SUPERIEUR

log strat

## LE PLAN D'ENTREVAUX



Calcaires à silex

calcaire microcristallin à spicules,  
Globotruncana  
Heterohelicidae

Gros bancs de calcaires fins

Alternance de marnes grises et de petits  
bancs de calcaires fins

Epaisse série de calcaires compacts

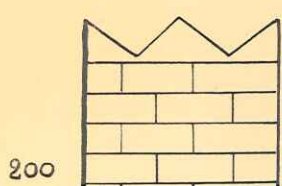
- bancs de calcaires fins à silex

- calcaire microcristallin à spicules  
gümbelina

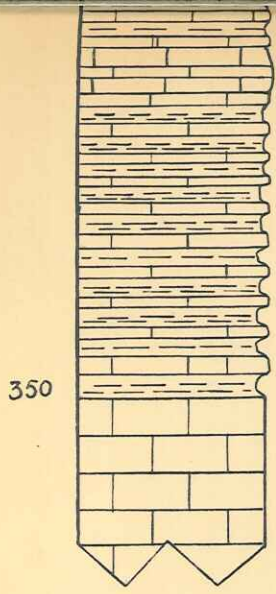
- bancs de calcaires gris à points  
noirs

- calcaire gréseux : quartz anguleux  
glauconie - calcite détritiques -  
plaques d'oursins - Globotruncana  
Gümbelina - Globigerina - Textularia  
(traces de remaniements)

SENONIEN

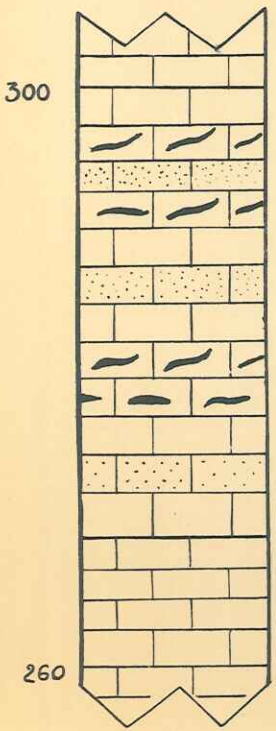






Gros bancs de calcaires fins

Alternance de marnes grises et de petits bancs de calcaires fins



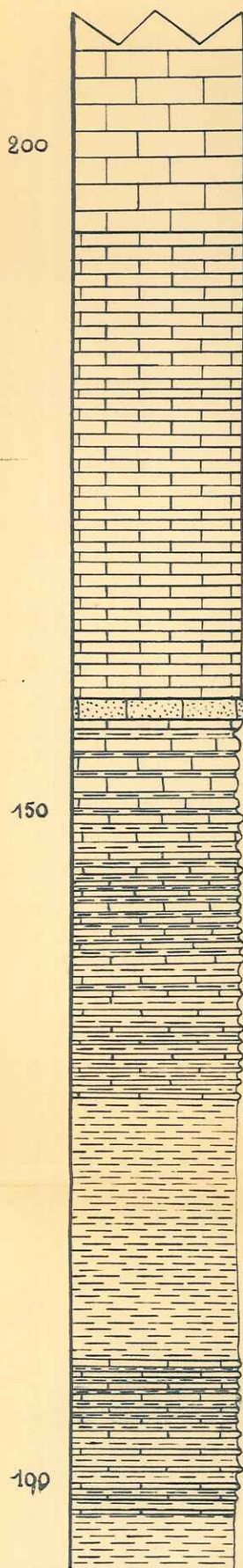
Epaisse série de calcaires compacts

- bancs de calcaires fins à silex

- bancs de calcaires gris à points noirs

- calcaire microcristallin à spicules Gümbelina

- calcaire gréseux : quartz anguleux  
glaucanie - calcite détritiques -  
plaques d'oursins - Globotruncana  
Gümbelina - Globigerina - Textularia  
(traces de remaniements)



Dc3

calcaire microcristallin à spicules,  
lagenidae - globigerina - lagenidae

Falaise de Calcaires gris en petits bancs  
- de 20 à 40 cm

Calcaire microcristallin à spicules  
radiolaires - rares quartz anguleux  
rotalidae

grands Inocerams

Ec1

petits Inocerams

Banc calcaréo-gréseux et glauconieux roux

Alternance de marnes bleutées et de petits  
bancs de calcaire de plus en plus  
importants vers le haut.

← parapachydiscus

← petits inocerams  
← acanthoceras

rotalipora cushmani  
" " var turonica

F702

Marnes calcaires à patine brune

Marnes intercalées de petits bancs de  
calcaire marneux

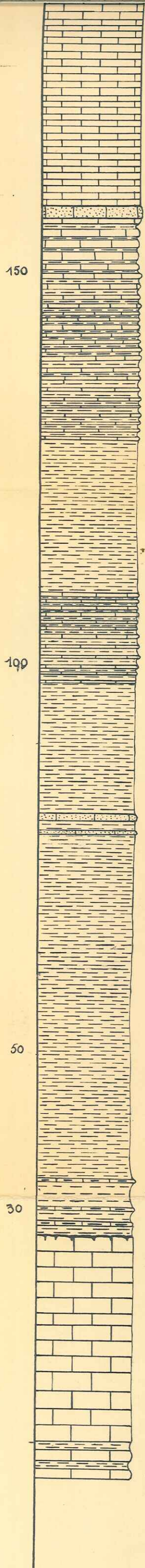
100

SENONIEN

← CENOMANIEN TURONIEN →

M. inf





Falaise de Calcaires gris en petits bancs  
- de 20 à 40<sup>cm</sup>

grands Inocerams

EC<sub>1</sub>

petits Inocerams

Banc calcaréo-gréseux et glauconieux roux

Alternance de marnes bleutées et de petits bancs de calcaire de plus en plus importants vers le haut.

← parapachydiscus

← petits inocerams  
← acanthoceras

F702

Marnes calcaires à patine brune

Marnes intercalées de petits bancs de calcaire marneux

100

Marnes bleutées

Marnes gréseuses, très glauconieuses et bancs de calcaires gréseux glauconieux

G708

Marnes noires à miches et à fossiles pyriteux

50

Marnes grises ou bleutées

quelques bancs durs à la base

709 - ammonites pyriteuses  
- belemnites

H709

Hard ground - surface tarodée, ferruginisée

30

Ich<sub>1</sub>

Gros bancs (50 à 90<sup>cm</sup>) de calcaires fins compacts à longs silex jaunes - ammonites

J710

Alternance de calcaires marneux et de lits de marnes grises.

Calcaire microcristallin à spicules radiolaires - rares quartz anguleux rotalidae

rotalipora cushmani  
" " var turonica

forams. rares: Thalmaninella  
globigerina cf. infracretacea  
" planispira

globigerina infracretacea  
gavelinella barremiana  
schackoia sp.  
Valvulineria sp.  
Gaudryina  
Marginulina  
Cristellaria

Calcaire marneux à "sphères"

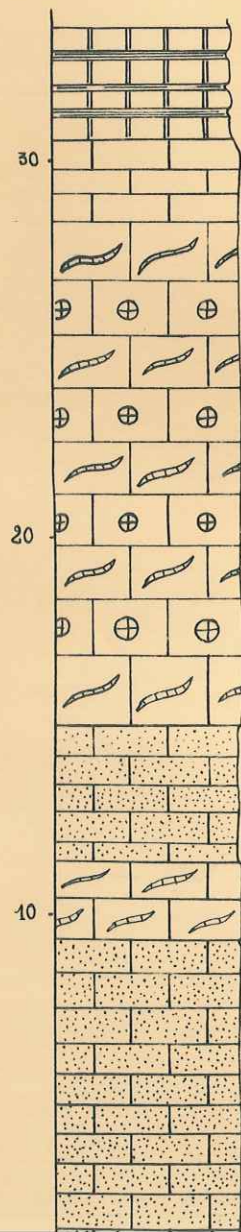
BARREMIEN ——— APTIEN · ALBIEN ——— CENOM. inf ——— CENOMANIEN ——— TURONIEN ———



# Coupes stratigraphiques cor

## CORNILLONS

$$\begin{cases} x = 195,5 & y = 955,8 \\ x' = 195,54 & y' = 955,9 \end{cases}$$



Calcaires marneux interm.  
bleus à délités marneux  
Discoeyclines

6 Calcaires compacts  
Jaunes à Discoeyclines

5 Calcaire massif, fin  
blanc à polypiers,  
Algues (filamenteuses  
et Lithotamn.)  
millioliidae

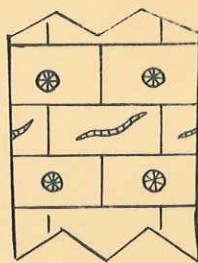
4 Calcarénite à  
Operculines - petites  
nummulites - miliolites

3 Calcaire gris clair  
à algues - millioliidae

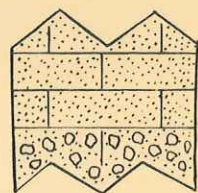
2 Calcarénite sans  
nummulite  
millioliidae

## CHANTEBRANNE

$$\begin{cases} x = 194,8 \\ y = 954 \end{cases}$$



Calcaire compact blanc  
à polypiers - algues  
millioliidae

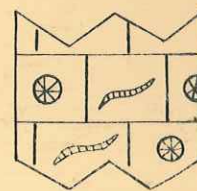


calcarénite

miero-conglomérat à  
éléments crétacés

## COURLEVERAS

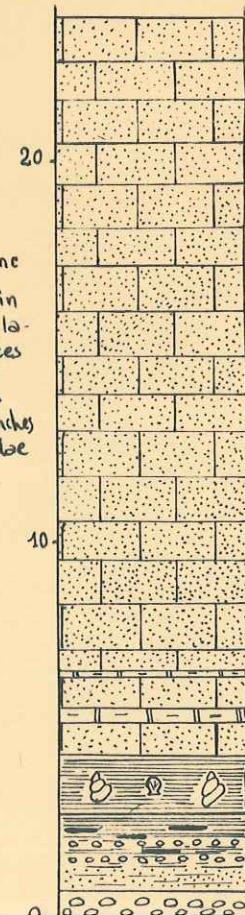
$$\begin{cases} x = 193,2 \\ y = 953,3 \end{cases}$$



Calcaire massif - fin - blanc  
= calcaire microcristallin  
à polypiers - algues fila-  
menteuses et lithotamneuses  
passant à un calcaires  
plus détritique - débris  
d'organismes : lamellibranches  
algues - millioliidae - rotalidae

## GRAND RAVIN

$$\begin{cases} x = 192,8 & y = 952,6 \\ x' = 192,83 & y' = 952,6 \end{cases}$$



Barre nummulitique

calcarénite intercalée d'  
operculines

marnes bleues lumachelliques

marnes grises ligniteuses - passées  
crétacées

grès fin, roux, finement lité, lig-  
poudingue à éléments crétacés



# CORNILLONS

$$\begin{cases} x = 195,5 & y = 955,8 \\ x' = 195,54 & y' = 955,9 \end{cases}$$

# CHANTEBRANNE

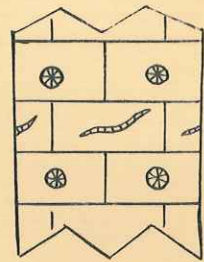
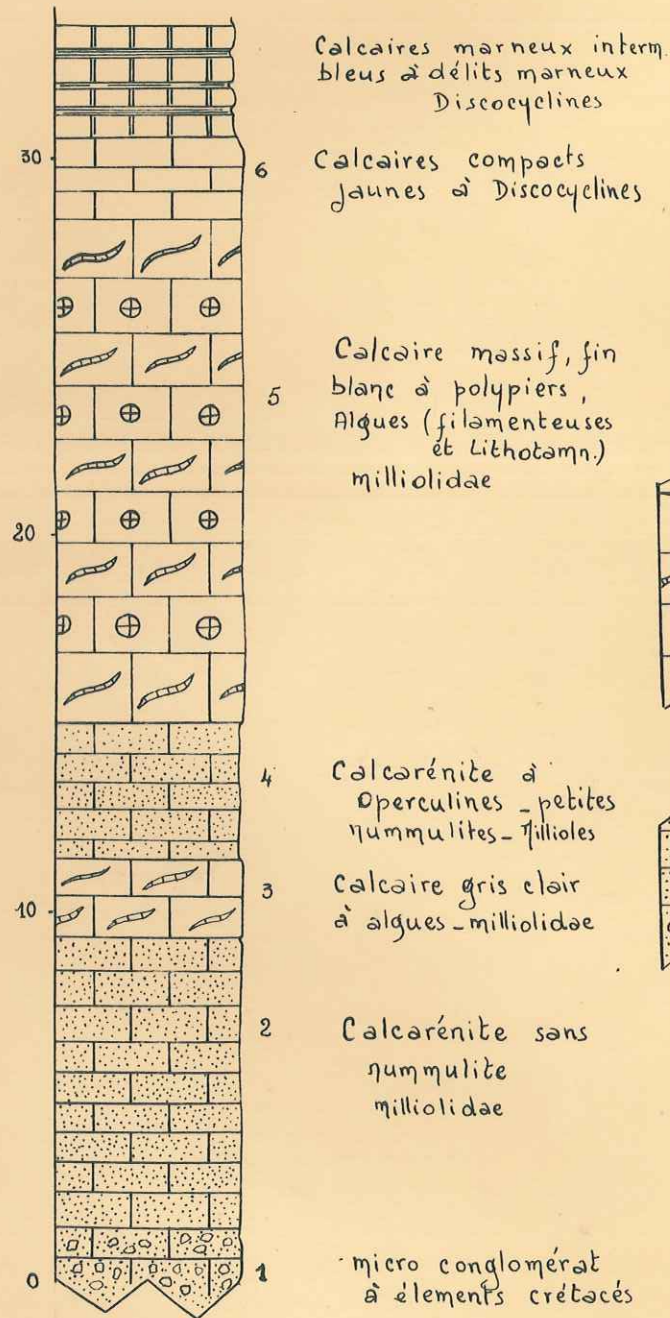
$$\begin{cases} x = 194,8 \\ y = 954 \end{cases}$$

# COURLEVERAS

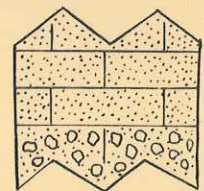
$$\begin{cases} x = 193,2 \\ y = 953,3 \end{cases}$$

# GRAND RAVIN

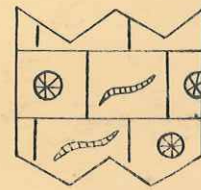
$$\begin{cases} x = 192,8 & y = 952,6 \\ x' = 192,83 & y' = 952,6 \end{cases}$$



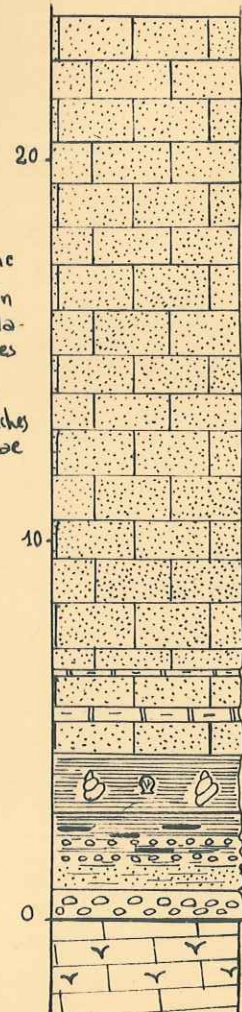
Calcaire compact blanc à polypiers - algues millioliidae



calcarénite  
micro-conglomérat à éléments crétacés



Calcaire massif - fin blanc = calcaire microcristallin à polypiers - algues filamenteuses et lithotamniées passant à un calcaire plus détritique - débris d'organismes : lamellibranches algues - millioliidae - rotalidae



Barre nummulite

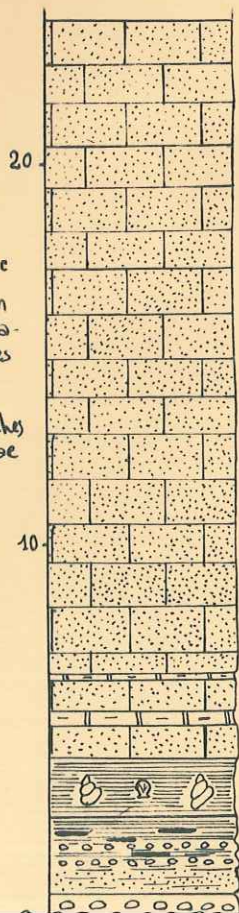
calcarénite intercalaire operculines  
marnes bleues lumachellies  
marnes grises ligniteuses - crétacées  
grès fin, roux, finement lités poudingue à éléments crétacés à peine visibles  
Sénonien = calcaires



# stratigraphiques comparatives de la barre Nummulitique

## GRAND RAVIN

$\begin{cases} x = 192,8 & y = 952,6 \\ x' = 192,83 & y' = 952,6 \end{cases}$



Barre nummulitique

calcarénite intercalée de marno-calcaires operculines

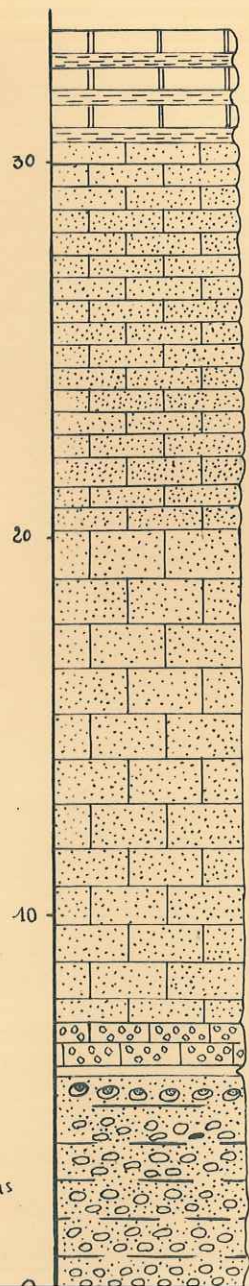
marnes bleues lumachelliques

marnes grises ligniteuses - passées de graviers : forams crétacés.

grès fin, roux, finement lité, ligniteux  
 poudingue à éléments crétacés arrondis

## PONT. S<sup>t</sup> BENOÎT

$\begin{cases} x = 193,75 & y = 953 \\ x' = 193,75 & y' = 952,95 \end{cases}$



6 Calcaires marneux bleutés intermédiaires  
 Discoeyclines abondantes

5 Bancs (50cm) de calcaires finement graveleux blutés  
 quartz -  
 Operculines - Assilines  
 Discoeyclines - grandes nummulites

4 Barre de calcaire finement graveleux  
 (calcarénite) : éléments de calcaire sénonien  
 ciment de calcite - quartz  
 Chapmanina - rares Nummulite  
 Textularia - " Discoeyclines

Calcaire finement graveleux (0,5mm) -  
 Nbses - nummulites - Discoeyclines - milliolidae  
 Fabiania - globorotalidae - Lithotamniées

calcarénite fine à nummulites - milliolidae  
 débris de Discoeyclines

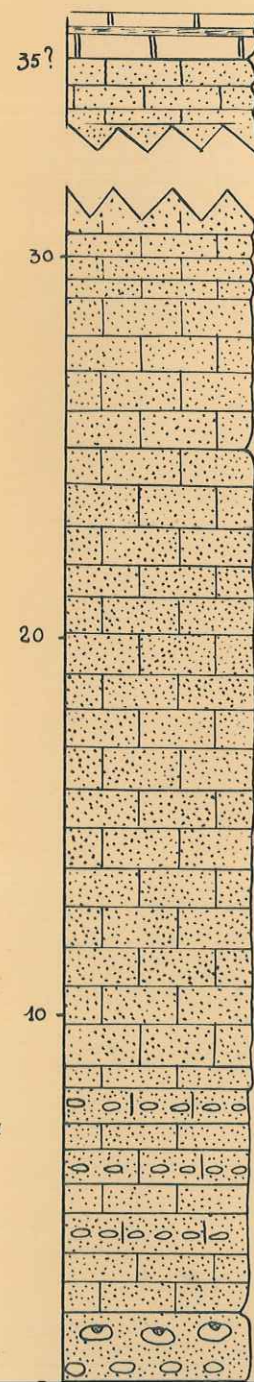
3 Micropoudingue à éléments crétacés anguleux ou  
 arrondis  
 ciment de calcite - quartz  
 Nbses nummulites

2 Lits de poudingues à éléments crétacés arrondis  
 (calcaires et silex) grossiers, mal classés. Ciment  
 calcarénite jaune

à la partie supérieure, galets perforés  
 968 = galet de sénonien (calcaire à radiolaires,  
 globotruncanas) - perforation remplie  
 de calcarénite = gravettes de sénonien quartz  
 ciment de calcite - Chapmanina

## EDUCH - EST

$\begin{cases} x = 951,45 \\ y = 191,92 \end{cases}$



Ed3 Calcaire marneux bleuté  
 discoeyclines  
 Calcaire roux ; rares et pe  
 ciment ab  
 discoeyclines  
 arénacés -

Ed1 Calcaire graveleux bleuté  
 sans num  
 quartz

Ed6 Calcarénite jaune fine à  
 très rares nu

Ed14 Calcarénite moyenne à gra  
 ciment calcite - débris de

Ed12 Calcarénite fine à ciment  
 de calcaires, roches et  
 débris

Ed9 Calcarénite rousse fine  
 intercalée de 4 lits de

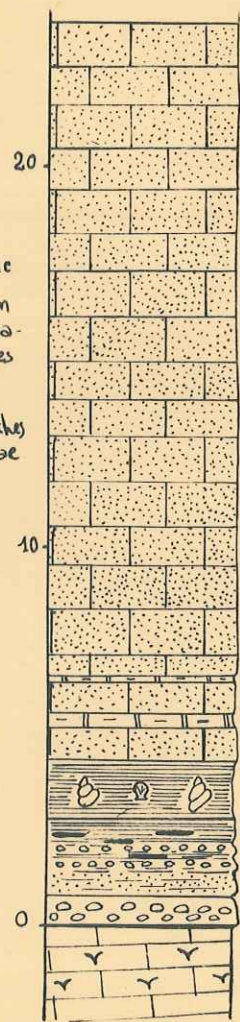
Ed10 Poudingues à ciment calcaré  
 de calcaires sé



S

# GRAND RAVIN

$\begin{cases} x = 192,8 & y = 952,6 \\ x' = 192,83 & y' = 952,6 \end{cases}$



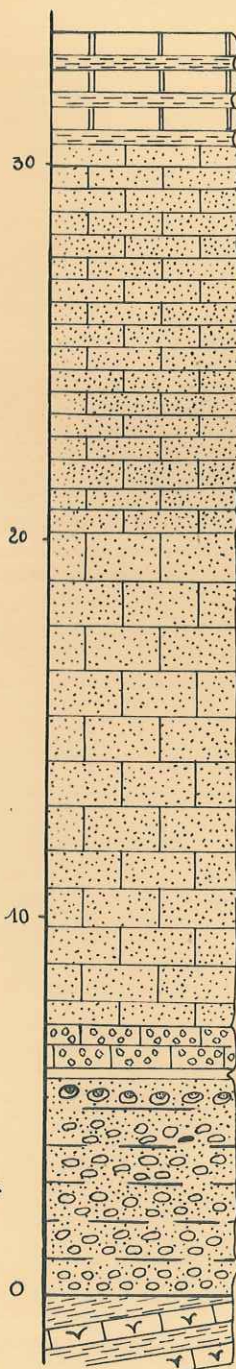
aire massif - fin. blanc  
 calcaire microcristallin  
 polypiers - algues fila-  
 euses et lithotamniées  
 sant à un calcaires  
 détritiques - débris  
 panismes: lamellibranches  
 es - miliolidae - rotalidae

Barre nummulitique

calcarénite intercalée de marno-calcaires  
 operculines  
 marnes bleues lumachelliques  
 marnes grises ligniteuses - passées de graviers: forams  
 crétaçés.  
 grès fin, roux, finement lité, ligniteux  
 poudingue à éléments crétaçés arrondis  
 à peine cimentés  
 Sénonien = calcaires à spongiaires.

# PONT. S' BENOÎT

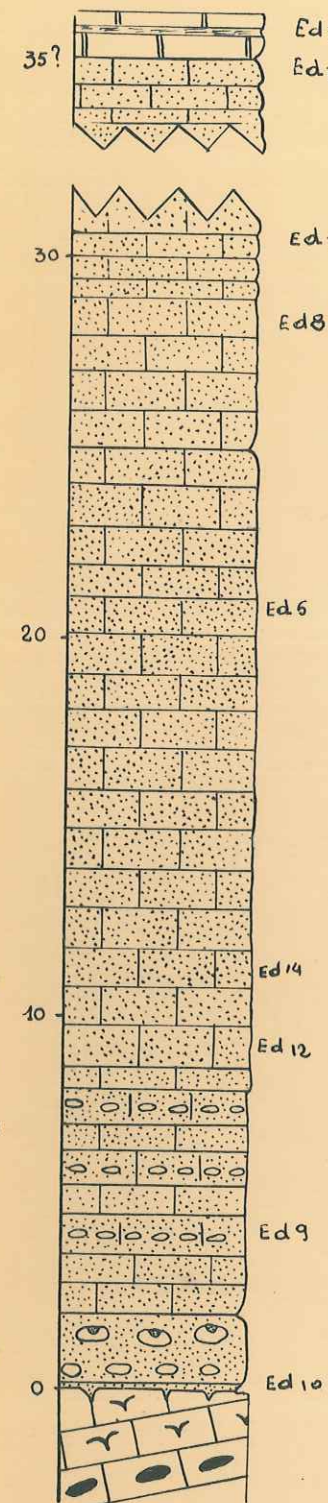
$\begin{cases} x = 193,75 & y = 953 \\ x' = 193,75 & y' = 952,95 \end{cases}$



6 Calcaires marneux bleutés intermédiaires  
 Discocyclines abondantes  
 5 Bancs (50cm) de calcaires finement graveleux blutés  
 quartz -  
 Operculines - Assilines  
 Discocyclines - grandes nummulites  
 - 973  
 4 Barre de calcaire finement graveleux  
 (calcarénite): éléments de calcaire sénonien  
 ciment de calcite - quartz  
 Chapmanina - rares Nummulite  
 Textularia - " Discocyclines  
 - 972  
 Calcaire finement graveleux (0,5mm) -  
 Abses - nummulites - Discocyclines - miliolidae  
 Fabiania - globorotalidae - Lithotamniées  
 - 970  
 calcarénite fine à nummulites - miliolidae  
 débris de Discocyclines  
 - 969  
 3 Micropoudingue à éléments crétaçés anguleux ou  
 arrondis  
 Ciment de calcite - quartz  
 Abses nummulites  
 - 968  
 2 Lits de poudingues à éléments crétaçés arrondis  
 (calcaires et silex) grossiers, mal classés. Ciment  
 calcarénite jaune  
 à la partie supérieure, galets perforés  
 968 = galet de sénonien (calcaire à radiolaires,  
 globotruncanas) - perforation remplie  
 de calcarénite = gravettes de sénonien - quartz  
 ciment de calcite: Chapmanina -  
 Textularia - Asterigerina  
 1 Sénonien: marnes à globotruncana  
 et calcaires à spongiaires et silex

# EDUCH - EST

$\begin{cases} x = 951,45 \\ y = 191,92 \end{cases}$



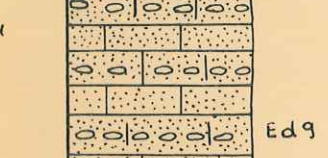
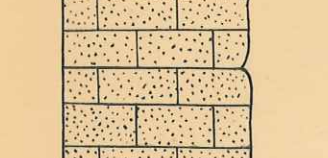
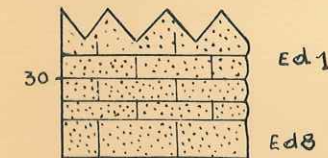
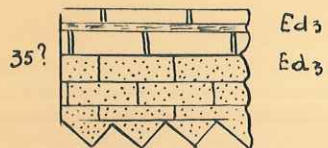
Calcaire marneux bleu  
 discocyclines  
 Calcaire roux; rares  
 ciment  
 discocyclines  
 arénacé  
 Calcaire graveleux bleu  
 sans nummulites  
 quartz  
 Calcarénite jaune fine  
 très rares  
 Calcarénite moyenne à  
 ciment calcite - débris  
 Calcarénite fine à ciment  
 de calcaires, roches  
 débris  
 Calcarénite rousse fine  
 intercalée de 4 lits de  
 Poudingues à ciment calcaire  
 de calcaires sénoniens  
 la partie supérieure  
 Sable calcaire  
 Sénonien - calcaire blanc



# Nummulitique

## EDUCH - EST

x = 951,45  
y = 191,92



Calcaire marneux bleuté desquameux  
discocyclina - polypiers  
Calcaire roux ; rares et petites gravelles  
ciment abondant de calcite  
discocyclina - milliolidae - lithotamniées  
arenacés - piquants d'oursins

Calcaire graveleux bleuté à ciment abondant,  
sans nummulite  
quartz

Calcarénite jaune fine à débris d'organismes très nbx  
très rares nummulites.

Calcarénite moyenne à gravelles sénoniennes nummulites nbx  
ciment calcite - débris de lithotamniées - bryozoaires  
Assilina

Calcarénite fine à ciment de calcite, gravelles anguleuses  
de calcaires, roches éruptives, calcédonite -  
débris de microcodium  
Lithotamniées  
Nummulites

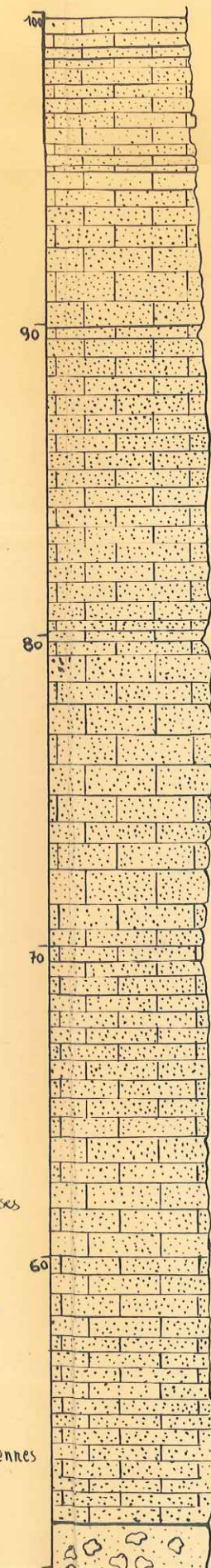
Calcarénite rousse fine (ciment de calcite - gravelles sénoniennes  
Lithotamn. bryoz. textularia -  
rares nummulites.)  
intercalée de lits de galets roulés sénonien -

Poudingues à ciment calcaréniteux ; galets arrondis

bleutés intermédiaires  
clines abondantes  
finement graveleux bleutés  
Assilines  
grandes nummulites  
finement graveleux  
ents de calcaire sénonien  
quartz  
na - rares Nummulite  
a - " Discocyclines  
ement graveleux (0,5mm) -  
lites - Discocyclines - milliolidae  
loborotalidae - Lithotamniées  
fine à nummulites - milliolidae  
débris de Discocyclines  
éments crétacés anguleux ou  
ent de calcite - quartz  
bes nummulites  
éments crétacés arrondis  
ossiers, mol classés - Ciment  
e, galets perforés  
onien (calcaire à radiolaires,  
canas) - perforation emplit  
ite = gravelles de Sénonien - quartz

## ROUAÏNE

(d'après Castelain (1956))



Calcarénite à nombreuses petites gravelles  
crétacées.

Banc de Calcarénite à éléments crétacés

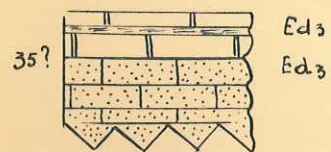
Calcarénite bleutée en bancs compacts

Poudingues à ciment calcaréniteux ; galets arrondis

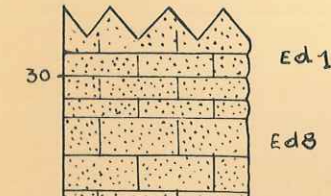


# EDUCH - EST

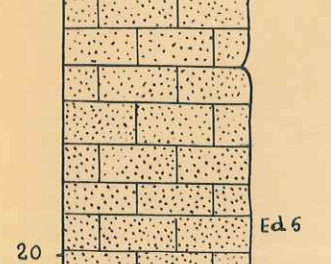
x = 951,45  
y = 191,92



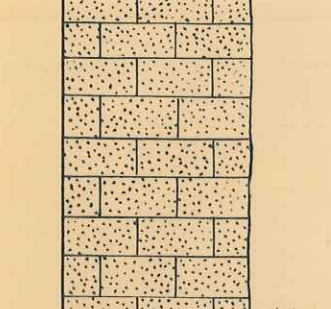
Ed3  
Ed3  
Calcaire marneux bleuté desquameux  
discocyclina - polypiers  
Calcaire roux ; rares et petites gravelles  
ciment abondant de calcite  
discocyclina - milliolidae - lithotamniées  
arénacés - piquants d'oursins



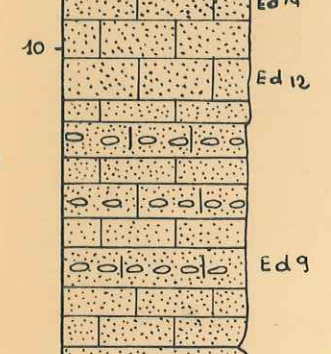
Ed1  
Ed8  
Calcaire graveleux bleuté à ciment abondant,  
sans nummulite  
quartz



Ed6  
Calcarénite jaune fine à débris d'organismes très nbx  
très rares nummulites.



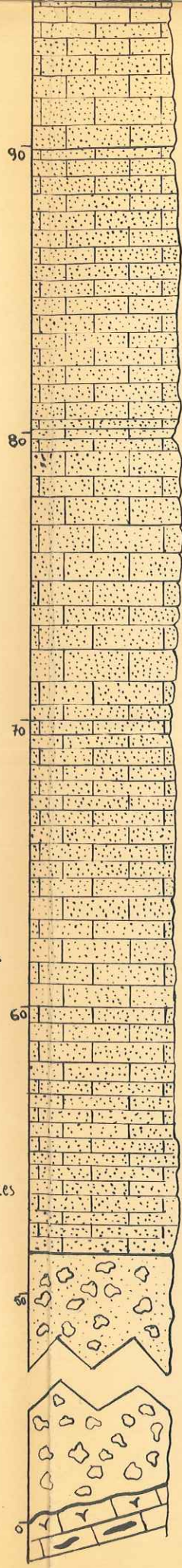
Ed14  
Ed12  
Calcarénite moyenne à gravelles sénoniennes nummulites nbx  
ciment calcite - débris de lithotamniées - bryozoaires  
Assilina  
Calcarénite fine à ciment de calcite, gravelles anguleuses  
de calcaires, roches eruptives, calcédonite -  
débris de microcodium  
Lithotamniées  
Nummulites



Ed9  
Calcarénite rousse fine (ciment de calcite - gravelles sénoniennes  
Lithotamn. bryoz. textularia -  
rares nummulites.)  
intercalée de lits de galets roulés sénonien -



Ed10  
Poudingues à ciment calcaréniteux ; galets arrondis  
de calcaires sénoniens ; galets perforés à  
la partie supérieure  
Sable calcaire  
Sénonien - calcaire blanc à silex spongiaires



Banc de Calcarénite à éléments crétacés

Calcarénite bleutée en bancs compacts

Poudingues à galets arrondis - ciment calcaréniteux

Poudingues à galets crétacés - ciment marneux

Sénonien : calcaires à silex spongiaires -



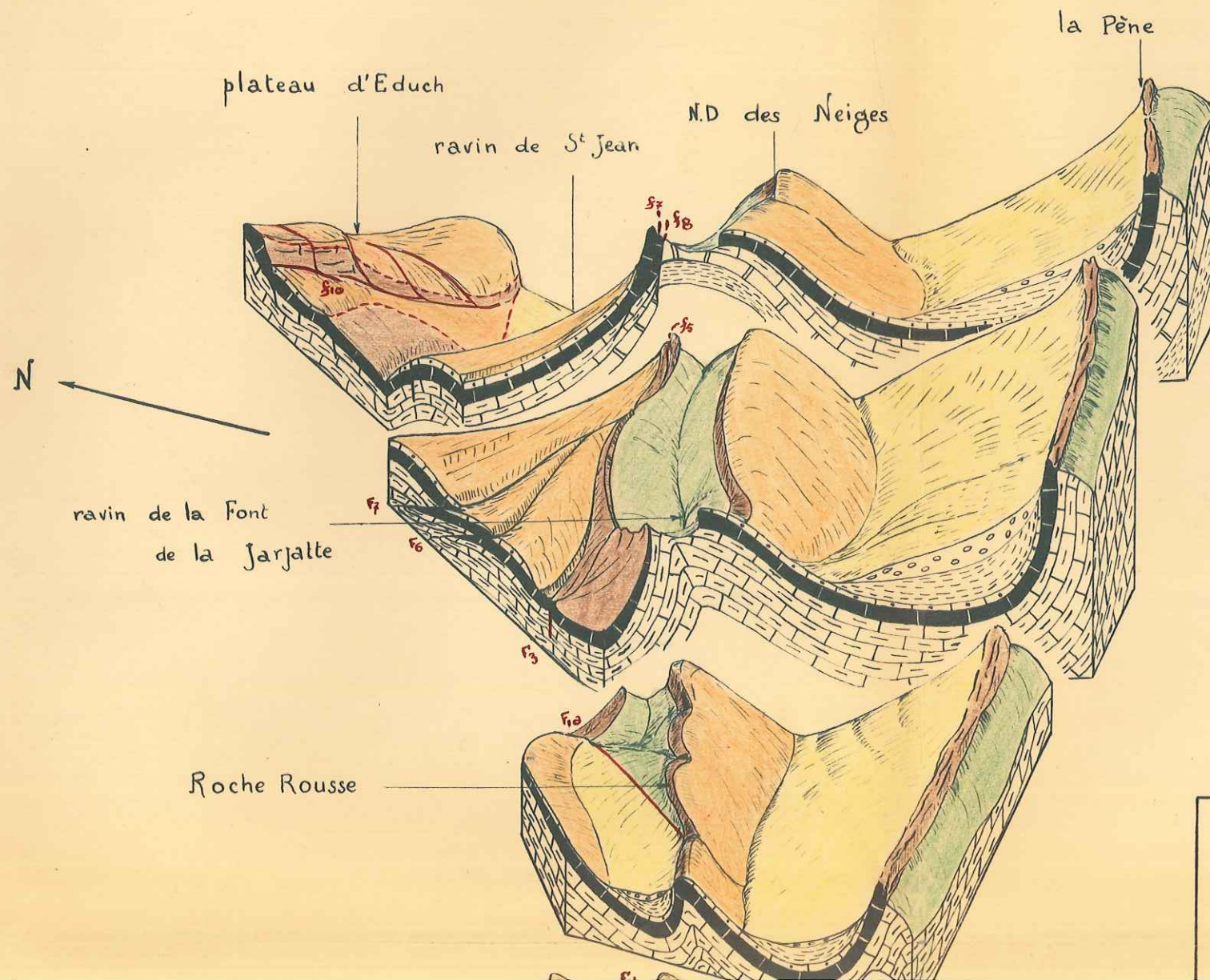
Laudine

# ROUAINE

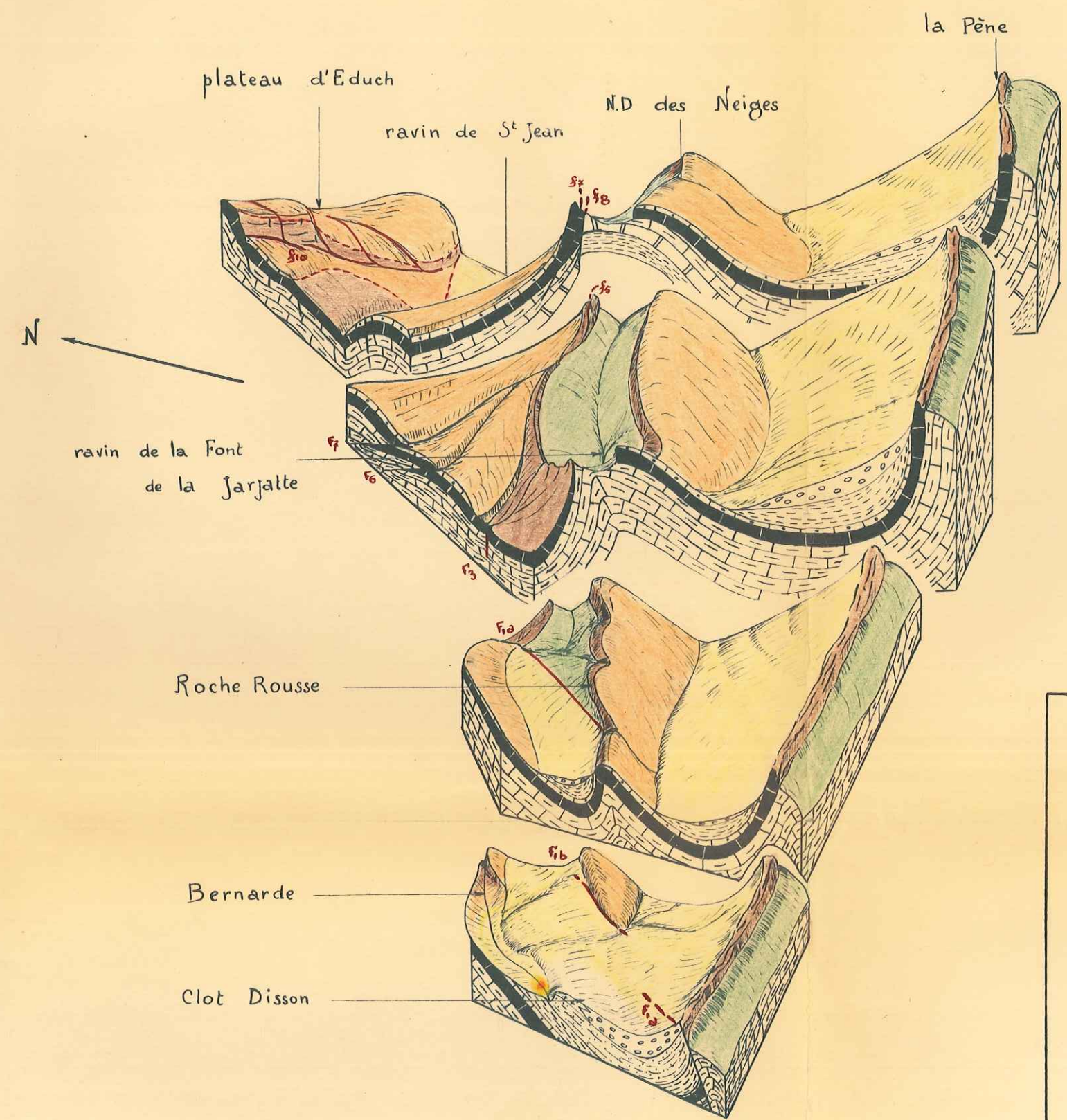
## bloc diagramme

partie est de la cuvette de Rouaine

vue de Rouainette







| legende |                   |
|---------|-------------------|
|         | Eboulis           |
|         | brèche consolidée |
|         | grès de Rouaine   |
|         | marnes bleues     |
|         | Calcaires         |
|         |                   |
|         | inférieurs        |
|         | senonien          |
|         | Cénomanien sup.   |

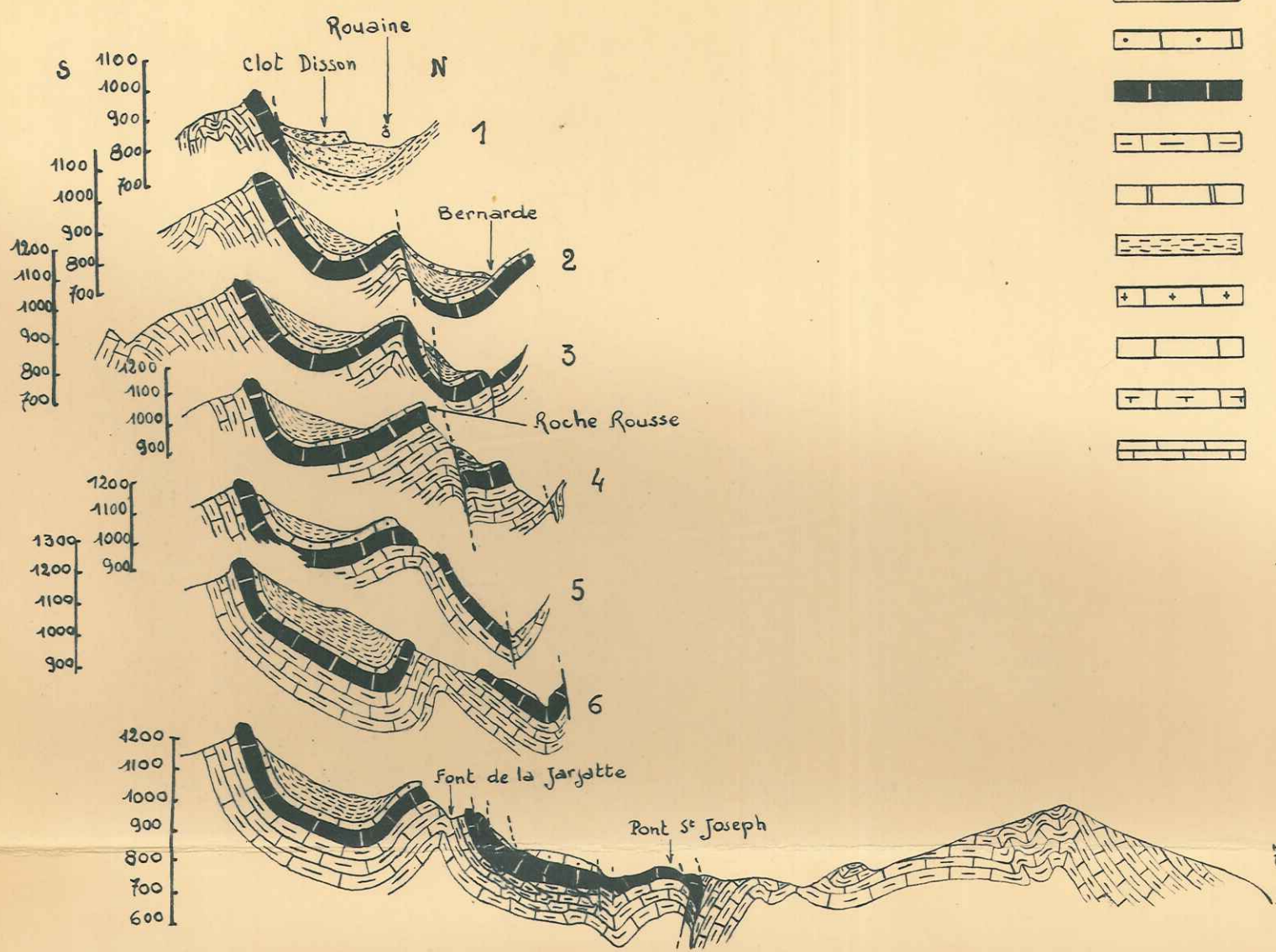


# ROUAÏNE LE PLAN D'ENTREVAUX

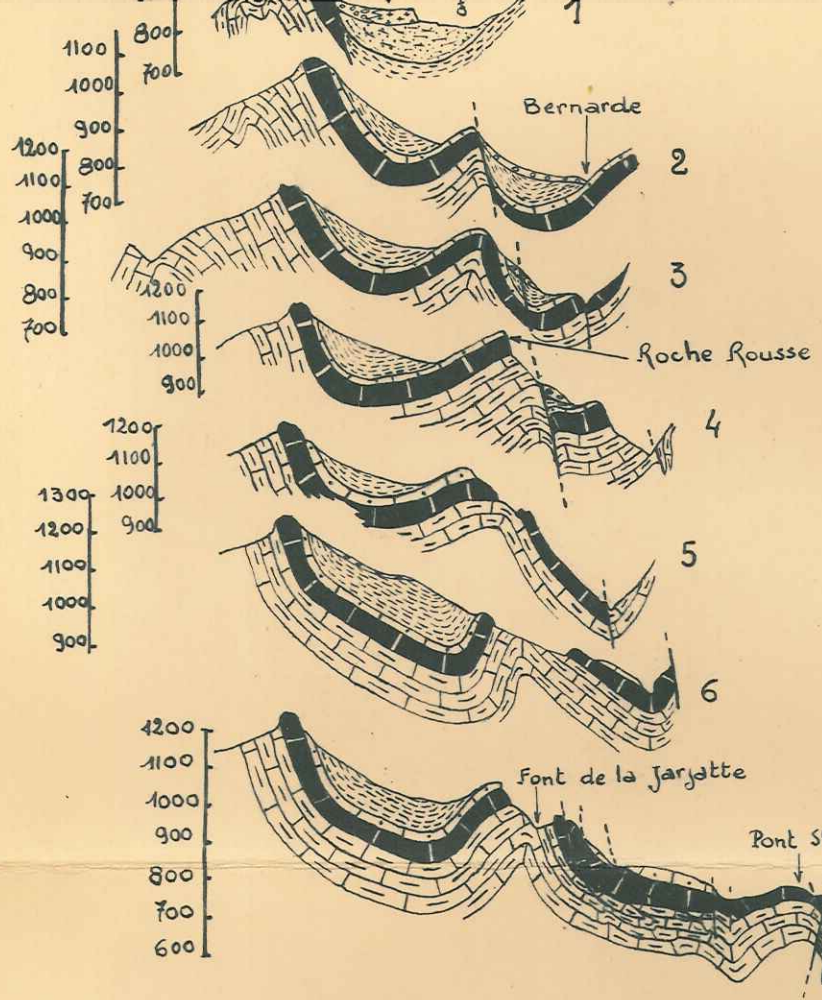
coupes s riees NS

 chelle 1/20.000

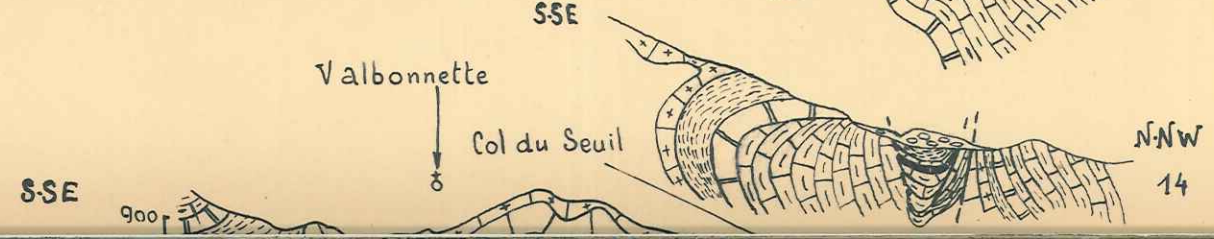
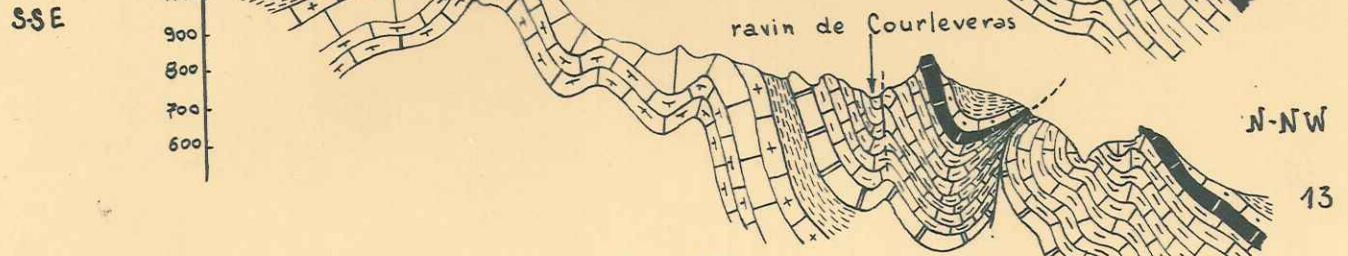
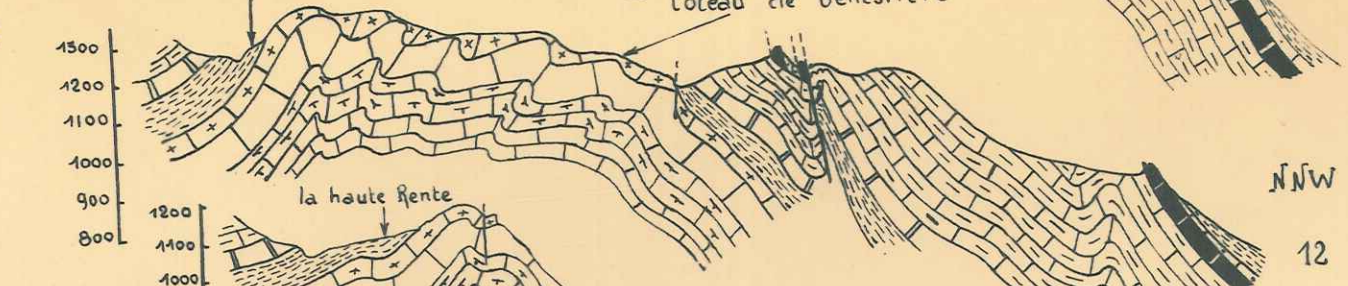
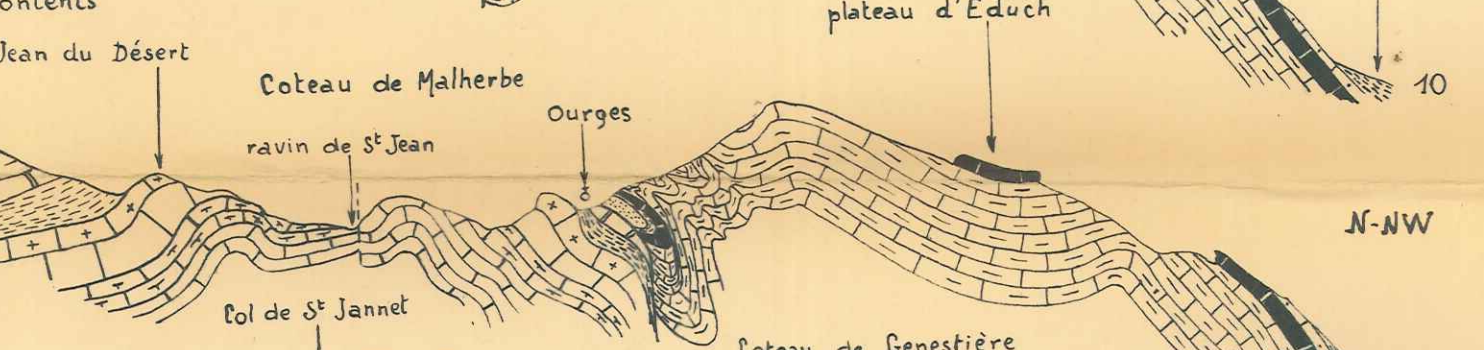
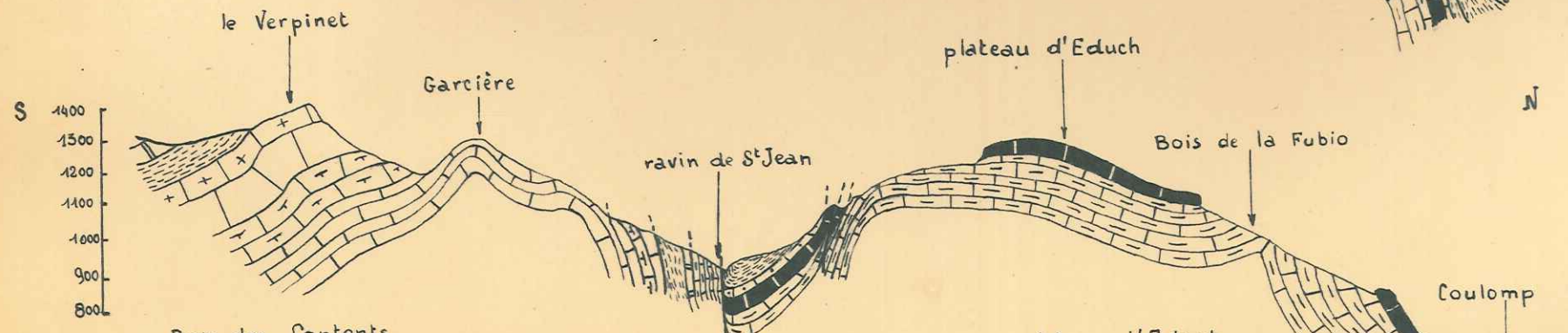
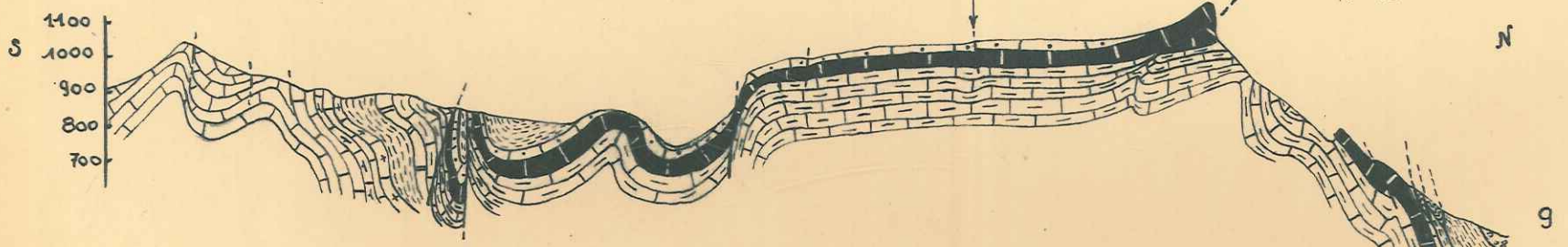
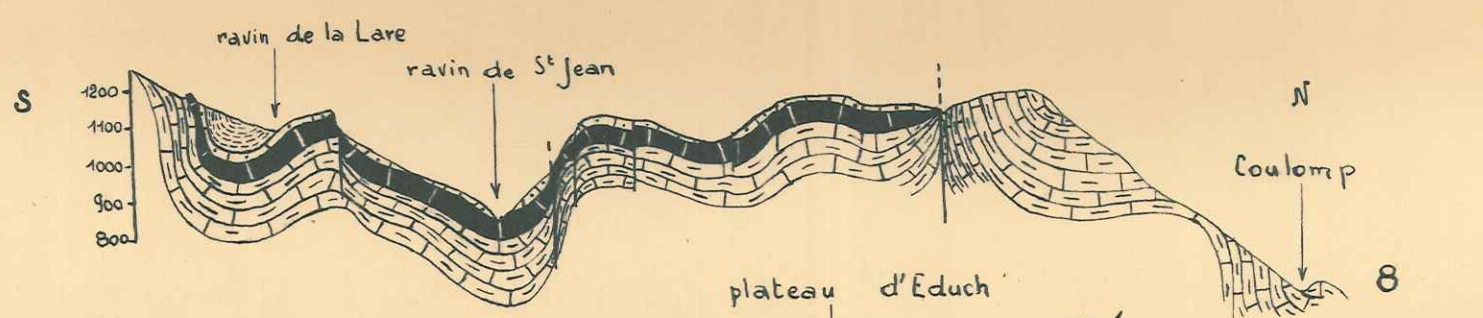
L gende





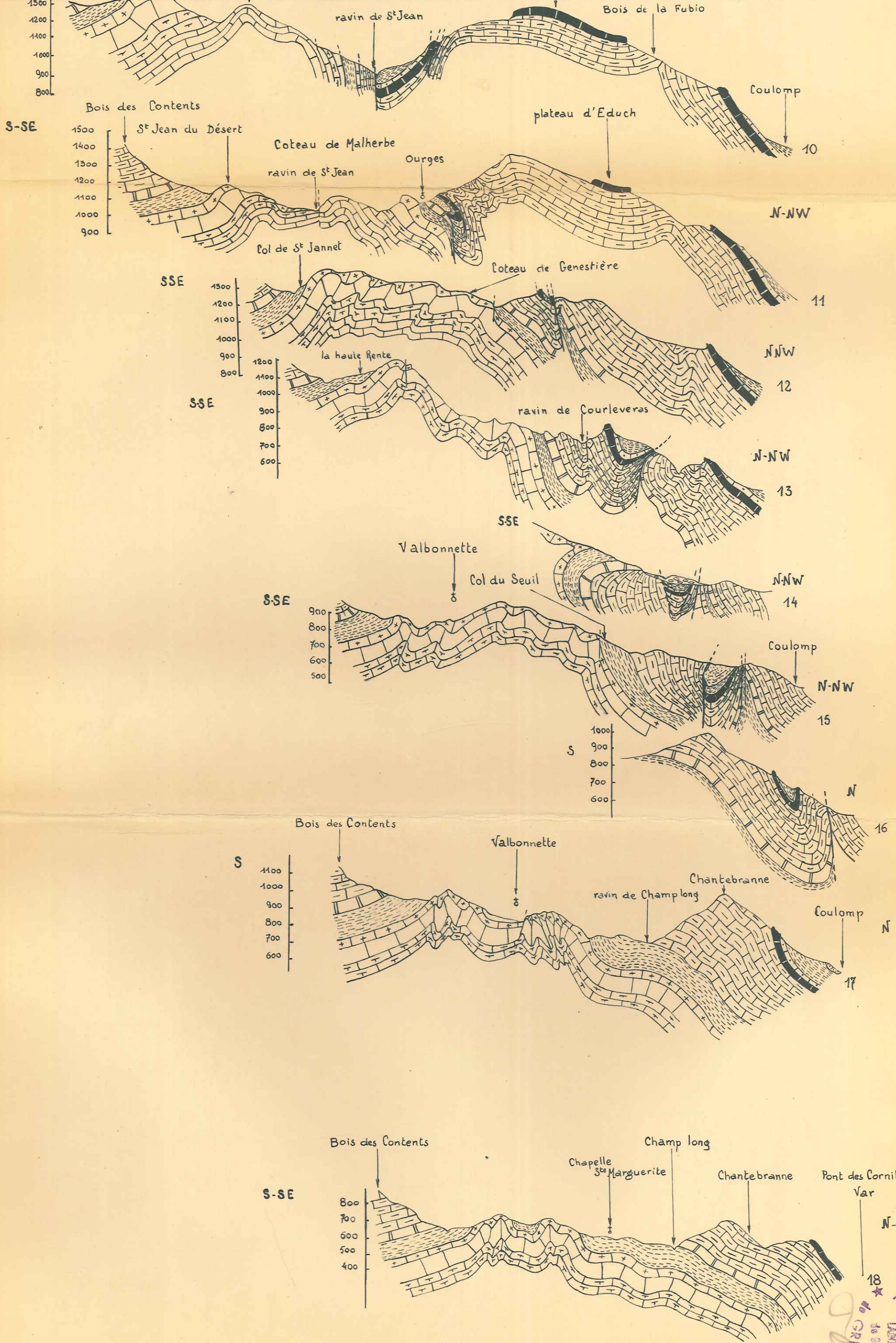


- Sénonien
- Cénomaniens sup. Turonien
- Aptien-Albien-Cénom. inf.
- Barrémien
- Hauterivien
- Valanginien
- Tithonique-Berriasien



Dardina





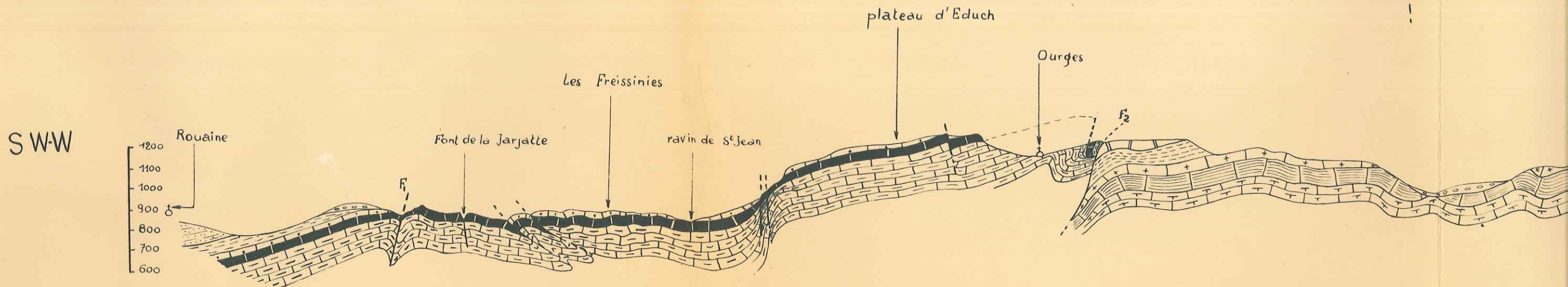
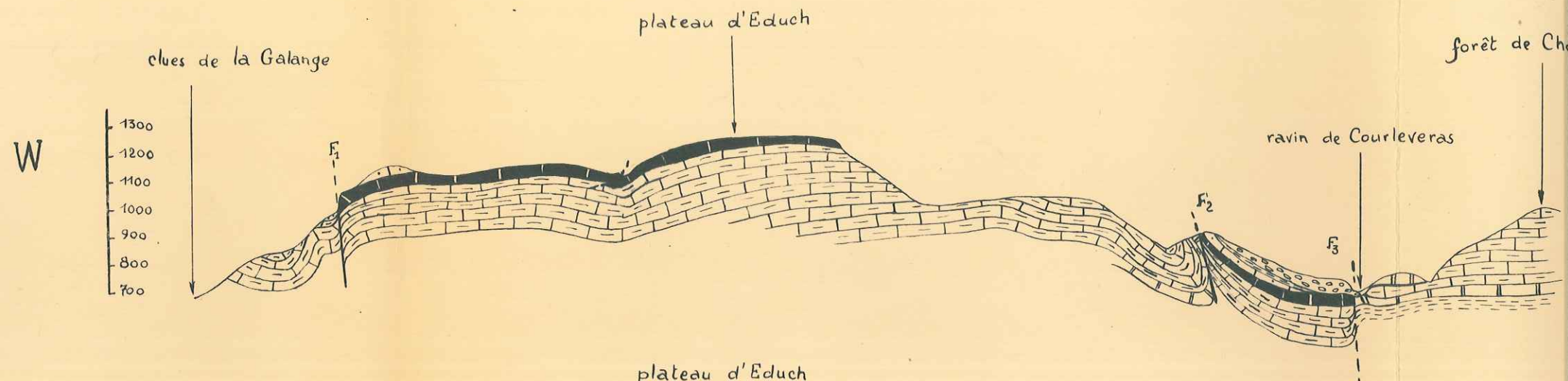
*Jardine*

18  
 FACULTE des SCIENCES  
 LABORATOIRE  
 de GEOLOGIE  
 de GRENOBLE  
 P. IV



coupes longitudinales Est-Ouest

1/20000

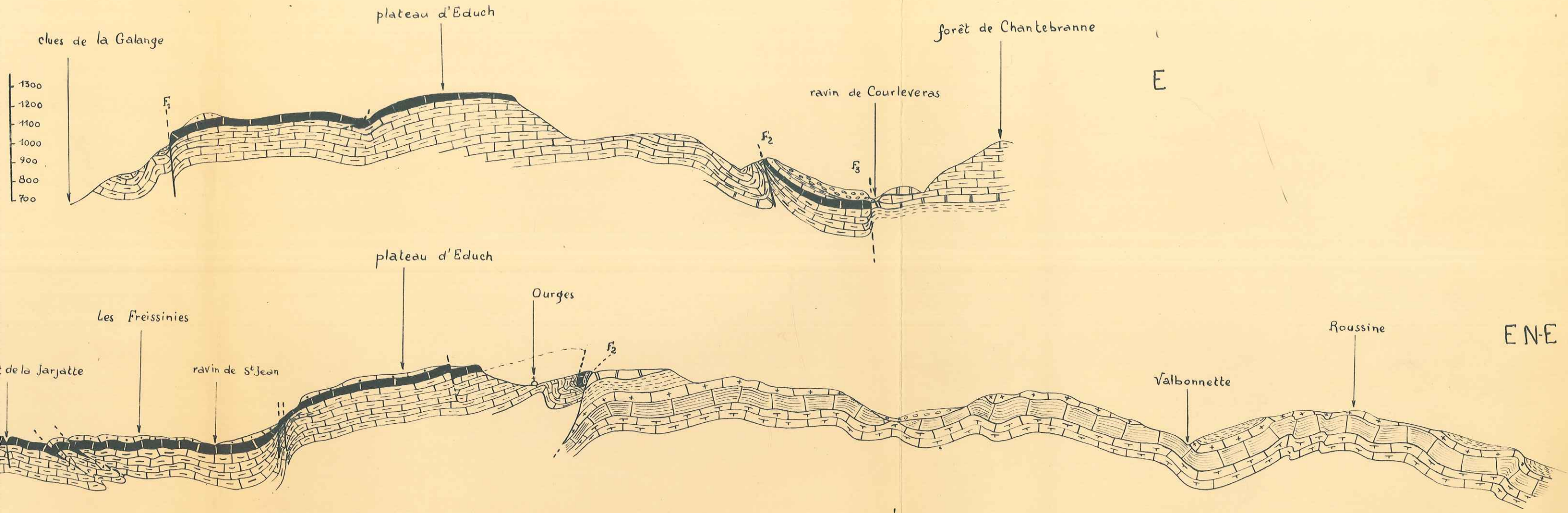




Jardin PI. I  
 FACULTÉ des SCIENCES  
 LABORATOIRE  
 de GÉOLOGIE  
 GRENOBLE

coupes longitudinales Est-Ouest

1/20000



Serge Jardiné 1957



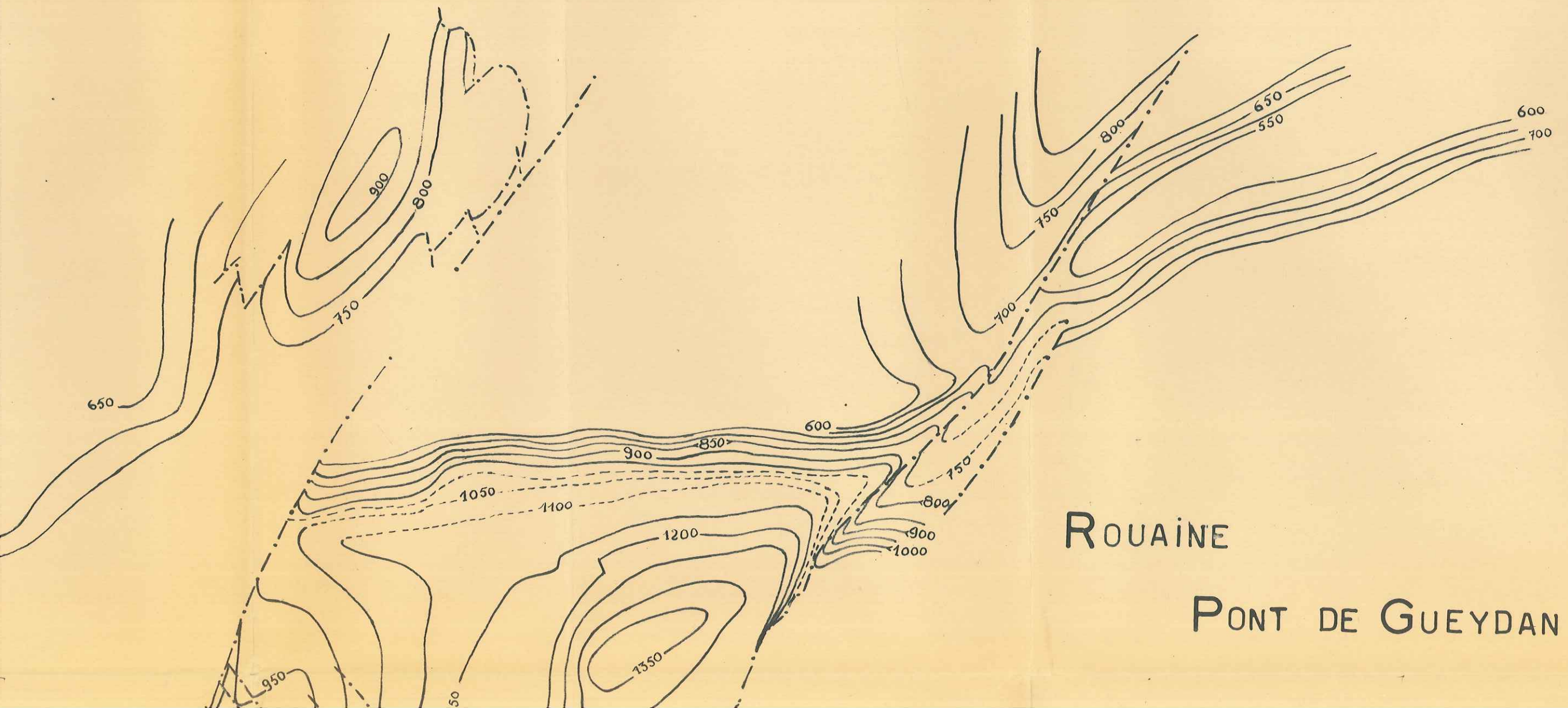
*Jardin* Pl. VI



# CARTE STRUCTURALE

1/20.000

## base du nummulitique



ROUAINE

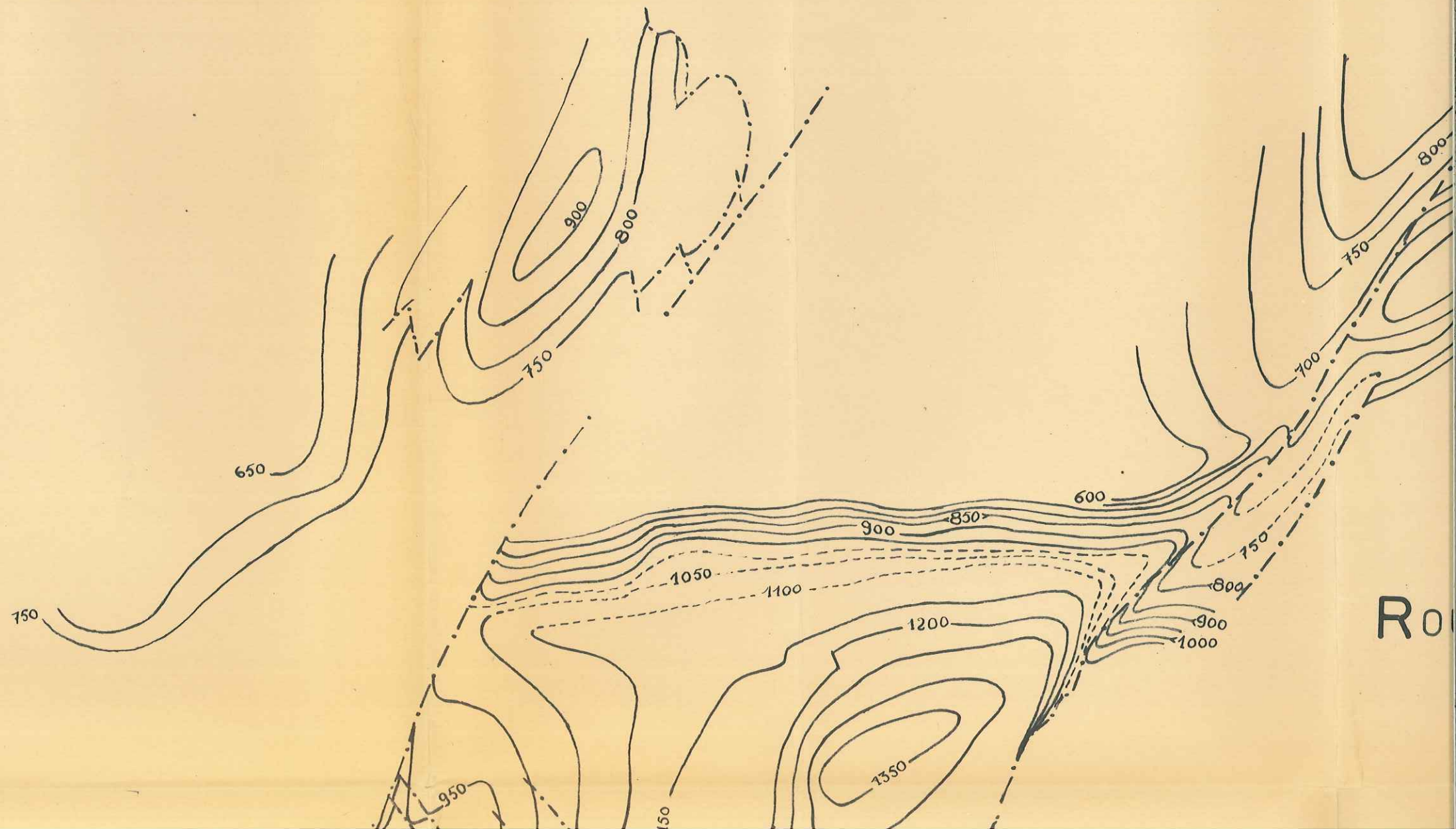
PONT DE GUEYDAN



# CARTE STRUCTURALE

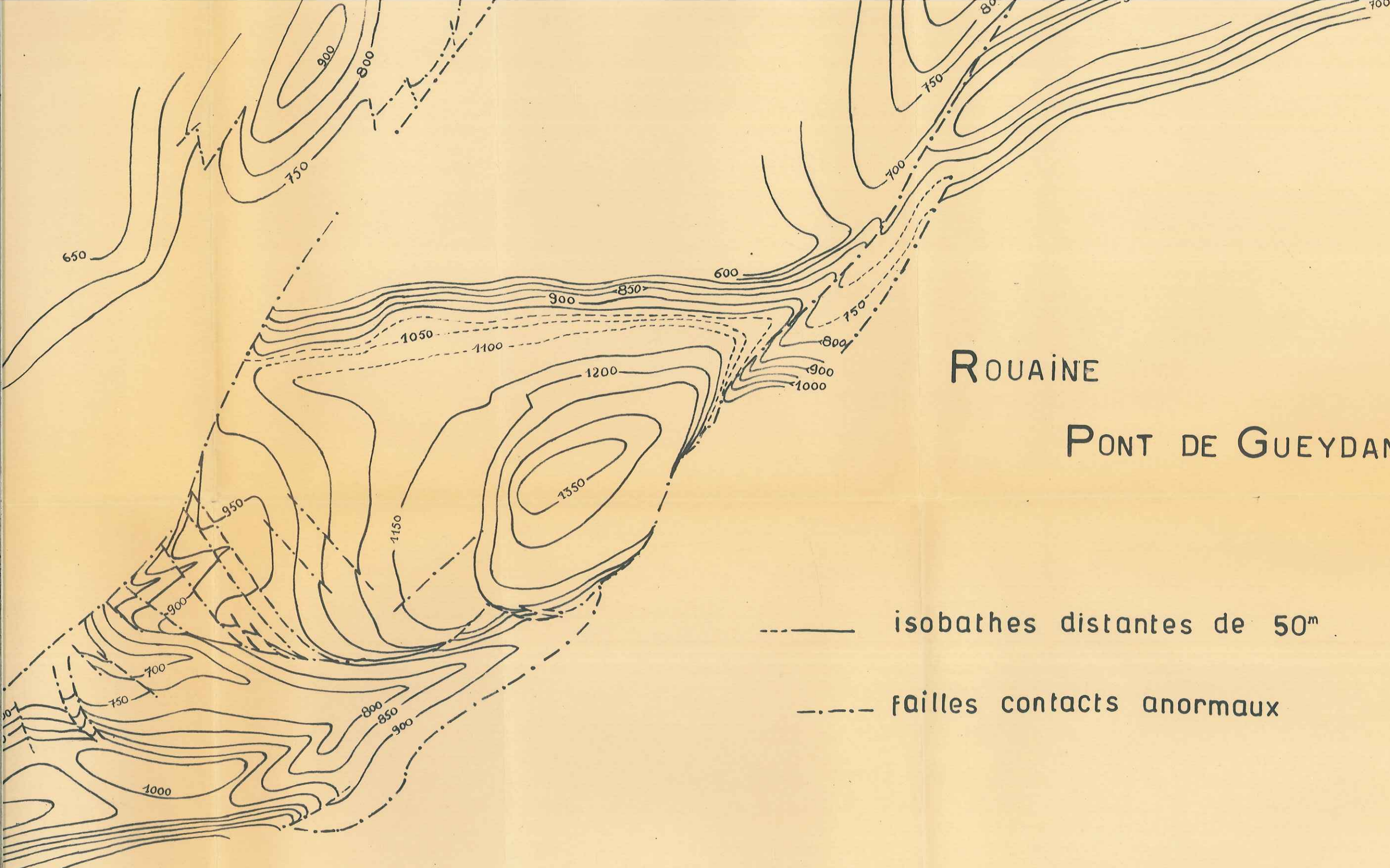
1/200

base du nummulitic



Ro



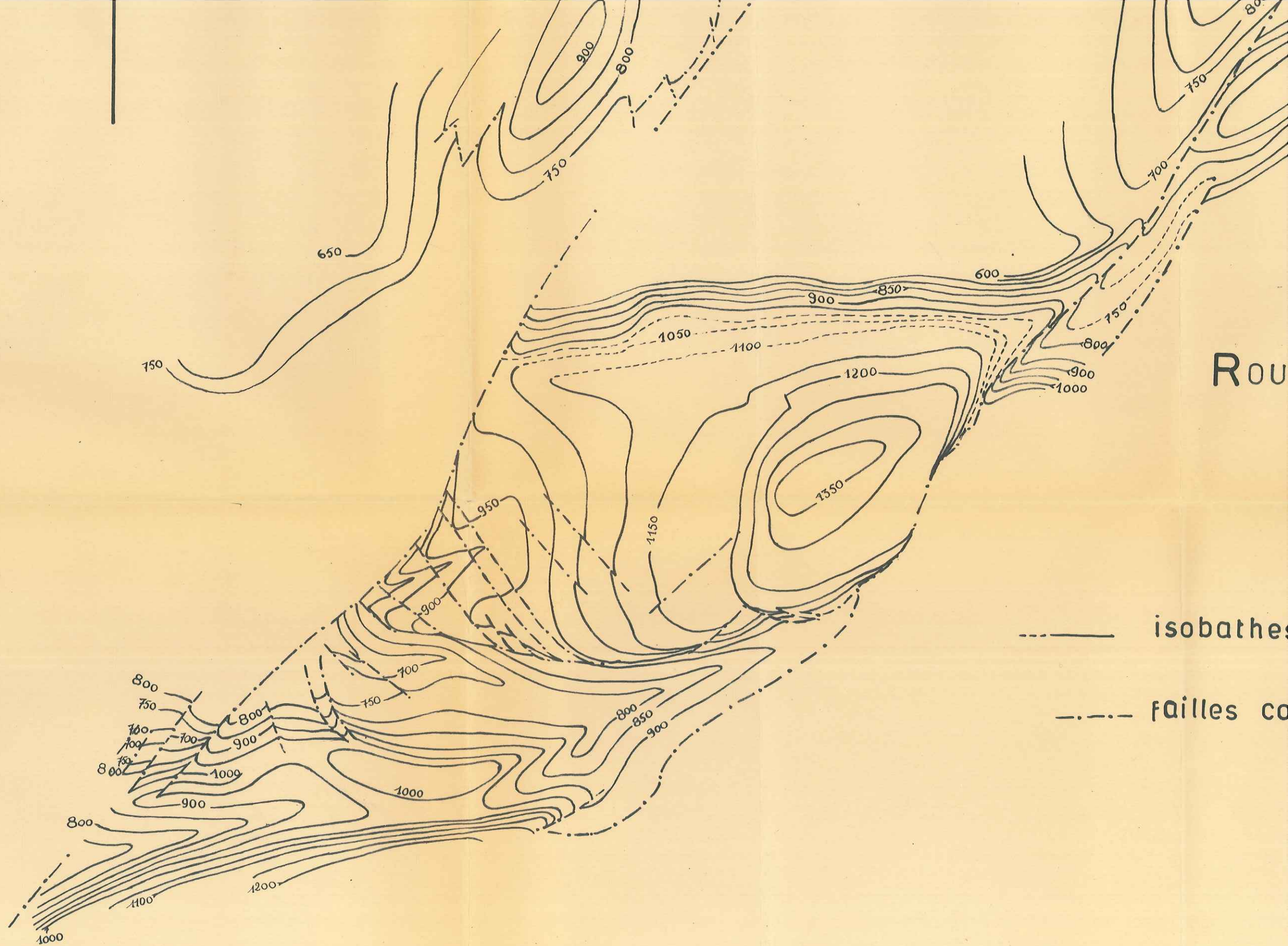


ROUAINE

PONT DE GUEYDAN

—— isobathes distantes de 50<sup>m</sup>  
- - - - failles contacts anormaux





Rou

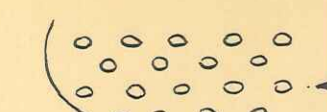
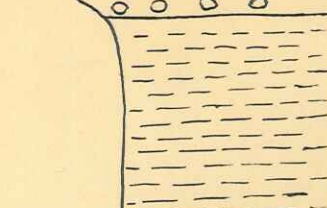
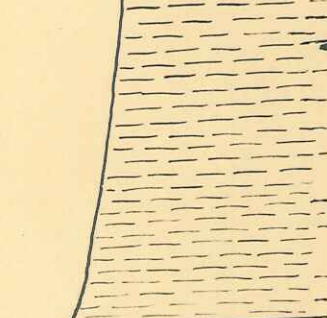
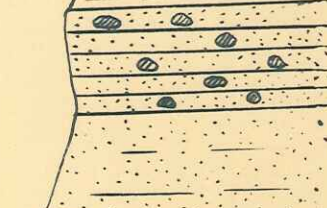
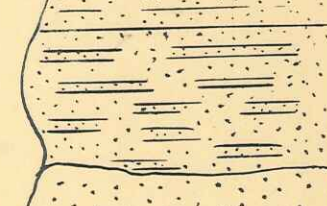
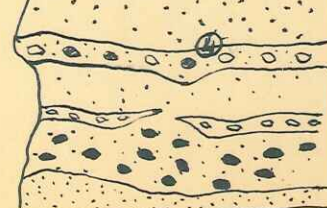
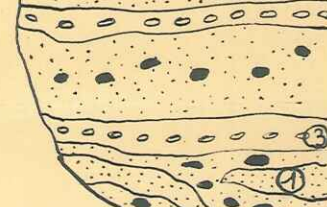
— isobathes  
- - - faïlles co



# SAUZERIES

## COUPE DU grès

echelle 1/200

| descriptions | macroscopique   | microscopique  | CO <sub>2</sub> Ca   | fos |
|--------------|---|--|--|-----|
|              |   |  |  |     |
| 140 -        |  <p>953 poudingue polygénique</p>  |  | 14,40 de CO <sub>2</sub> Ca  |     |
| 130 -        |  <p>954 marnes</p>   |  |  |     |
| 120 -        |  <p>grès en plaquettes, fins-galets de calcaires et de marnes - cinérites</p> <p>952 zone sableuse - sédimentation irrégulière</p>   | <p>- grès fin bien classé et lité<br/>ciment microcristallin, ferrugineux<br/>quartz très abondant, anguleux</p>   |  |     |
| 110 -        |  <p>951 grès fins en petits bancs réguliers</p>  | <p>- grès fin bien classé, éléments variés, anguleux. ciment calcaire<br/>quartz altérés à inclusions<br/>nbx plagioclases, calcédonite<br/>biotite, muscovite</p> | 18,2% CO <sub>2</sub> Ca   |     |
|              |  <p>950 sable roux altéré</p>  | <p>- grès sableux à éléments polygéniques - Ciment de calcite microcristalline ou en plages.</p>   | <p>Andalousite 5<br/>Staurot. 19<br/>grenat 36<br/>glauco-ph. 1<br/>rutile 17<br/>tourmaline 9<br/>zircon 12<br/>apatite 1</p> |     |
|              |  <p>949 série détritique grossière</p> <p>- 1 lentilles de sable roux, consolidé, moyen-</p> <p>- 2 sable roux enrobant des éléments grossiers (20 à 40 cm).</p> <p>- 3. Lits de poudingues mal stratifiés, mal classés, polygéniques, à éléments surtout calcaires, arrondis.</p> | <p>Eléments mal classés :<br/>quartz altérés - plagioclases altérés<br/>calcédonite - galets de calcaire</p>   |  |     |
|              |  <p>948</p> <p>947</p> <p>946</p> <p>- 4 poudingues à éléments mal classés, calcaires - silex galets de marnes -</p>   | <p>galets calcaires</p> <p>-947. Andalousite 5%<br/>staurotide 28<br/>grenat 30<br/>glauco-phane 2<br/>rutile 17<br/>tourmaline 9<br/>zircon 9</p>                 | 21,8% CO <sub>2</sub> Ca   |     |



# SAUZERIES

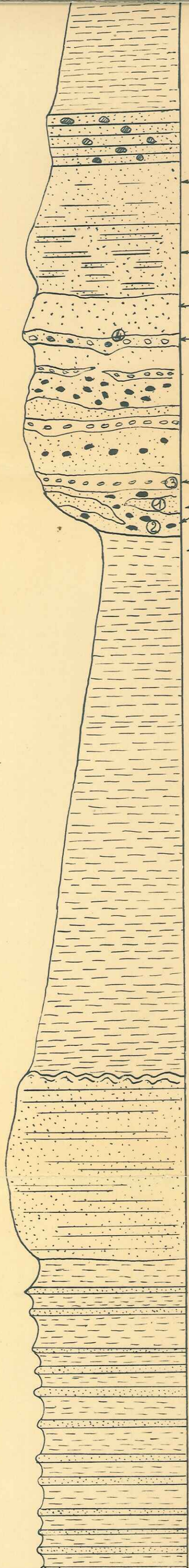
## COUPE DU grès

echelle 1/200

| ns | macroscopique   | microscopique   | CO <sub>2</sub> Ca   | fossiles |
|----|---|---|--|----------|
|    |   |   |  |          |
|    | <p>953 poudingue polygénique</p>  |   | 14,40 de CO <sub>2</sub> Ca  |          |
|    | <p>954 marnes</p>   |   |  |          |
|    | <p>grès en plaquettes, fins-galets de calcaires et de marnes - cinérites</p>  | <p>- grès fin bien classé et lité<br/>ciment microcristallin, ferrugineux<br/>quartz très abondant, anguleux</p>  |  |          |
|    | <p>952 zone sablonneuse - sédimentation irrégulière</p>   |   |  |          |
|    | <p>951 grès fins en petits bancs réguliers</p>  | <p>- grès fin bien classé, éléments ronds, anguleux. ciment calcaire<br/>quartz altérés à inclusions<br/>nbx plagioclases, calcédonite<br/>biotite, muscovite</p>   | 18,2% CO <sub>2</sub> Ca   |          |
|    | <p>950 sable roux altéré</p>  | <p>- grès sableux à éléments polygéniques - Ciment de calcite microcristalline ou en plages.<br/>Eléments mal classés:<br/>quartz altérés - plagioclases altérés<br/>calcédonite - galets de calcaire</p> | <p>Andalousite 5<br/>Staurot. 19<br/>grenat 36<br/>glaucof. 1<br/>rutile 17<br/>tourmaline 9<br/>zircon 12<br/>apatite 1</p> |          |
|    | <p>949 série débris grossière</p> <ul style="list-style-type: none"> <li>- 1 lentilles de sable roux, consolidé, moyen-</li> <li>- 2 sable roux enrobant des éléments grossiers (20 à 40cm).</li> <li>- 3. Lits de poudingues mal stratifiés, mal classés, polygéniques, à éléments surtout calcaires, arrondis.</li> </ul> | <p>galets calcaires</p>   |  |          |
|    | <p>948 - 4 poudingues à éléments mal classés, calcaires - silex<br/>galets de marnes -</p>  | <p>- 947. Andalousite 5%<br/>staurotide 28<br/>grenat 30<br/>glaucofane 2<br/>rutile 17<br/>tourmaline 9<br/>zircon 9</p>   | 21,8% CO <sub>2</sub> Ca   |          |



130 -  
120 -  
110 -  
100 -  
90 -  
80 -  
70 -  
60 -  
50 -



952  
951  
950  
949  
948  
947  
946  
945  
944  
943  
942  
941b  
K 941

grès en plaquettes, fins-  
galets de calcaires et  
de marnes - cinérites

zone sablonneuse -  
sédimentation  
irrégulière

grès fins en petits bancs  
réguliers

sable roux altéré  
série détritique grossière

- 1 lentilles de sable roux,  
consolidé, moyen-
- 2 sable roux enrobant  
des éléments grossiers  
(20 à 40 cm).

- 3. Lits de poudingues  
mal stratifiés, mal classés,  
polygéniques, à éléments  
surtout calcaires, arrondis.

- 4 poudingues à éléments  
mal classés, calcaires - silex  
galets de marnes -

Marnes gréseuses  
brunâtre

grès en plaquettes  
et grès fins en petits bancs  
restes de plantes -

surfaces gaufrées à la partie  
supérieure -

zone tendre - alternance de  
marnes et de quelques petits  
bancs de grès fins.

- grès fin bien classé et lité  
ciment microcristallin, ferrugineux  
quartz très abondant, anguleux

- grès fin bien classé, éléments r  
vulnérables, anguleux. ciment calcaire  
quartz altérés à inclusions  
nbx plagioclases. calcédonite  
biotite muscovite  
- grès sableux à éléments polygé-  
niques - Ciment de calcite micro-  
cristalline ou en plages.

Eléments mal classés:  
quartz altérés - plagioclases altérés  
calcédonite - galets de calcaire

galets calcaires  
-947. Andalousite 5%  
staurotide 28  
grenat 30  
glaucothane 2  
rutile 17  
tourmaline 9  
zircon 9

- calcaire gréseux - ciment microcristallin  
quartz fins anguleux - plagioclases  
- grès fin à ciment calcaire micro-  
cristallin. quartz anguleux assez  
rare - galets de calcaire  
biotite en lamelles allongées  
plagioclases altérés  
quartz ext. roulante

941b augmentation du ciment  
calcaire grès fin à ciment de calcite  
microcristallin et largement cristal-  
liné. quartz anguleux bien  
classés. galets de calcaire -  
quartz roulante. muscovite  
glauconie

18,2%  $CO_2Ca$

Andalousite 5  
Staurot. 19  
grenat 36  
glaucoth. 1  
rutile 17  
tourmaline 9  
zircon 12  
apatite 1

21,8%  $CO_2Ca$

25%

{ Urige  
{ Hopki

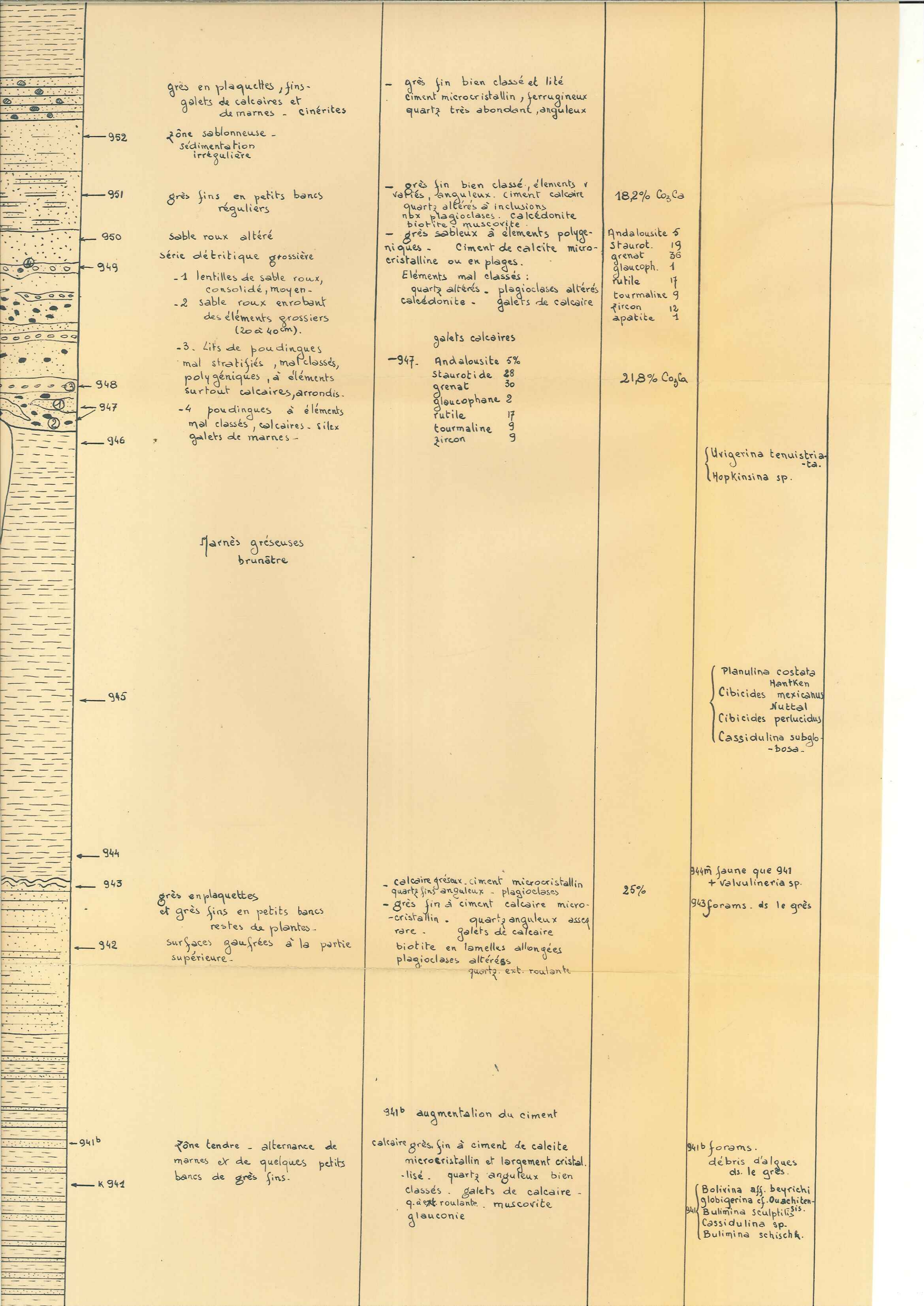
{ Pla  
{ Cib  
{ Cib  
{ Cas

944m jau  
+ val  
943 forar

941b for  
déb

{ Boliv  
globia  
Bulim  
Cassi  
Bulim





grès en plaquettes, fins-galets de calcaires et de marnes - cinérites

- grès fin bien classé et lité  
ciment microcristallin, ferrugineux  
quartz très abondant, anguleux

952

zone sablonneuse - sédimentation irrégulière

- grès fin bien classé, éléments variés, anguleux. ciment calcaire  
quartz altérés à inclusions  
nbx plagioclases. calcédonite  
biotite muscovite

18,2%  $CO_2$  Ca

951

grès fins en petits bancs réguliers

950

sable roux altéré

- grès sableux à éléments polygéniques - Ciment de calcite microcristalline ou en plages.

Andalousite 5  
Staurot. 19  
grenat 36  
glauco-ph. 1  
rutilé 17  
tourmaline 9  
zircon 12  
apatite 1

949

série détritique grossière

Eléments mal classés:  
quartz altérés - plagioclases altérés  
calcédonite - galets de calcaire

948

- 1 lentilles de sable roux, consolidé, moyen.  
- 2 sable roux enrobant des éléments grossiers (20 à 40 cm).  
- 3. Lits de poudingues mal stratifiés, mal classés, polygéniques, à éléments surtout calcaires, arrondis.

galets calcaires

- 947. Andalousite 5%  
Staurotide 28  
grenat 30  
glauco-phane 2  
rutilé 17  
tourmaline 9  
zircon 9

21,8%  $CO_2$  Ca

947

- 4 poudingues à éléments mal classés, calcaires - silex  
galets de marnes -

946

Marnes gréseuses brunâtre

{ *Ungerina tenuistriata*  
-ta.  
*Hopkinsina* sp.

945

{ *Planulina costata*  
Hantken  
*Cibicides mexicanus*  
Nuttall  
*Cibicides perlucidus*  
*Cassidulina subglobosa*

944

943

grès en plaquettes et grès fins en petits bancs restes de plantes.

- calcaire gréseux. ciment microcristallin  
quartz fins anguleux - plagioclases  
- grès fin à ciment calcaire microcristallin. quartz anguleux assez rare - galets de calcaire  
biotite en lamelles allongées  
plagioclases altérés  
quartz ext. roulante

25%

944m jaune que 941 + *Valvulinaria* sp.  
943 forams. ds le grès

942

surfaces gaufrées à la partie supérieure.

941b augmentation du ciment

941b

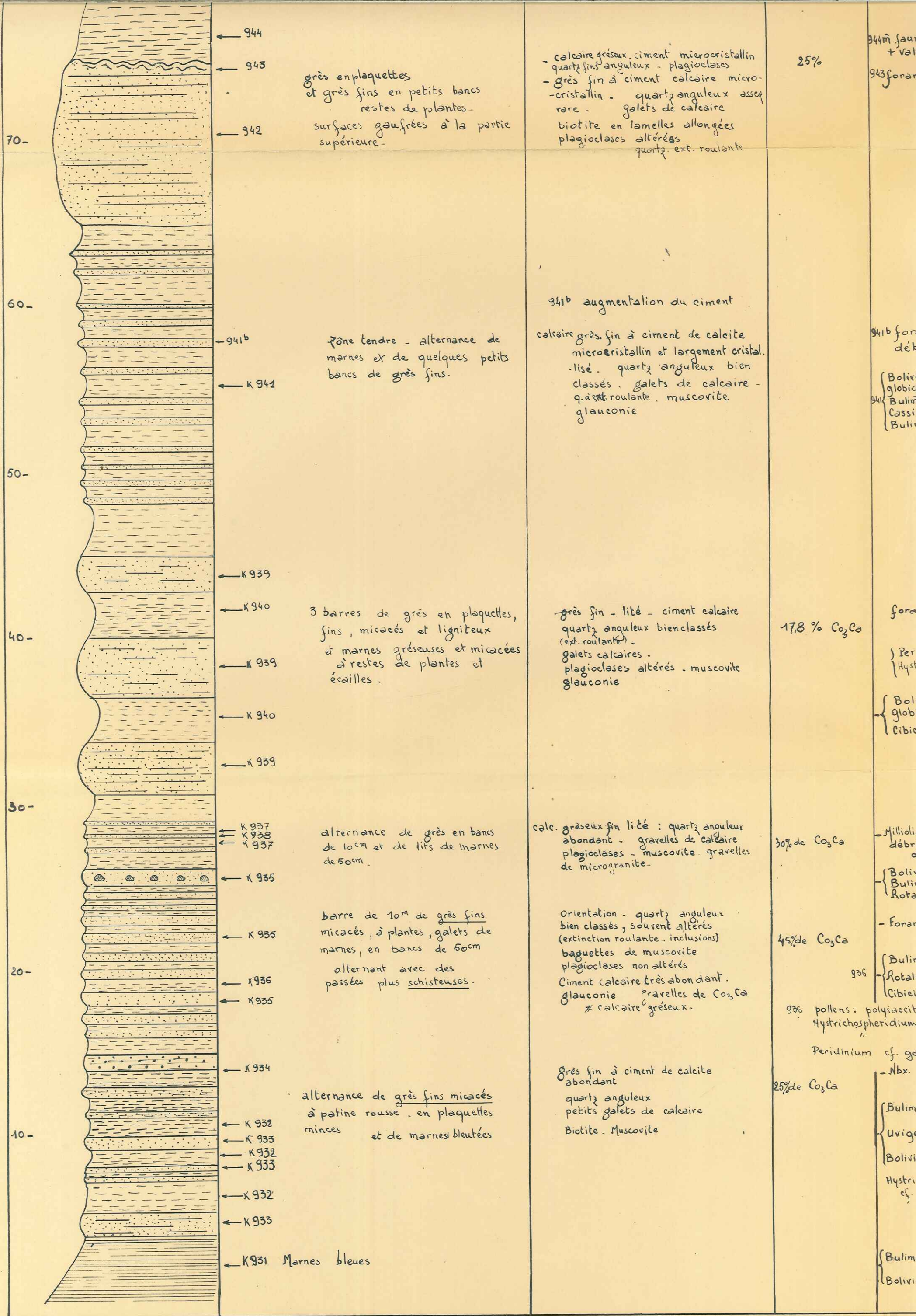
zone tendre - alternance de marnes et de quelques petits bancs de grès fins.

calcaire grès fin à ciment de calcite microcristallin et largement cristallisé. quartz anguleux bien classés. galets de calcaire - quartz roulante. muscovite  
glauconie

941b forams.  
débris d'algues ds. le grès.  
{ *Bolivina* aff. *beyrichi*  
*globigerina* cf. *Ouachiten-*  
*Bulimina sculptilis*  
*Cassidulina* sp.  
*Bulimina schischk.*

941







|                               |   |  |                 |   |
|-------------------------------|---|--|-----------------|---|
| ← 944                         |   |  |                 |   |
| ← 943                         | grès en plaquettes<br>et grès fins en petits bancs<br>restes de plantes.  | - calcaire gréseux ciment microcristallin<br>quartz fins anguleux - plagioclases<br>- grès fin à ciment calcaire micro-<br>- cristallin. quartz anguleux assez<br>rare - galets de calcaire<br>biotite en lamelles allongées<br>plagioclases altérés<br>quartz ext. roulante | 25%             | 944m jaune que 941<br>+ Valvulinaria sp.<br>943 forams. ds le grès  |
| ← 942                         | surfaces gaufrées à la partie<br>supérieure.  |  |                 |   |
| ← 941b                        | zone tendre - alternance de<br>marnes et de quelques petits<br>bancs de grès fins.  | 941b augmentation du ciment<br>calcaire grès fin à ciment de calcite<br>microcristallin et largement cristal-<br>- lisé. quartz anguleux bien<br>classés. galets de calcaire -<br>q. ext. roulante. muscovite<br>glauconie   |                 | 941b forams.<br>débris d'algues<br>ds. le grès.<br>{ Bolivina aff. beyrichi<br>globigerina cf. Ouachiten-<br>941c Bulimina sculptilis<br>Cassidulina sp.<br>Bulimina schischk.  |
| ← K 941                       |   |  |                 |   |
| ← K 939                       |   |  |                 |   |
| ← K 940                       | 3 barres de grès en plaquettes,<br>fins, micacés et ligniteux<br>et marnes gréseuses et micacées<br>à restes de plantes et<br>écailles.   | grès fin - lité - ciment calcaire<br>quartz anguleux bien classés<br>(ext. roulante) -<br>galets calcaires.<br>plagioclases altérés - muscovite<br>glauconie   | 17,8 % $CO_2Ca$ | foraminifères<br>{ Peridiniens<br>Hystrichosphères<br><br>{ Bolivina aff. beyrichi<br>globigerina cf.<br>ouachitensis<br>Cibicides sp. 1  |
| ← K 939                       |   |  |                 |   |
| ← K 940                       |   |  |                 |   |
| ← K 939                       |   |  |                 |   |
| ← K 937<br>← K 938<br>← K 937 | alternance de grès en bancs<br>de 10cm et de lits de marnes<br>de 50cm.   | calc. gréseux fin lité : quartz anguleux<br>abondant - gravelles de calcaire<br>plagioclases - muscovite. gravelles<br>de microgranite.  | 30% de $CO_2Ca$ | - Milliolidae - globigerina<br>débris d'algues.<br>ds le grès<br>{ Bolivina aff. beyrichi<br>Bulimina schischk.<br>Rotalia sp.  |
| ← K 935                       | barre de 10m de grès fins<br>micacés, à plantes, galets de<br>marnes, en bancs de 50cm<br>alternant avec des<br>passées plus schisteuses. | Orientation - quartz anguleux<br>bien classés, souvent altérés<br>(extinction roulante - inclusions)<br>baguettes de muscovite<br>plagioclases non altérés<br>Ciment calcaire très abondant.<br>glauconie gravelles de $CO_2Ca$<br>≠ calcaire gréseux.                       | 45% de $CO_2Ca$ | - Foraminifères ds. grès<br>936 { Bulimina schischkinshye<br>Rotalia dentata var. parva<br>Cibicides sp. 1<br>936 pollens: polyaccites - dissaccites<br>Hystrichospheridium cf. hystrichodinium<br>" malleoferum white<br>Peridinium cf. galeatum Ly. carp.                           |
| ← K 935                       |   |  |                 |   |
| ← K 934                       | alternance de grès fins micacés<br>à patine rousse - en plaquettes<br>minces et de marnes bleutées  | Grès fin à ciment de calcite<br>abondant<br>quartz anguleux<br>petits galets de calcaire<br>Biotite. Muscovite   | 25% de $CO_2Ca$ | - Nbx. foraminifères<br>ds. le grès<br>{ Bulimina schischkinshye<br>Samoilova<br>Uvigerina aff. tenui-<br>- striata Reuss<br>Bolivina aff. beyrichi<br>Hystrichospheridium<br>cf. hystrichodinium<br>Defl.<br><br>{ Bulimina sculptilis<br>Cushman<br>Bolivina aff. beyrichi<br>Reuss |
| ← K 932                       |   |  |                 |   |
| ← K 933                       |   |  |                 |   |
| ← K 932                       |   |  |                 |   |
| ← K 933                       |   |  |                 |   |
| ← K 932                       |   |  |                 |   |
| ← K 933                       |   |  |                 |   |
| ← K 931                       | Marnes bleues   |  |                 |   |



S. Jardine 57

# ENTREVAUX N° 7

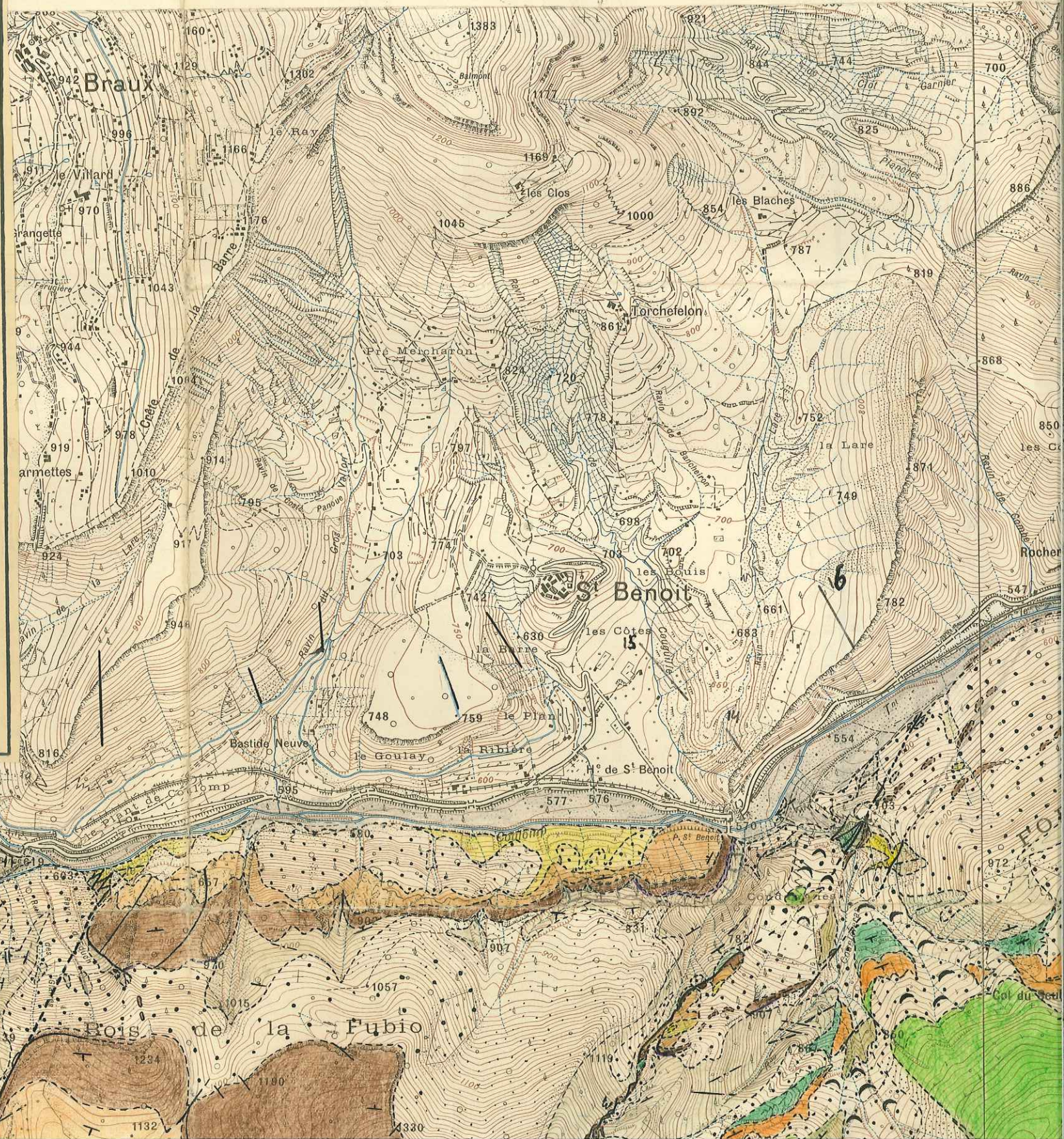
S. Jardine

ENTREVAUX N° 3

CARROYAGE KILOMÉTRIQUE PROJECTION LAMBERT III ZONE SUD

## légende

- |   |  |  |  |
|---|--|--|--|
|   | éboulis sur place  |  | hauterivien  |
|   | éboulis  |  | valanginien  |
|   | alluvions  |  | tithonique   |
| 1 | grès d'Annot   |  | galets sénoniens ds. la barre nummulitique                                       |
|   | grès d'Annot avec marnes                                 |  | affleurements couverts (sous leurs propres éboulis - prairies - cultures - bois) |
| 2 | marnes bleues  |  | éboulis  |
| 3 | calcaire intermédiaire                                   |  | terrasse alluviale   |
| 4 | calcaire nummulitique                                    |  | brèche consolidée  |
| 6 | poudingue  |  | contours géologiques   |
|   | crétacé supérieur Sénonien surcharge = Sénonien normand. |  | contacts anormaux  |
|   | cenomanien supérieur-Turon                               |  | glissements de terrain.  |
|   | marnes noires  |  |  |
|   | barrémien  |  |  |



ENTREVAUX N° 6

RE MET  
d'Entrevaux 3  
par Annecy



S. Jardine 57

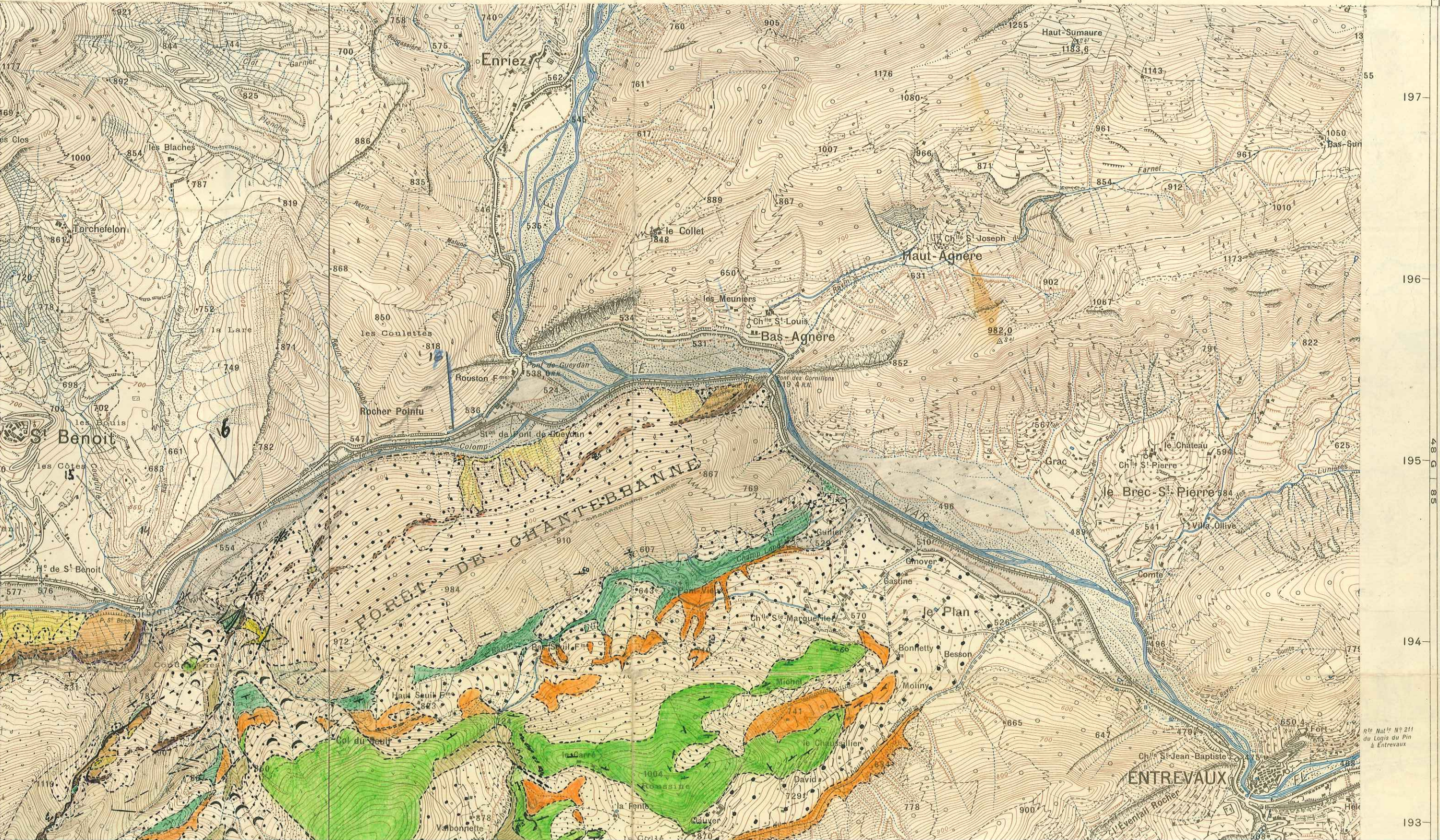
# ENTREVAUX N° 8

ENTREVAUX N° 4

PROJECTION LAMBERT III ZONE SUD.

CARROYAGE KILOMÉTRIQUE PRO

XXXV-41  
7  
Entrevaux



La déclinaison correspond au feuillet et au 1°

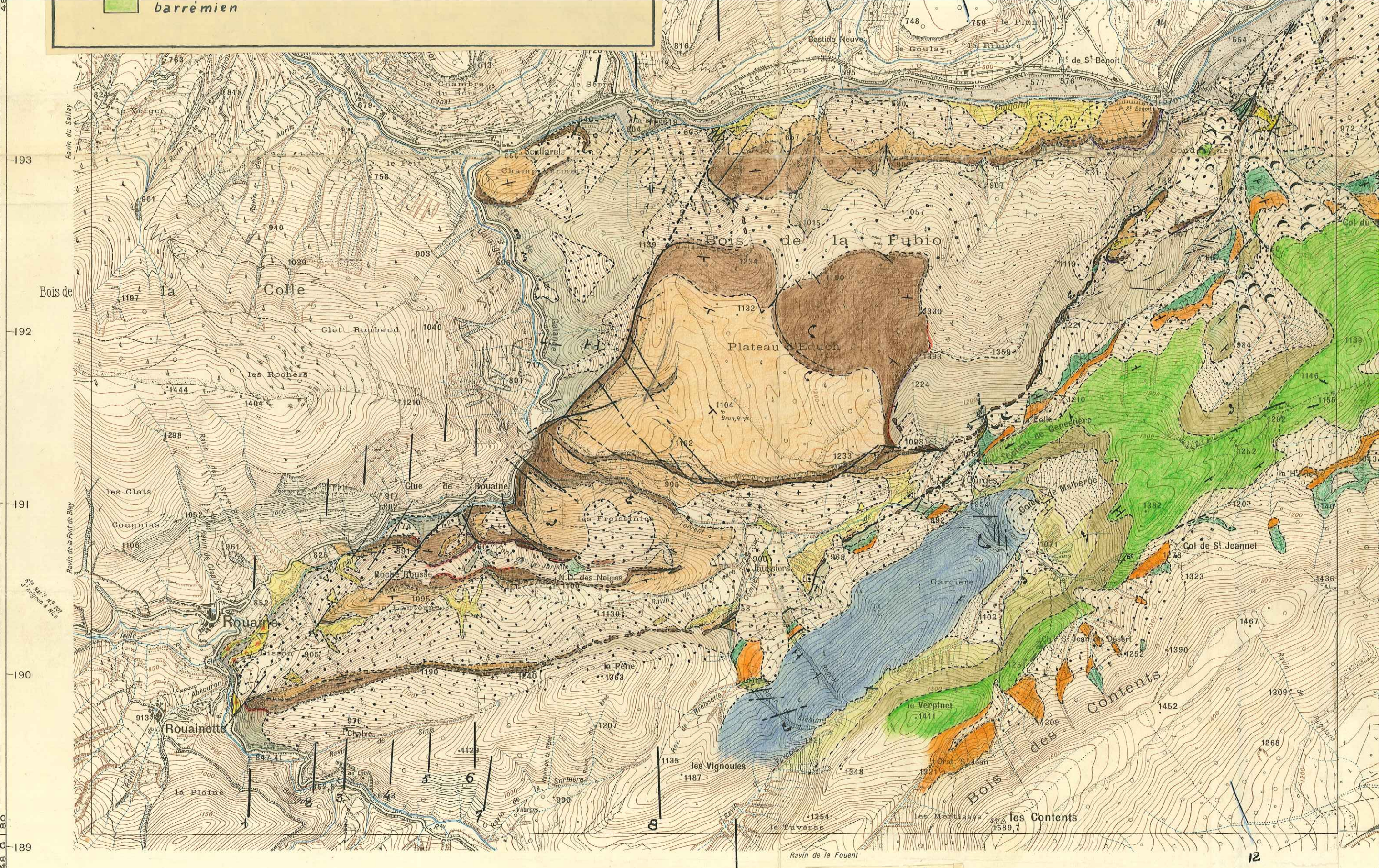
N.  
N.M.  
11° 74'  
Aiguille aimantée  
Méridien

PUGET-THÉNIERS N° 5

Rte Nat° N° 211 du Logis du Pin à Entrevaux

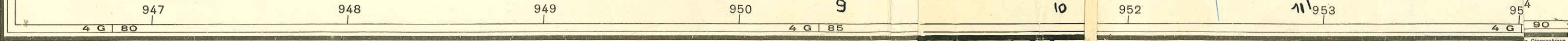


barrémien



Levés de 1899-1901, révisés en 1932-33

Equidistance des 1000, revu

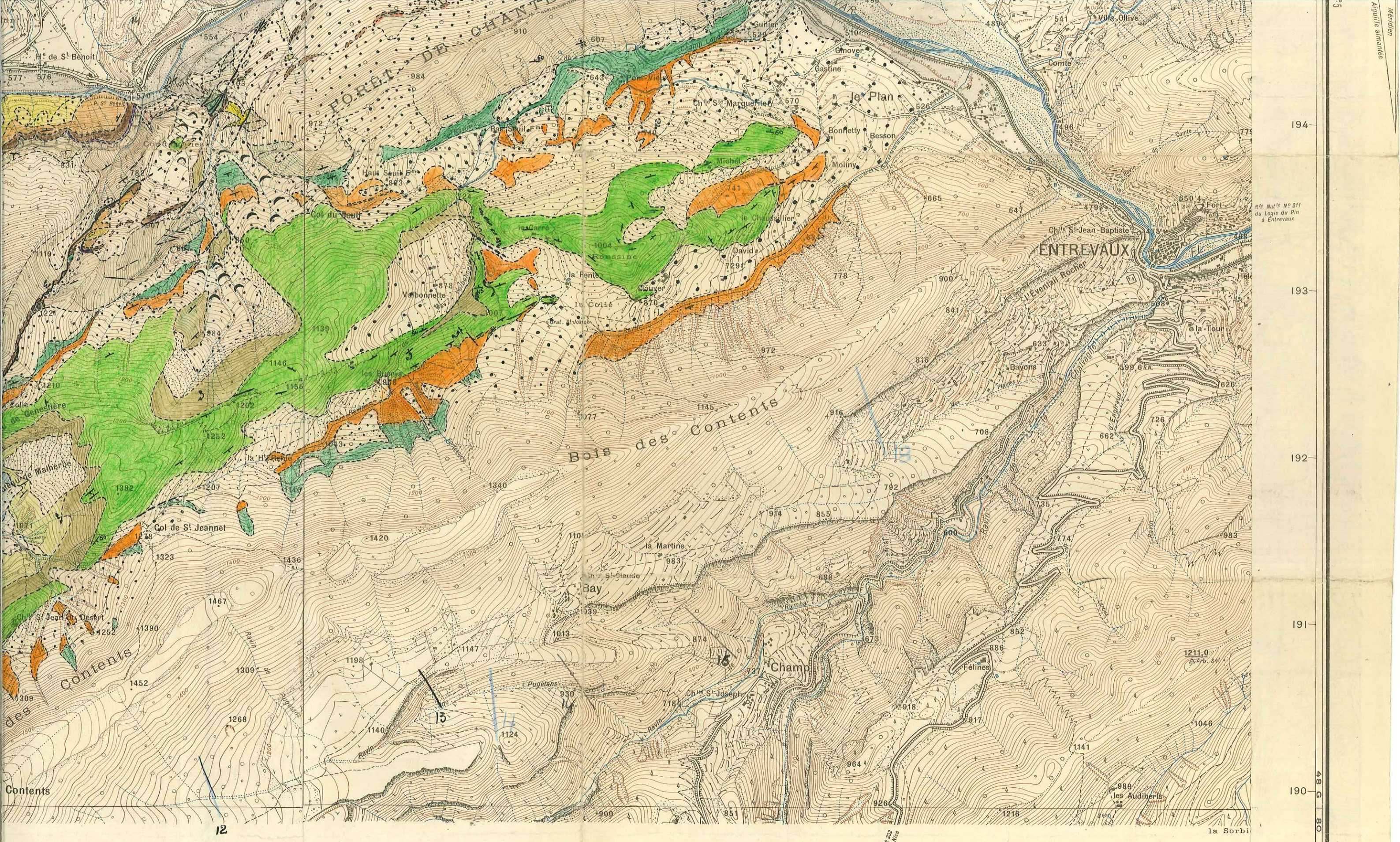


CASTELLANE N°3  
Echelle 1/20.000

Dressé, héliogravé et publié par le Service Géographique de l'Armée en 1934.  
Reproduction interdite.

*d'après Dupont 1869  
dans Rouine de Font de la Jayatte  
en N de ND de Neige. mais blesser  
en non correct*





Equidistance des co 1900, révisés en 1932

953

954

955

956

957

958

4 G

90

Geographique de l'Armée en 1933

Re Nat° No 211  
de Thion et Vise

CASTELLANE N° 4

Echelle 1/20.000

1000 0 500 1000 1500 2000

Serge Jardiné

1957